

Constantin Dănciulescu

FIZICA RADIAȚIEI , LASER

București

1996



698/96

Constantin Dănciulescu

54/D15.56

Referenți științifici: Prof. dr. LEONARD MÜLLER
Conf. dr. PETRE IOAN
Conf. dr. CONSTANTIN CIOACĂ

FIZICA RADIAȚIEI LASER

Toate drepturile de autor sunt rezervate Editurii Universității București.
Orice reproducere sau traducere, fie și parțială, precum și
contrafacerea de orice tip, intră sub incidența Codului Penal.

ISBN-973-575-043-0

1991

C U P R I N S

	pag.
INTRODUCERE	5
Experimental Fresnel-Arago-Poisson	6
Teoria puterii de rezoluție Abbe	7
CAP I CAMPUL OPTIC COERENT	10
I.1 Coerența luminii și trenurile de unde	10
I.1.1 Tren de undă finit	11
I.1.2 Tren de undă amortizat	12
I.1.3 Puls optic gaussian	13
I.1.4 Lungime și timp de coerență	14
I.2 Perturbația optică	14
I.2.1 Semnalul analitic complex asociat per-	
turbației optice	15
I.2.2 Semnalul analitic complex pentru lumina	
cvasimonocromatică	16
I.3 Funcția de corelație într-un câmp optic	18
I.4 Interferența - efect al coerenței	19*
I.4.1 Legea generală de interferență a două	
fascicule de lumină parțial coerentă	20
I.4.2 Legea de interferență a două fascicule	
parțial coerente de lumină cvasimonocro-	
matică	23
CAP II OBTINEREA LUMINII COERENTE	25
II.1 Funcționarea laserelor	25
II.2 Bilanțul puterilor în mediul activ laser	29
II.3 Proprietățile radiației laser	31
II.3.1 Coerența	31
II.3.2 Monocromaticitatea	31
II.3.3 Direcționalitatea	31
II.3.4 Intensitatea radiației laser	32
II.4 Laserul cu gaz He - Ne	33
CAP III ANALIZA FOURIER A SEMNALELOR	38
III.0 Dezvoltarea în serie Fourier	38
III.1 Transformata Fourier	39
III.2 Proprietățile transformatei Fourier	40
III.2.1 Teorema convoluției	41
III.2.2 Teorema corelației	41
III.2.3 Formula lui Parseval	42

	pag.
III.3 Transformata Fresnel	42
CAP IV STUDIUL OPERATIONAL AL DIFRACTIEI	44
IV.1 Difrakția luminii	44
IV.2 Ecuația Helmholtz	44
IV.3 Teorema integrală Helmholtz-Kirchoff	45
IV.4 Formula de difracție Fresnel-Kirchoff	47
IV.5 Formula de difracție Rayleigh-Sommerfeld	50
IV.6 Difrakția luminii în aproximațiile Fresnel și Fraunhofer	52
IV.7 Transformata Fourier în optică	54
CAP V BAZELE HOLOGRAFIEI	56
V.1 Conceptul de holografie	56
V.2 Ecuația de bază a holografiei	58
V.3 Holografia Fresnel	60
V.4 Holografia Fraunhofer-Fourier	65
CAP VI PRELUCRAREA INFORMATIEI IN LUMINA COERENTA	68
VI.1 Analiza și filtrarea datelor seismice folosind sistemul optic LASER-SCAN	68
VI.2 Prelucrarea optică prin filtrare bidimensio- nală a spectrului de frecvență Fourier	70
VI.3 Prelucrarea optică prin filtrare monodimen- sională multicanal	74
VI.4 Prelucrarea optică prin filtrare spațială complexă	77
VI.5 Prelucrarea optică prin filtrare bidimensională în lumină albă(codarea color)	79
CAP VII HOLOGRAME GENERATE PE CALCULATOR.STUDIUL HOLOGRAMELOR FRESNEL SI FRAUNHOFER GENERATE PE CALCULATOR	83
VII.1 Generarea hologramelor pe calculator prin metoda Brown-Lohmann	83
VII.2 Zonele de aproximație Fresnel și Fraunhofer pentru hologramele generate pe calculator	93
VII.3 Program pentru generarea hologramelor pe calculator	96
CAP VIII SISTEMELE DE PRELUCRARE OPTICE SI ELECTRONOPTICE	100
VIII.1 Sistemul de prelucrare optică	100
VIII.1.1 Convoluția și corelația	100

VIII.1.2	Diferențierea	pag. 102
VIII.1.3	Integrarea	102
VIII.1.4	Transformarea Hilbert	102
VIII .2	Sistemul electronoptic de prelucrare	103
VIII .3	Stocarea optică a informației	104
VIII.3.1	Memoriile optice cu laser	106
VIII.3.2	Memoriile holografice digitale	108
BIBLIOGRAFIE	109

- /// -

INTRODUCERE

Văzul este de departe cel mai important simț al nostru, iar lumina-agentul datorită căruia vedem-este de o asemenea importanță încât nu este de mirare preocuparea numeroasă de-a lungul vremurilor a foarte multor oameni de știință(filozofi, fizicieni).

A fost poate primul domeniu al fizicii care a fost supus unor măsurători și observații; există mărturii că din sec III f.e.n., Euclid cunoștea legile reflexiei și în sec. II, Ptolemeu s-a ocupat de refracție. Scrierile lui au fost în mare parte pierdute și nu este clar cum a ajuns el la aceste rezultate. Lucrarea lui despre refracție prezintă legile refracției enunțate altfel decât cum le cunoaștem noi. Actuala lege a refracției, deși o atribuim lui Snell (1591-1626), ea probabil a fost stabilită de către Hariot (1560-1621) pe cale experimentală; Snell a dedus această lege pe cale pur teoretică (nu este cunoscută). În 1638 Descartes, formulând legea într-un chip nou, i-a dat numele lui Snell; el desconsiderând experiențele a ajuns la această lege tot pe cale teoretică.

Abia fuseseră lămurite aceste legi că a apărut o nouă problemă: anumite substanțe cristaline nu ascultau de legile refracției, producând două imagini în loc de una. Acest fenomen numit dublă refracție-a fost observat în 1669 de Bartholinus (1625-1698). El a folosit un cristal din carbonat de calciu (denumit Spat de Islanda). Astăzi este considerat ca cel mai bun material pentru a prezenta acest fenomen.

Formarea unei imagini nu asculta de legea lui Snell (rază extraordinară); celaltă imagine era formată de raze ce se supuneau legii lui Snell (rază ordinară).

Era necesară o nouă explicație privitoare nu numai la legea refracției dar și a naturii luminii. Prima parte a fost rezolvată curând de Huygens (1625-1695), în 1690 elaborând o întreagă teorie. Natura luminii a fost pusă în discuție pe la începutul secolului XVII; prima "experiență" a abordat modul în care era transmisă lumina. Ea a fost consemnată de Toricelli, arătând că din moment ce putem vedea prin vidul din partea superioară a barometrului (creat tot de Toricelli) este clar că lumina se propagă prin vid neavând nevoie de un agent material care să o poarte. Constatarea era uluitoare, deoarece se știa că sunetul, care părea să fie asemănător luminii, are nevoie de aer pentru a fi transmis. Nelămurirea a dăinuit pînă la mijlocul secolului XIX (natura electromagnetică a lu-

minii).

Meritul lui Huygens, contemporan cu Newton, nu e apreciat întotdeauna așa cum se cuvine. De numai câteva zeci de ani oamenii se străduiau să pună temeliiile fizicii și iată că apare o minte în stare să construiască o teorie pînă la capăt care nici pînă astăzi nu s-a schimbat decît ca metodă de prezentare. Newton credea că lumina este alcătuită din corpusculi, iar Huygens că ea are o natură ondulatorie (longitudinală, însă nu bine fundamentată). Este ciudat că pînă la urmă nici Newton, nici Huygens nu s-au gîndit că lumina ar putea fi o vibrație transversală (conform realității).

În această perioadă Grimaldi (1618-1683) descoperă fenomenul de difracție (1665). El a încercat să vadă ce se întîmplă dacă o experiență este dusă pînă la limitele ei. Sfat bun pentru un fizician. Numeroase drumuri noi au fost deschise ca urmare a încercării de a se vedea care sînt condițiile extreme în care un fenomen obișnuit nu se mai produce.

Grimaldi a început de la studierea preciziei contururilor umbrelor. O sursă mare (Soarele) produce umbre cu contururi difuze. O sursă mai mică dă umbre cu contururi mai precise. Continuă acest efect la infinit? Grimaldi a constatat că dacă se folosește fanta circulară (iluminată), umbrele devin din ce în ce mai difuze, apărînd în plus franjele paralele (benzi colorate adiacente umbrelor). Efectul a fost redescoperit în 1672 de Hooke.

Fresnel (1788-1827) a explicat cu ajutorul teoriei ondulatorii observațiile lui Grimaldi. Cu toate că viața i-a fost scurtă și în cуда activității politice din perioada napoleoniană, numele său s-a impus în fizică ca al celui care a definit clasa fenomenelor de difracție, elaborînd întreaga teorie a acestora.

Experimentul Fresnel-Arago-Poisson; Fresnel a avut în Arago (1786-1855) un susținător pasionat. Una din experiențele realizate împreună, destul de banală, s-a dovedit extrem de importantă deoarece i-a convins și pe adversarii teoriei ondulatorii de justetea acesteia. Experiența a fost sugerată de Poisson (1781-1842), una din cele mai marcante figuri științifice ale Franței de la începutul sec. XIX.

Experimentul imaginat de Poisson; dacă un obstacol circular este plasat în calea unui fascicul de lumină divergentă provenit dintr-o sursă punctiformă așezată pe axa obstacolului, unde de-dacă

lumina ar fi de natură ondulatorie-ar trebui să ajungă în fază pe contur și ar trebui deci să se recombine în centrul umbrei,

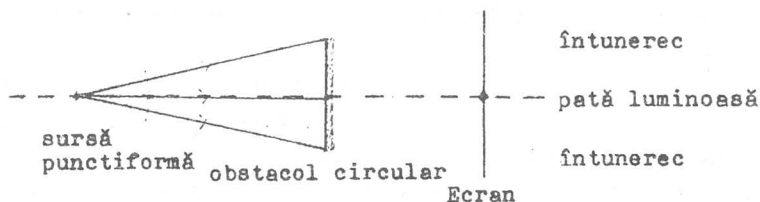


Fig. 1

Poisson a considerat această deducție atât de absurdă încît a respins teoria ondulatorie. Fresnel și Arago au îndrăznit să realizeze efectiv această experiență. Pata apărea efectiv.

Unul din cei mai înverșunați adversari ai teoriei ondulatorii, Poisson, a fost astfel înfrînt și teoria general acceptată. De aici morala: să nu te bazezi numai pe teorie, oricît de evidente ar părea rezultatele obținute pe cale teoretică.

Teoria ondulatorie a fost verificată și prin alt fenomen - interferența. Spre deosebire de primul fenomen ca fiind produs prin delimitarea unui singur fascicul de lumină, interferența rezultă din combinarea a două sau mai multe fascicule de lumină.

Young (1772-1829) realizînd dispozitivul cunoscut prin franjele observate a întărit valabilitatea teoriei ondulatorii.

O altă proprietate evidentă a luminii, culoarea, a fost fundamentată în 1666 de Newton, rezultatele publicîndu-le abia în 1672; Newton nu se grăbea să-și publice rezultatele obținute. Sînt cunoscute experimentele cu prisma.

Aparatura optică s-a dezvoltat în paralel cu teoria destul de puternic. Dacă istoria telescopului (Galilei, Newton-telescopul lui personal mai există și astăzi și este cel mai celebru instrument existent) este bine cunoscută, cea a microscopului nu este atât de clară.

Cel mai de seamă exponent al microscopiei a fost Hooke (1635-1703), un strălucit experimentator, care a avut un rol important în menținerea în viață a Societății Regale (scopul ei era efectuarea de experiențe). Observațiile culese cu ajutorul microscopului construit de el au fost conținute într-o carte întregă - Micrografia.

Teoria puterii de rezoluție Abbè; în Germania sub influența unor oameni ca Fraunhofer și Abbè (1840-1905) s-a dezvoltat tehnologia

logia sticlei și a confecționării lentilelor.

Se părea că microscopul va continua să fie neîncetat ameliorat mărind continuu puterea lui de rezoluție, ajungând astfel să putem distinge chiar atomii. Însă Abbé care a jucat un rol important în perfecționarea microscopului a fost cel care a arătat că acest instrument are o limită intrinsecă. Limita - spunea el - nu este dată de gradul de măiestrie în fabricarea microscopelor, ci de însăși natura ondulatorie a luminii; nici un microscop, oricât de bun ar fi el, nu poate distinge detalii mai mici decât aproximativ jumătate din lungimea de undă a luminii. Acest lucru i-a indignat pe fabricanții de microscop, ei pretinzând că microscopurile lor pot distinge detalii mai fine decât cele ce corespund limitei fixate de Abbé, /4/.

Lucrarea lui Abbé este pur teoretică, dar ea a influențat puternic optica și fizica în general. Conform acestei teorii, formarea imaginii are loc în două etape;

- în prima lumina împrăștiată de obiect produce o figură de difracție;

- în a doua: lumina difractată este din nou strânsă de instrumentul optic încât să formeze o imagine de interferență care constituie imaginea propriu-zisă.

Această teorie pune accentul pe modul de iluminare al obiectului, devenind o parte importantă a procesului (și nu o banalitate oarecare așa cum era cunoscută pînă acum).

Deoarece lumina difractată este limitată de apertură (deschiderea) obiectivului microscopului, imaginea de difracție completă nu poate fi folosită pentru reconstrucția imaginii, așa încât imaginea nu va reproduce fidel obiectul.

Pe măsură ce din figura de difracție se folosește din ce în ce mai mult, imaginea propriu-zisă devine mai detaliată, observînd că limita de rezoluție este determinată de finețea franjelor produse de regiunile de la marginea figurii de difracție. Aceasta constituie limita enunțată (prezisă) de Abbé. O lucrare a lui Porter (1905) a contribuit mult la demonstrarea faptului că teoria lui Abbé e justă. Porter a format imagini cu diferite părți din figura de difracție.

În ciuda dezamăgirilor resimțite de cei ce produceau microscop, teoria lui Abbé precizează clar: dacă dorim să examinăm un obiect cu o anumită rezoluție, trebuie să alegem sursa cu o lungime de undă adecvată.

Teoria lui Abbè a avut și efectul pozitiv de a-i orienta pe cercetătorii care doreau detalii mai fine pe alte căi, ceea ce a dus la folosirea radiațiilor X și a electronilor pentru cercetarea materiei la scară atomică (microscopul electronic).

Abbè a dezvoltat teoria puterii de rezoluție a microscopului pentru cazul limită al luminii complet coerente. Un fascicul paralel monocromatic cu lungimea de undă λ iluminează o rețea de difracție, AB cu constanta b. Imaginea rețelei dată de obiectivul L al

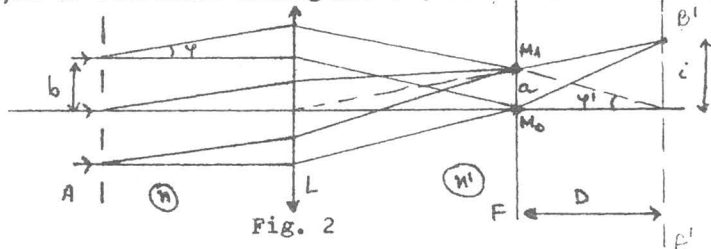


Fig. 2

microscopului se obține în planul A'B', figura 2.

În planul focal principal F al obiectivului L se obține imaginea spectrelor de difracție de diferite ordine ale rețelei. Potrivit formulei rețelei :

$$b \cdot \sin \varphi = k \cdot \lambda \quad (1)$$

Dacă dispozitivul este cufundat într-un mediu de indice n:

$$n \cdot b \cdot \sin \varphi = k \cdot \lambda \quad (2)$$

Pentru $k = 0$ se obține maximul central luminos, iar pentru $k = 1, 2, \dots$ se obțin maximele secundare luminoase.

Obturînd o parte din spectre, imaginea rețelei se deformează. Obturînd, de exemplu, toate spectrele pentru care $k = 0$, lăsînd deci numai maximul central, M_0 , în planul imagine A'B' se va obține o iluminare uniformă, adică nici o imagine a rețelei.

Să presupunem acum că spectrul obturat conține toate maximele pentru care $k > 1$. Atunci spectrul care contribuie la formarea imaginii se reduce doar la maximul central ($k = 0$) și maximele secundare de ordinul 1 ($k = 1$). Adică în planul focal al obiectivului F, se vor găsi două surse de lumină coerente situate la o distanță a. Razele acestor surse interferă în planul A'B' formînd o serie de franje de interferență paralele distanțate între ele prin interferanța $i = \lambda D/a$. Pentru D - mare se observă că $a/D \cong \sin \varphi'$ de unde se obține :

$$i = \frac{\lambda}{\sin \varphi'}$$

Dacă dimensiunii b dintre fante îi corespunde în planul imagine

dimensiunea b' (dimensiunea imaginii lui b), atunci din legea sinusurilor : $n \cdot b \cdot \sin \varphi = n' \cdot b' \cdot \sin \varphi'$.

Dacă $n' = 1$ (imaginea se formează în aer), atunci :

$$b' = \frac{n \cdot b \cdot \sin \varphi}{\sin \varphi'} \quad (3)$$

Deoarece am limitat fasciculul difractat la $k = 1$, atunci :

$$n \cdot b \cdot \sin \varphi = \lambda$$

de unde :

$$b' = \frac{\lambda}{\sin \varphi'} \quad (4)$$

Cu cât mai multe maxime secundare sînt neobturate cu atît imaginea va fi mai apropiată de obiect

Deci condiția minimă de a obține o imagine care să corespundă obiectului este ca, lăsînd să treacă numai maximum central și cel de ordinul 1:

$$n \cdot b \cdot \sin \varphi \gg \lambda \text{ de unde : } b \gg \frac{\lambda}{n \cdot \sin \varphi} \quad (5)$$

sau, cu alte cuvinte, microscopul (obiectivul) rezolvă problema obținerii imaginii unui obiect dacă punctele din care este format se găsesc la distanța b care satisface relația (5).

S-a estimat că distanța minimă dintre puncte este dată de relația :

$$\varepsilon = 0,1 \cdot \frac{\lambda}{n \cdot \sin \varphi} \quad (6)$$

unde inversul lui ε , ($1/\varepsilon$), este cunoscut sub numele de putere de rezoluție. Astfel s-a găsit că în cazul observării vizuale :

$$\varepsilon \approx 0,3\mu \text{ și } \varepsilon \approx 0,2\mu \text{ cu imersie, iar în ultraviolet: } \varepsilon \approx 0,1\mu$$

Cap. I CIMPUL OPTIC COERENT

1.1 Coerența luminii și trenurile de unde

Intr-o formă elementară coerența se poate defini ca fiind condiția prin care defazajul între două unde luminoase se păstrează stabil în timp.

Un câmp optic strict monocromatic ar fi și perfect coerent dacă, între oscilațiile de la orice pereche de puncte ale lui, există o diferență de fază constantă în timp.

O modelare mai realistă a cîmpului optic este aceea a supraunerii, în fiecare punct al lui, de trenuri de unde de lungime finită emise de diverși atomi ai sursei. În acest caz coerența cîmpului optic este dependentă de lungimea trenurilor de unde constituente. Dacă diferența drumurilor optice dintre sursă și două punc-

ale cîmpului depășește lungimea trenurilor de unde emise de sursă, oscilațiile simultane de la cele două puncte ale cîmpului nu sînt coerente, întrucît nu sînt provocate de trenuri de undă "gemene" (provenit din același act de emisie al aceluiași atom al sursei); cînd unul din trenurile de undă atinge punctul P_2 , figura

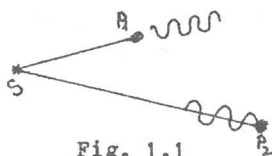


Fig. 1.1

1.1, geomănul lui a depășit punctul P_1 . Dacă însă diferența de drum este inferioară lungimii trenurilor de unde, atunci există coerență; cu atât mai bună cu cît diferența drumurilor optice dintre sursă și cele două

puncte ale cîmpului este mai mică. În cadrul acestui model pot fi întîlnite atât situațiile extreme - coerența perfectă și incoerența - cît și situațiile intermediare - coerența parțială.

Lungimea trenurilor de unde este legată de finețea spectrală a radiațiilor emise de către atomi: un tren de unde foarte slab amortizat care se aproprie de o oscilație sinusoidală, deci monocromatică. În oscilația datorată unui tren de unde limitat în timp, prezintă un spectru continuu, mai mult sau mai puțin larg, de vibrații monocromatice de diferite frecvențe

$$f(t) = \int_{-\infty}^{\infty} F(\omega) \cdot e^{2\pi i \omega t} \cdot d\omega \quad (1.1)$$

unde $F(\omega)$ este densitatea spectrală de amplitudine complexă a oscilației $f(t)$. Funcția $|F(\omega)|^2$ dă repartiția energetică a componentelor monocromatice ale oscilației și se numește densitate spectrală de energie. Spectrul de amplitudine complexă al lui $f(t)$ este conform proprietății de inversiune a transformatorilor Fourier:

$$F(\omega) = \int_{-\infty}^{\infty} f(t) \cdot e^{-2\pi i \omega t} \cdot dt \quad (1.2)$$

Să analizăm în continuare cîteva tipuri reprezentative de trenuri de unde luminoase, /25, 26/.

1.1.1 Tren de undă finit (de durată τ), în timpul căreia oscilația este armonică de frecvență ω_0 . El este descris de funcția complexă:

$$f(t) = \begin{cases} a_0 \cdot e^{2\pi i \omega_0 t} & \text{pentru } |t| \leq \frac{\tau}{2} \\ 0 & |t| > \frac{\tau}{2} \end{cases} \quad (1.3)$$

Partea reală a lui $f(t)$ este reprezentată în figura 1.2. Conform relației (1.2), densitatea spectrală de amplitudine complexă a acestei

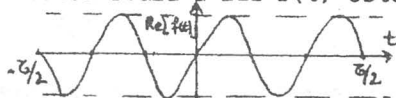


Fig. 1.2

oscilației este :

$$F(\omega) = a_0 \cdot \int_{-\tau/2}^{\tau/2} e^{2\pi i(\omega_0 - \omega)t} dt = a_0 \tau \frac{\sin[\pi(\omega_0 - \omega)\tau]}{\pi(\omega_0 - \omega)\tau} \quad (1.4)$$

Densitatea spectrală de energie :

$$|F(\omega)|^2 = a_0^2 \cdot \tau^2 \text{sinc}^2[\pi(\omega_0 - \omega)\tau] \quad (1.5)$$

esta reprezentată în figura 1.3. Primele zerouri ale funcției sinc fiind la $\pm\pi$, maximul central ocupă intervalul de frecvențe $\omega_0 \pm \frac{1}{\tau}$. Definind lărgimea spectrală $\Delta\omega$ a trenului de unde prin lungimea acestui interval, avem : $\Delta\omega = \frac{2}{\tau}$ (1.6)

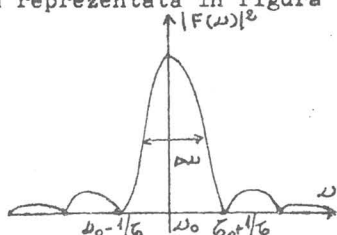


Fig. 1.3

Adică: lărgimea spectrală este invers proporțională cu durata lui.

1.1.2 Tren de unde amortizat; notînd acum cu τ constanta de amortizare, putem descrie această oscilație prin funcția complexă:

$$f(t) = \begin{cases} a_0 \cdot e^{-t/\tau} \cdot e^{2\pi i \omega_0 t} & \text{pentru } t \geq 0 \\ 0 & \text{pentru } t < 0 \end{cases} \quad (1.7)$$

Partea reală a acestei funcții este reprezentată în figura 1.4.

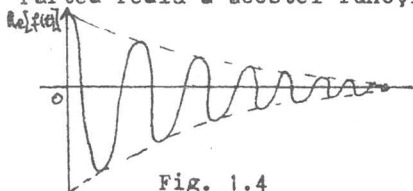


Fig. 1.4

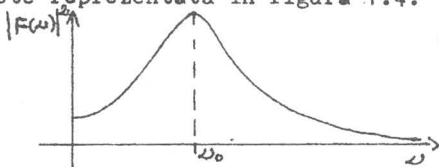


Fig. 1.5

Densitatea spectrală de amplitudine complexă a acestei oscilații este:

$$F(\omega) = a_0 \int_0^{\infty} e^{[2\pi i(\omega_0 - \omega) - 1/\tau]t} dt = \frac{a_0}{1/\tau - 2\pi i(\omega_0 - \omega)} \quad (1.8)$$

iar spectrul energetic, figura 1.5, este dat de :

$$|F(\omega)|^2 = \frac{a_0^2}{1/\tau^2 + 4\pi^2(\omega_0 - \omega)^2} \quad (1.9)$$

Definind lărgimea spectrală a acestui tren de unde prin lărgimea distribuției (1.9) la jumătatea valorii maxime, avem :

$$\Delta\omega = \frac{1}{\pi \cdot \tau} \quad (1.10)$$

Lărgimea spectrală este invers proporțională cu timpul de relaxa-

re a oscilației atomului, timp care poate fi luat ca măsură a duratei trenului de unde emis de atom.

1.1.3 Puls optic gaussian; dacă în alte domenii (în electronică) un puls gaussian înseamnă de obicei o perturbație cu un profil gaussian, în domeniul optic ($\omega \sim 10^{15}$ Hz) un puls gaussian reprezintă o modulare gaussiană a purtătoarei optice. Funcția complexă ce descrie o astfel de oscilație este:

$$f(t) = a_0 \cdot e^{-(2t/\tau)^2} \cdot e^{2\pi i \omega_0 t} \quad (1.11)$$

unde τ este semilărgimea pulsului definită la $1/e$ din valoarea maximă a amplitudinii lui. Partea reală a acestei funcții este reprezentată în figura 1.6. Densitatea spectrală de amplitudine complexă este:

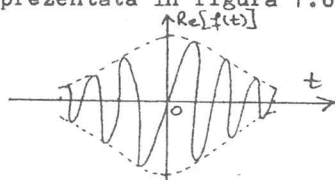


Fig. 1.6

$$F(\omega) = a_0 \cdot \int_{-\infty}^{+\infty} e^{-(2t/\tau)^2} \cdot e^{-2\pi i (\omega - \omega_0)t} \cdot dt = \quad (1.12)$$

$$= a_0 \cdot e^{-\left[\frac{i \cdot \pi \cdot (\omega - \omega_0) \tau}{2}\right]^2} \cdot \int_{-\infty}^{+\infty} e^{-\left[\frac{2t}{\tau} + i \frac{\pi (\omega - \omega_0) \tau}{2}\right]^2} \cdot dt = a_0 \cdot e^{-\frac{\pi^2 (\omega - \omega_0)^2 \tau^2}{4}} \cdot \frac{\tau}{2} \cdot \int_{-\infty}^{+\infty} e^{-z^2} \cdot dz = a_0 \cdot \frac{\tau \cdot \sqrt{\pi}}{2} \cdot e^{-\frac{\pi^2 (\omega - \omega_0)^2 \tau^2}{4}} \quad (1.12')$$

Spectrul de puteri al pulsului optic gaussian :

$$|F(\omega)|^2 = a_0^2 \cdot \frac{\pi \cdot \tau^2}{4} \cdot e^{-\frac{\pi^2 (\omega - \omega_0)^2 \tau^2}{2}} \quad (1.13)$$

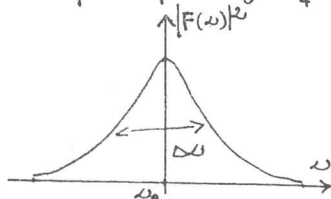


Fig. 1.7

este reprezentat în figura 1.7. Lărgimea lui la $1/e$ din valoarea maximă este:

$$= \frac{2 \cdot \sqrt{2}}{\pi \cdot \tau} \quad (1.14)$$

Lărgimea împrăștierei spectrale a oscilațiilor armonice care compun pulsul este invers proporțională cu lărgimea acestuia.

1.1.4 Lungime și timp de coerență; trenurile de unde emise de către atomi au forme diferite și sînt mai puțin regulate decît modelele discutate mai sus. Oscilațiile atomilor se amortizează datorită pierderii de energie prin radiație, se întrerup brusc prin șocuri, frecvențele lor în sistemul laboratorului variază prin efectul Doppler. Inșă, indiferent de forma trenurilor de unde, durata și lungimea lor sînt într-un raport invers cu lărgimea lor spectrală:

$$\tau \sim \frac{1}{\Delta\nu} \quad (1.15)$$

$$l = c \cdot \tau \sim \frac{c}{\Delta\nu} \quad (1.16)$$

Pentru a evalua niște ordine de mărime, să vedem care este durata și lungimea trenurilor de unde corespunzătoare radiației cu lungimea de undă $\lambda = 6328 \text{ \AA}$ a neonului, pe care se realizează emisia în vizibil a laserului He-Ne. Lărgimea (Doppler) a acestei linii este $\Delta\nu = 1,5 \text{ GHz}$, adică $\Delta\lambda = 0,02 \text{ \AA}$. Cu (1.15) și (1.16) obținem :

$$\tau \simeq 7 \cdot 10^{-10} \text{ s} ; \quad l \simeq 20 \text{ cm} \quad (1.17)$$

Dacă trimitem această radiație într-un interferometru Michelson, franjele de interferență se șterg pentru o diferență de drum între cele două brațe mai mare de 20 cm, deoarece la ieșire, figura 1.8, numai poate avea loc suprapunerea unor trenuri de unde gemene, rezultate din divizarea, la intrare, a aceluiași tren de unde.

Deci, în general, efectele de coerență (franjele de interferență, de difracție, etc.) se produc numai dacă diferențele de drum sînt

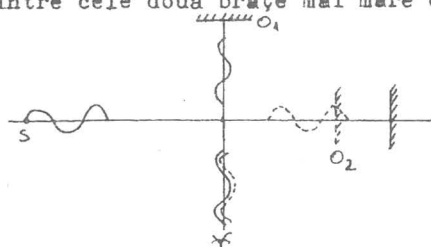


Fig. 1.8

mai mici decît lungimea unui tren de unde. De aceea lungimea unui tren de unde se numește lungime de coerență, sau, mai exact: lungimea de coerență (l) este egală cu lungimea medie a trenurilor de unde ale radiației respective.

Timpul de coerență al unei radiații este egal cu durata medie (τ) a trenurilor de unde.

1.2 Perturbația optică

Perturbația în fiecare punct al cîmpului optic este rezultatul suprapunerii aleatoare a unui număr imens de trenuri de unde provenite din acte de emisie diferite de la diferiți atomi ai sursei, figura 1.9. Funcția care descrie perturbația rezultantă este o funcție aleatoare. În această situație noțiunile de amplitudine și fa-

ză, definite pentru oscilația armonică și încă operante pentru oscilația cvasiarmonică, devin inoperante în cazul unei perturbații oarecare.

Elaborarea unui limbaj mai cuprinzător pentru a descrie cîmpurile optice reale, redefinirea noțiunii de coerență în termeni mai generali s-a realizat în special în anii '50-60 ai acestui

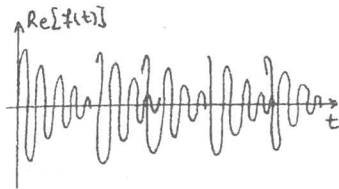


Fig. 1.9

secol, în special prin lucrările fundamentale ale lui Emil Wolf .

1.2.1 Semnalul analitic complex asociat perturbației optice; în cadrul teoriei scalare, perturbația optică într-un punct al cîmpului poate fi descrisă printr-o funcție reală de timp, $f(t)$. Această funcție poate reprezenta, de exemplu, evoluția în timp a vectorului cîmp electric (sau a unei componente a lui) al undeii în punctul respectiv. În general, funcțiile care descriu perturbațiile optice satisfac condițiile analizei Fourier. Fiind funcții reale ele pot fi dezvoltate Fourier în forma :

$$f_r(t) = \int_0^{\infty} A(\omega) \cdot \cos[2\pi\omega t + \phi(\omega)] \cdot d\omega \quad (1.18)$$

Să asociem acestei integrale, o integrală în care fazele tuturor componentelor Fourier au fost modificate cu $\pi/2$; obținem o nouă funcție :

$$f_i(t) = \int_0^{\infty} A(\omega) \cdot \sin[2\pi\omega t + \phi(\omega)] \cdot d\omega \quad (1.19)$$

Aceste două integrale se numesc integrale Fourier conjugate sau funcții conjugate / /.

Cu aceste două funcții conjugate putem construi funcția complexă $f(t)$:

$$\begin{aligned} f(t) &= f_r(t) + i \cdot f_i(t) = \int_0^{\infty} A(\omega) \cdot \left\{ \cos[2\pi\omega t + \phi(\omega)] + \right. \\ &\quad \left. + i \cdot \sin[2\pi\omega t + \phi(\omega)] \right\} d\omega \\ &= \int_0^{\infty} A(\omega) \cdot e^{i[2\pi\omega t + \phi(\omega)]} \cdot d\omega \quad (1.20) \end{aligned}$$

Această funcție poartă numele de semnal analitic complex asociat perturbației reale.

Reprezentarea perturbației prin semnalul analitic asociat a fost introdusă de către Gabor (1946) în tratarea problemelor teoriei transmiterii informației.

Punînd semnalul analitic sub forma :

$$f(t) = \int_0^{\infty} F(\omega) \cdot e^{2\pi i \omega t} \cdot d\omega \quad (1.21)$$

unde:

$$F(\omega) = A(\omega) \cdot e^{i\phi(\omega)} \quad (1.22)$$

este amplitudinea complexă a componentei spectrale de frecvență a semnalului analitic, se observă că modulul amplitudinii complexe a componentei ω a semnalului este egal cu amplitudinea reală, iar argumentul ei este egal cu faza la origine a componentei spectrale ω a perturbației. Semnalul analitic conține deci aceeași informație asupra perturbației optice ca și funcția reală $f_r(t)$, dar codificată într-o formă mai ușor manevrabilă în calcul.

- Un prim avantaj; dezvoltarea (1.21) a semnalului analitic admite o inversă Fourier:

$$F(\omega) = \int_{-\infty}^{+\infty} f(t) \cdot e^{-2\pi i \omega t} \cdot dt \quad (1.23)$$

care furnizează direct cu (1.22), spectrul perturbației optice atunci când se cunoaște semnalul analitic ca funcție de timp. Dezvoltarea (1.17) nu admite o asemenea inversă. Pentru perechea Fourier $f(t), F(\omega)$ este valabilă relația lui Parseval:

$$\int_{-\infty}^{+\infty} |f(t)|^2 \cdot dt = \int_0^{\infty} |F(\omega)|^2 \cdot d\omega \quad (1.24)$$

- Semnalul analitic se obține prin generalizarea naturală a procesului de asociere a exponențialei imaginare la funcția cos. utilizat în cazul unei oscilații armonice :

$$f_r(t) = \cos 2\pi\omega t \rightarrow f(t) = e^{i2\pi\omega t} \quad (1.25)$$

- Cele două componente ale semnalului analitic, funcțiile conjugate $f_r(t)$ și $f_i(t)$ sînt una transformata Hilbert a celeilalte:

$$f_i(t) = \frac{1}{\pi} \int_{-\infty}^{+\infty} \frac{f_r(t')}{t' - t} \cdot dt' \quad (1.26)$$

$$f_r(t) = -\frac{1}{\pi} \int_{-\infty}^{+\infty} \frac{f_i(t')}{t' - t} \cdot dt' \quad (1.27)$$

Cu aceasta semnalul analitic poate fi reprezentat pe baza unei transformări liniare a funcției reale căreia îi este asociată:

$$f(t) = f_r(t) + i \cdot \mathcal{H}[f_r(t)] \quad (1.28)$$

Această expresie constituie o definiție alternativă a semnalului analitic.

1.2.2 Semnalul analitic complex pentru lumina cvasimonocromatică; în majoritatea aplicațiilor teoriei coerenței parțiale cîmpurile optice sînt cvasimonocromatice, atunci $|F(\omega)|$ are valori apreciabile numai pe un interval spectral cu lărgimea $\Delta\omega$ foarte

mică în raport cu valoarea unei frecvențe medii (de regulă cea corespunzătoare maximului distribuției spectrale, ω_0). În această situație :

$$f(t) = e^{2\pi\omega_0 \cdot it} \cdot \int_0^{\infty} F(\omega) \cdot e^{2\pi i(\omega - \omega_0)t} \cdot d\omega \quad (1.29)$$

Această integrală reprezintă o funcție de timp cu variație lentă în raport cu $e^{2\pi\omega_0 \cdot it}$, întrucât frecvențele $\omega - \omega_0$ ale armonicilor cu amplitudini apreciabile din constituția ei și sînt mici în raport cu ω_0 . Cu notația :

$$\int_0^{\infty} F(\omega) \cdot e^{2\pi i(\omega - \omega_0)t} \cdot d\omega = a(t) \cdot e^{i\varphi(t)} \quad (1.30)$$

semnalul analitic complex se poate scrie :

$$\begin{aligned} f(t) &= e^{2\pi i \omega_0 t} \cdot a(t) \cdot e^{i\varphi(t)} = \\ &= a(t) \cdot e^{i[2\pi \omega_0 \cdot t + \varphi(t)]} \end{aligned} \quad (1.31)$$

unde funcțiile $a(t)$ și $\varphi(t)$ reprezintă amplitudinea reală, respectiv faza semnalului analitic, iar :

$$a^*(t) = a(t) \cdot e^{i\varphi(t)} \quad (1.32)$$

reprezintă amplitudinea complexă a semnalului analitic .

Părțile reală și imaginară ale semnalului analitic complex sînt tot funcții cvasimonocromatice:

$$f_R(t) = a(t) \cdot \cos [2\pi \omega_0 t + \varphi(t)] \quad (1.33)$$

$$f_i(t) = a(t) \cdot \sin [2\pi \omega_0 t + \varphi(t)] \quad (1.34)$$

În funcție de semnalul analitic $f(t)$, amplitudinea $a(t)$ și faza $\varphi(t)$ a perturbației reale $f_R(t)$ sînt date de :

$$a(t) = \sqrt{f_R(t)^2 + f_i(t)^2} = |f(t)| \quad (1.35)$$

$$\varphi(t) = \operatorname{arctg} \frac{f_i(t)}{f_R(t)} - 2\pi \omega_0 t \quad (1.36)$$

Din (1.31) rezultă că în cazul luminii cvasimonocromatice semnalul analitic este o funcție armonică modulată lent în amplitudine și în fază; funcțiile $a(t)$ și $\varphi(t)$ sînt lente în raport cu factorul armonic $2\pi \omega_0$ și de aceea separarea factorilor, rel. (1.31), este posibilă și utilă.

Pe intervale de timp mult mai mici decît inversul lărgimii spectrale ($t \ll 1/\Delta\omega$), funcțiile care descriu perturbația sînt practic armonice, deoarece amplitudinea complexă a semnalului analitic rămîne practic constantă/:

$$a^*(t) = a(t) \cdot e^{i\varphi(t)} \approx ct, \quad (1.37)$$

deci $a(t) \approx a = ct$; $\varphi(t) \approx \varphi = ct$

Intervalul de timp pe care amplitudinea reală și faza la origine a perturbației pot fi considerate constante, constituie timpul de coerență al luminii. Deci putem reafirma, într-un cadru mai general, faptul că timpul de coerență (τ_c) dat de inversul lărgimii spectrale a radiației luminoase :

$$\tau_c \sim 1/\Delta\omega \quad (1.38)$$

Lungimea de coerență (l_c), în același cadru, este :

$$l_c = c \cdot \tau_c \quad (1.39)$$

1.3 Funcția de corelație într-un câmp optic

În orice punct al câmpului optic, perturbația este rezultatul suprapunerii perturbațiilor provenite de la diverși centri emitenți ai sursei. Ca urmare, în perturbațiile rezultante de la două puncte ale câmpului optic vor exista la un moment dat perechi de contribuții de la câte un același centru emitent, lucru care conduce la ideea unei corelații între perturbațiile dintre cele două puncte.

Pe de altă parte în perturbația rezultantă de la un punct al câmpului optic vor exista la momente diferite contribuții din acte de emisie de la un același centru emitent.

Analiza corelației funcțiilor aleatoare staționare care descriu perturbația optică, precizează că două funcții aleatoare staționare complexe $f_1(t)$ și $f_2(t)$ se zic corelate, dacă funcția :

$$f_{12}(\tau) = \lim_{T \rightarrow \infty} \frac{1}{T} \int_{-\infty}^{+\infty} f_1(t+\tau) \cdot f_2^*(t) \cdot dt \quad (1.40)$$

nu este nulă cel puțin pentru anumite valori ale lui τ ; în caz contrar, funcțiile respective nu sînt corelate, între abaterile lor de la valoarea medie neexistînd nici o legătură. De exemplu, funcțiile din



figura 1.10 sînt corelate deoarece există valori ale lui τ pentru care funcțiile au aceleași valori. Pe intervalele de suprapunere integrala (1.40) va avea valori nenule și întotdeauna pozitive. Pentru alte valori

ale lui τ funcțiile nu vor mai avea valori comune, valoarea integralei va fi nulă, funcțiile nu vor mai fi corelate.

Funcția $f_{12}(\tau)$ se numește funcție de corelație sau funcție de

coerență mutuală a perturbațiilor de la două puncte P_1 și P_2 , perturbația de la P_1 retardată față de cea de la P_2 cu τ .

Dacă se corelează $f(t)$ cu ea însăși atunci funcția :

$$f_{11} = \lim_{T \rightarrow \infty} \frac{1}{T} \cdot \int_{-\infty}^{+\infty} f_1(t+\tau) \cdot f_1^*(t) \cdot dt \quad (1.41)$$

poartă numele de funcție de autocorelație sau funcție de autocorenență a perturbației dintr-un punct al câmpului optic pentru retardarea .

Dacă pentru un câmp optic staționar se definește intensitatea câmpului ca medie temporală, a pătratului modulului semnalului analitic complex asociat perturbației, pe o durată T care tinde la infinit :

$$I = \lim_{T \rightarrow \infty} \frac{1}{T} \int_{-T/2}^{T/2} |f(t)|^2 \cdot dt \quad (1.42)$$

atunci se observă că pentru $\tau = 0$:

$$f_{11}(0) = \lim_{T \rightarrow \infty} \frac{1}{T} \int_{-\infty}^{+\infty} f_1(t) \cdot f_1^*(t) \cdot dt = I_1 \quad (1.43)$$

respectiv :

$$f_{22}(0) = \lim_{T \rightarrow \infty} \frac{1}{T} \int_{-\infty}^{+\infty} f_2(t) \cdot f_2^*(t) \cdot dt = I_2 \quad (1.44)$$

iar :

$$f_{12}(0) = \lim_{T \rightarrow \infty} \frac{1}{T} \int_{-\infty}^{+\infty} f_1(t) \cdot f_2(t) \cdot dt = I_{12} \quad (1.45)$$

poartă numele de intensitate mutuală, I_1 și I_2 fiind intensitățile obișnuite.

Se poate acum defini gradul de coerență complex :

$$\gamma_{12}(\tau) = \frac{I_{12}(\tau)}{\sqrt{I_1} \cdot \sqrt{I_2}} \quad , \text{ sau } : \gamma_{12}(\tau) = \frac{f_{12}(\tau)}{\sqrt{f_{11}(0)} \sqrt{f_{22}(0)}} \quad (1.46)$$

normarea asigură $|\gamma_{12}(0)| \leq 1$. Pentru $\gamma_{12} = 0$, perturbațiile sînt incoerente, pentru $\gamma_{12} = 1$ sînt total coerente iar pentru $|\gamma_{12}| \in (0,1)$ coerența este parțială.

1.4 Interferența - efect al coerenței

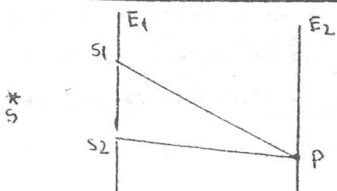


Fig. 1.11

Să considerăm dispozitivul Young, figura 1.11; pe ecranul E_1 , situat în câmpul optic al sursei S , se practică două orificii S_1 și S_2 și se studiază distribuția de intensitate pe un al doilea ecran E_2 , plasat la o oarecare

distanță de E_1 .

Dacă sursa ar fi punctuală și monocromatică (sursă ideală) perturbațiile de la S_1 și S_2 ar fi strict coerente și distribuția de intensitate pe ecranul E_2 este cea cunoscută în teoria elementară a interferenței.

Dacă, însă, sursa este reală-întinsă spațial și spectral-perturbațiile de la S_1 și S_2 vor fi mai mult sau mai puțin coerente fapt care va conduce la o distribuție de intensitate pe ecranul E_2 mai mult sau mai puțin diferită decât cea prevăzută de teoria elementară.

1.4.1 Legea generală de interferență a două fascicule de lumină parțial coerentă; a fost stabilită de Wolf. Ea permite exprimarea distribuției de intensitate la suprapunerea a două fascicule, pe baza intensităților fasciculelor și a gradului de coerență complex al perturbațiilor la punctele unde se produce divizarea luminii provenită de la sursa primară.

Fie $f_1(P, t)$ și $f_2(P, t)$ semnalele analitice asociate perturbațiilor ajunse, la momentul t , în punctul curent P al ecranului E_2 , de la orificiul S_1 , respectiv de la S_2 .

Pe baza principiului superpoziției, semnalul analitic asociat perturbației rezultante din P , va fi :

$$f(P, t) = f_1(P, t) + f_2(P, t) \quad (1.47)$$

Semnalele asociate perturbațiilor ajunse în P , la momentul t , pot fi exprimate pe baza semnalelor analitice asociate perturbațiilor existente la S_1 și S_2 la momentele anterioare $t - t_1$, respectiv $t - t_2$ unde $t_1 = r_1/c$ și $t_2 = r_2/c$ sînt intervalele de timp necesare luminii pentru a ajunge de la S_1 și S_2 în P .

Presupunînd că propagarea se face în vid, încît să nu avem dispersie și deci distorsionarea perturbației în decursul propagării, vom putea scrie:

$$f_1(P, t) = c_1 \cdot f(S_1, t - t_1) \quad ; \quad f_2(P, t) = c_2 \cdot f(S_2, t - t_2) \quad (1.48)$$

unde c_1 și c_2 sînt factori ce depind de mărimea orificiilor și geometria montajului (unghiurile de incidență și de difracție la S_1 și S_2). Intrucît undele secundare din S_1 și S_2 au un defazaj de $\pi/2$ față de cele primare corespunzătoare, c_1 și c_2 sînt numere pur imaginare.

Notînd :

$$f(S_1, t - t_1) = f_1(t - t_1); f(S_2, t - t_2) = f_2(t - t_2)$$

Obținem :

$$f(P, t) = c_1 \cdot f_1(t - t_1) + c_2 \cdot f_2(t - t_2) \quad (1.49)$$

Din această relație se observă că intensitatea în punctul curent P al ecranului E_2 se poate exprima în funcție de intensitățile în punctele S_1 și S_2 și funcție de funcția de coerență mutuală a perturbațiilor de la S_1 și S_2 :

$$I(P) = |c_1|^2 \cdot I(S_1) + |c_2|^2 \cdot I(S_2) + 2 \cdot |c_1| \cdot |c_2| \cdot \text{Re } f_{12}(\zeta) \quad (1.50)$$

Exprimînd funcția de coerență mutuală $f_{12}(\zeta)$ pe baza gradului de coerență complex corespunzător (1.46), obținem:

$$I(P) = |c_1|^2 \cdot I(S_1) + |c_2|^2 \cdot I(S_2) + 2 \cdot |c_1| \cdot |c_2| \cdot \sqrt{I(S_1)} \cdot \sqrt{I(S_2)} \cdot \text{Re } \gamma_{12} \quad (1.51)$$

Termenul $|c_1|^2 \cdot I(S_1)$ este, evident, intensitatea care ar fi observată în P dacă ar fi deschis numai orificiul din S_1 ($c_2 = 0$); în mod analog, $|c_2|^2 \cdot I(S_2)$ reprezintă intensitatea din P a celui de-al doilea fascicul.

Notînd aceste intensități cu $I_1(P)$ și $I_2(P)$, putem scrie :

$$I(P) = I_1(P) + I_2(P) + 2 \cdot \sqrt{I_1(P)} \cdot \sqrt{I_2(P)} \cdot \text{Re } \gamma_{12}(\zeta) \quad (1.52)$$

Această relație reprezintă forma matematică a legii generale de interferență pentru cîmpurile optice staționare: intensitatea în cîmpul de interferență a două fascicule de lumină diferă, în general, de suma intensităților celor două fascicule, printr-un termen care depinde de gradul lor de coerență.

Cunoscînd intensitatea celor două fascicule și gradul de coerență al perturbațiilor, în punctele în care se face divizarea fasciculelor, cu ajutorul relației (1.52) se poate calcula distribuția de intensitate în figura de interferență formată prin suprapunerea celor două fascicule.

Invers, cunoașterea distribuției de intensitate în figura de interferență formată prin suprapunerea a două fascicule de intensități de asemenea cunoscute, permite determinarea părții reale a gradului de coerență complex :

$$\operatorname{Re} \varphi_{12}(\tau) = \frac{I(P) - I_1(P) - I_2(P)}{2\sqrt{I_1(P)} \cdot \sqrt{I_2(P)}} \quad (1.53)$$

Deci, interferența constituie un fenomen optic pe baza căruia se pot determina funcțiile de corelație ale perturbațiilor la diferite puncte ale câmpului.

Adică: o primă metodă de investigare a coerenței câmpurilor optice este metoda interferometrică.

Deducerea legii (1.52) pentru cazul unui montaj cu "divizarea frontului de undă" nu afectează cu nimic generalitatea ei. Printr-un raționament analog se poate arăta că această lege este valabilă și dacă cele două fascicule interferate sînt obținute din fasciculul primar prin "divizarea amplitudinii" precum și în cazul cînd lumina de la S_1 și S_2 nu ajunge direct, ci printr-un sistem optic.

Dacă partea reală a gradului de coerență complex o punem sub forma :

$$\operatorname{Re} \varphi_{12}(\tau) = |\varphi_{12}(\tau)| \cdot \cos[a_{12}(\tau) + 2\pi \omega_0 \tau] \quad (1.54)$$

unde $a_{12}(\tau)$ reprezintă argumentul lui $\varphi_{12}(\tau)$, relația (1.52) devine:

$$I(P) = I_1(P) + I_2(P) + 2 \cdot \sqrt{I_1(P)} \cdot \sqrt{I_2(P)} \cdot |\varphi_{12}(\tau)| \cdot \cos[a_{12}(\tau) + 2\pi \omega_0 \tau] \quad (1.55)$$

Dacă $|\varphi_{12}(\tau)| = 1$, distribuția de intensitate este aceeași cu cea care s-ar obține în lumină strict monocromatică (cu frecvența ω_0), perturbațiile de la S_1 și S_2 avînd o diferență de fază egală cu $a_{12}(\tau)$ - suprapunere strict coerență. Dacă $|\varphi_{12}(\tau)| = 0$, ultimul termen din (1.55) dispăre, perturbațiile nu dau nici un efect de interferență - suprapunere strict incoerență.

Se observă, deci, că modulul gradului de coerență complex este cel care determină caracterul suprapunerii fasciculelor de lumină, $a_{12}(\tau)$ fiind determinant numai pentru detaliile acestei suprapunerii. Din acest motiv $|\varphi_{12}(\tau)|$ poartă numele de grad de coerență propriu-zis al perturbațiilor, sau mai simplu gradul coerenței lor.

Pentru $0 < |\varphi_{12}(\tau)| < 1$, distribuția de intensitate (1.55) mai poate fi pusă sub forma :

$$I(P) = |\varphi_{12}(\tau)| \cdot \left\{ I_1(P) + I_2(P) + 2 \cdot \sqrt{I_1(P)} \cdot \sqrt{I_2(P)} \cdot \cos[a_{12}(\tau) + 2\pi \omega_0 \tau] \right\} + [1 - |\varphi_{12}(\tau)|] \cdot [I_1(P) + I_2(P)] \quad (1.56)$$

Primul grup de termeni poate fi considerat ca provenind din supra-

punerea a două fascicule strict coerente de intensități: $|\mathcal{Y}_{12}(\zeta)| \cdot I_1(P)$ și $|\mathcal{Y}_{12}(\zeta)| \cdot I_2(P)$ și cu diferența de fază $a_{12}(\zeta) + 2\pi Z_0 \zeta$ iar celălalt grup de termeni provenind din suprapunerea a două fascicule complet incoerente de intensități:

$$[1 - |\mathcal{Y}_{12}(\zeta)|] I_1(P) \text{ și } [1 - |\mathcal{Y}_{12}(\zeta)|] \cdot I_2(P) .$$

Lumina care ajunge în punctul P de la cele două orificii poate fi considerată ca un amestec de lumină coerentă și lumină incoerentă avînd intensitățile în raportul :

$$\frac{I_{\text{coh}}}{I_{\text{incoh}}} = \frac{|\mathcal{Y}_{12}(\zeta)|}{1 - |\mathcal{Y}_{12}(\zeta)|} \quad (1.57)$$

1.4.2 Legea de interferență a două fascicule parțial coerente de lumină cvasimonocromatică ;relația (1.55) a legii generale de interferență este posibilă în orice situație, dar semnificativă numai în cazul luminii cvasimonocromatice. În acest caz $\mathcal{Y}_{12}(\zeta)$ și $a_{12}(\zeta)$ sînt funcții cu variație continuă, lentă, de ζ și prin aceasta de poziția punctului P de pe ecranul E_2 .

Considerînd lumina cvasimonocromatică cu banda de frecvențe suficient de îngustă pentru ca aspectul periodic al distribuției de intensitate în figura de interferență să nu se piardă, se poate vorbi de vizibilitatea (contrastul) franjelor :

$$V(P) = \frac{I_{\text{max}} - I_{\text{min}}}{I_{\text{max}} + I_{\text{min}}} \quad (1.58)$$

Maximele și minimele de intensitate în vecinătatea punctului P sînt date, cu o bună aproximație, de :

$$I_{\text{max}} = I_1(P) + I_2(P) + 2 \cdot \sqrt{I_1(P)} \cdot \sqrt{I_2(P)} \cdot |\mathcal{Y}_{12}(\zeta)| \quad (1.59)$$

$$I_{\text{min}} = I_1(P) + I_2(P) - 2 \cdot \sqrt{I_1(P)} \cdot \sqrt{I_2(P)} \cdot |\mathcal{Y}_{12}(\zeta)|$$

încît vizibilitatea franjelor în P se poate scrie :

$$V(P) = 2 \cdot \frac{\sqrt{I_1(P)} \cdot \sqrt{I_2(P)}}{I_1(P) + I_2(P)} \cdot |\mathcal{Y}_{12}(\zeta)| \quad (1.60)$$

Această formulă exprimă vizibilitatea franjelor în funcție de intensitățile celor două fascicule și gradul coerenței lor.

Dacă, așa cum se întîmplă în montajele obișnuite, cele două fascic-

le care interferă au intensități egale, relația (1.60) se reduce la:

$$V(P) = |\mathcal{F}_{12}(\tau)| \quad (1.61)$$

Vizibilitatea franjelor este egală în acest caz cu gradul de coerență.

În figura 1.12 este prezentată distribuția de intensitate în figura de interferență produsă de două fascicule cvasimonocromatice de intensități egale, pentru valori diferite ale gradului de coerență, $|\mathcal{F}|$:

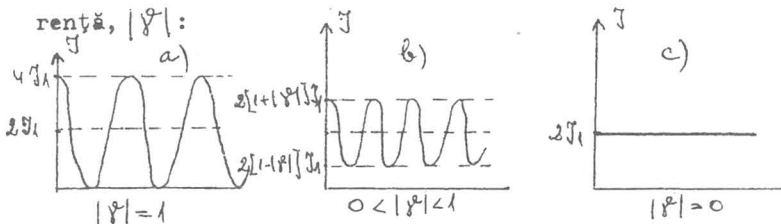


Fig. 1.12

Vizibilitatea franjelor urmărește variația gradului de coerență când se trece de la o suprapunere perfect coerentă (a), la una total incoerentă (c).

Relațiile (1.55) și (1.61) constituie baza metodei interferențiale de analiză a coerenței cîmpurilor optice.

Dacă pentru lumina cvasimonocromatică întârzierea τ produsă în cele două fascicule este mult mai mică decît timpul de coerență al luminii folosite, gradul de coerență se poate exprima cu bună aproximație prin :

$$\mathcal{F}_{12}(\tau) = |\mathcal{F}_{12}(\tau)| \cdot e^{i(b_{12} + 2\pi\omega_0\tau)} \quad (1.62)$$

încît legea generală de interferență (1.52) poate fi pusă sub forma :

$$I(P) = I_1(P) + I_2(P) + 2 \cdot \sqrt{I_1(P)} \cdot \sqrt{I_2(P)} \cdot |\mathcal{F}_{12}(\tau)| \cdot \cos(b_{12} + 2\pi\omega_0\tau) \quad (1.63)$$

Această ecuație reprezintă legea de interferență pentru fascicule parțial coerente de lumină cvasimonocromatică.

Această teorie studiază influența exclusiv a întinderii spațiale a sursei asupra figurilor de interferență (și de difracție), motiv pentru care mai este denumită și teoria coerenței spațiale.

Cap. II OBTINEREA LUMINII COERENTE

Primele fascicule coerente de lumină monocromatică au fost obținute în anii '60 odată cu apariția laserilor.

Principiul obținerii luminii coerente era cunoscut mai dinainte, din lucrările lui Einstein. Nu se poate spune că Einstein a prevăzut apariția laserilor dar a anticipat-o când a intuit existența emisiei stimulate. El a introdus această noțiune pentru a rededuce formula lui Planck în cadrul acceptării caracterului cuantic al interacției radiație - substanță. În cadrul acestei teorii dacă se iau în considerare doar două procese-emisia spontană și absorbția-se obține pentru radiația de echilibru formula lui Wien; dacă, însă, se ia în considerare și un al treilea termen-emisia stimulată-Einstein a obținut formula lui Planck.

Noțiunea de LASER derivă de la expresia "Light Amplification by Stimulated Emision of Radiation" care semnifică: Amplificarea luminii prin emisie stimulată de radiații.

Ideile fundamentale ale acestui fenomen au fost expuse pentru prima oară în două lucrări ale lui Einstein, publicate în anul 1916 și intitulate:

- Emisia și absorbția radiației conform teoriei cuantice;
- Spre teoria cuantică a radiației.

După stabilirea aspectelor teoretice ale fenomenului, în 1960, Maiman realizează primul laser cu rubin iar în 1961, A. Jawa, W.R. Bennet și D.R. Herriott realizează primul laser cu gaz (He-Ne). În 1962, pe baza cercetărilor conduse de omul de știință prof. I. Agârbiceanu, la I.F.A. este realizat primul laser românesc cu He-Ne și apoi cu CO₂.

După aceste prime realizări, urmează o adevărată revoluție în cercetările privind emisiile laser. S-au realizat tipuri de lasere în care mediile active sunt solide, lichide anorganice sau organice, ionice, moleculare sau semiconductoare, obținându-se peste 1000 tipuri a căror lungime de undă acoperă spectrul electromagnetic din ultraviolet până în infraroșu.

2.1 Funcționarea laserelor

Aceste dispozitive funcționează pe baza fenomenului de emisie stimulată, prevăzut de Einstein în cadrul teoriei sale asupra emisiei și absorbției radiației, /5/.

Să considerăm două nivele energetice ale unor specii de sisteme (atomi, molecule, ioni) unul inferior de energie W_1 și al-
tutul superior, de energie W_2 , între care presupunem realizarea tran-
zițiilor cuantice.

Datorită ciocnirilor provocate de agitația termică, unele
particule vor fi excitate la întîmplare, totuși statistic, la o
temperatură oarecare T , repartizarea numărului de particule exci-
tate respectă o anumită regulă: numărul de particule excitate pe
nivele din ce în ce mai înalte este din ce în ce mai mic. Deci,
de exemplu, dacă N_1 este numărul de atomi excitați pe nivelul W_1
și N_2 este numărul atomilor excitați pe nivelul energetic W_2 ,
unde $W_2 > W_1$, atunci $N_2 < N_1$. Aceasta este repartiția obișnuită a
particulelor unui corp la echilibru termodinamic, caracterizat
printr-o temperatură T . Matematic, o astfel de repartiție este des-
crisă de legea de distribuție Boltzmann :

$$N_2 = N_1 \cdot e^{-\frac{W_2 - W_1}{k \cdot T}} \quad (2.1)$$

unde k - constanta lui Boltzmann. Într-adevăr, deoarece $T > 0$, atunci
cînd $W_2 > W_1$, se obține $N_2 < N_1$. În plus această relație ne mai era-
tă că, dacă încălzim corpul (crește T), numărul N_2 de atomi exci-
tați pe nivelul superior crește, dar nu va putea deveni nicioda-
tă mai mare decît N_1 ; chiar cînd $T \rightarrow \infty$, N_2 tinde să devină egal cu
 N_1 , deoarece:

$$\lim_{T \rightarrow \infty} e^{-\frac{W_2 - W_1}{k \cdot T}} = 1 \quad (2.2)$$

dar nu-l va depăși pe N_1 .

Fenomenul prin care numărul particulelor excitate pe un
nivel superior devine mai mare decît numărul particulelor afla-
te pe un nivel inferior se numește inversiune de populație între
cele două nivele.

Se observă că simpla încălzire a corpurilor nu
poate realiza inversiunea de populație între nivelele energeti-
ce; la orice temperatură nivelele energetice superioare sunt mai
puțin populate decît nivelele inferioare.

În cazul inversiunii populației se observă, din rel. (2.1),
existența formală a unei temperaturi absolute negative. Într-ade-
văr :

$$T = - \frac{W_2 - W_1}{k \cdot \ln \frac{N_2}{N_1}} \quad (2.3)$$

Drept urmare, dacă obținem experimental $N_2 > N_1$, deci:

$$\ln \frac{N_2}{N_1} > 0 \quad (2.4)$$

atunci cum $W_2 > W_1$ se obține $T < 0$.

Simbolic o distribuție obișnuită a populațiilor pe nivele energetice a), comparativ cu o inversiune de populație b) este prezentată în figura 2.1.

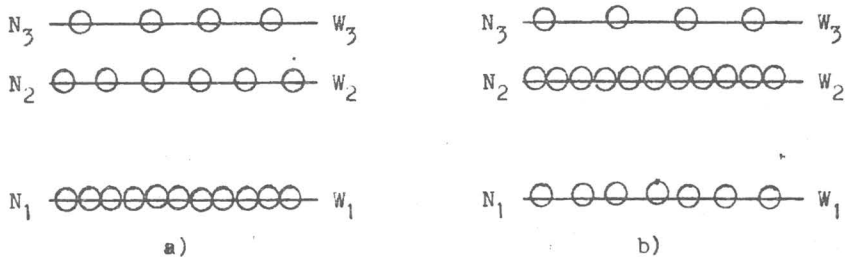


Fig. 2.1

În distribuția obișnuită a) la echilibru termodinamic, pentru $W_3 > W_2 > W_1$: $N_3 < N_2 < N_1$. Inversiunea de populație b) este realizată doar între nivelele W_2 și W_1 deoarece $N_2 > N_1$; între nivelele W_3 și W_2 , $W_3 > W_2$, distribuția este obișnuită, $N_3 < N_2$.

Stările cu temperatură negativă sunt stări de neechilibru termodinamic realizate prin schimbarea forțată a populațiilor între nivele energetice

Dacă iradiem o substanță în care s-a realizat inversiunea populațiilor între W_1 și W_2 , fotonii fasciculului incident vor suferi mai multe interacțiuni cu atomii existenți pe nivelul W_2 decât pe nivelul W_1 , deoarece $N_2 > N_1$.

Dacă fotonii incidenți au energia egală cu $W_2 - W_1$, aceștia vor interacționa rezonant cu atomii respectivi, provocând dezexcitarea indusă a lor. Fiecare act de dezexcitare este urmat de emisia unui nou foton, de aceeași energie și în fază cu cel

care a stimulat tranziția. Fasciculul emergent va fi astfel mai intens decât cel incident, frecvența radiației fiind:

$$\omega = \frac{W_2 - W_1}{h} \quad (2.5)$$

Se realizează astfel un proces de amplificare a radiației electromagnetice; la baza lui stau deci două fenomene importante:

- inversiunea populațiilor;
- emisia stimulată,

între două nivele.

Schematic acest fenomen este prezentat în figura 2.2.

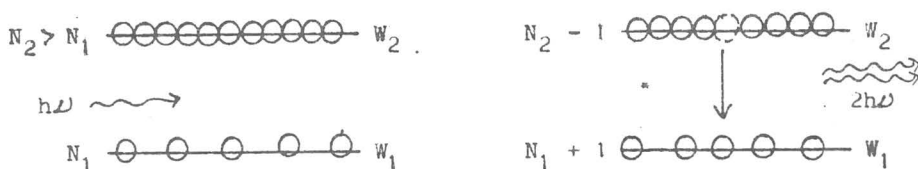


Fig. 2.2

Evident amplificarea radiației monocromatice respective va fi cu atât mai mare cu cât nivelul de energie W_2 este mai populat decât nivelul de energie W_1 , deci cu cât N_2 este mai mare decât N_1 .

Dacă substanța este în condiții obișnuite adică nivelul W_2 este mai puțin populat decât nivelul W_1 nu se obține fenomenul de amplificare a radiației, deoarece în acest caz, $N_2 < N_1$, interacțiunile fotonilor cu atomii de pe nivelul W_1 sunt mai numeroase decât cu atomii de pe nivelul W_2 , aceste interacțiuni fiind procese de excitare de pe W_1 pe W_2 , adică procese în care fotonii sunt absorbiți, deci scoși din fascicul, figura 2.3.

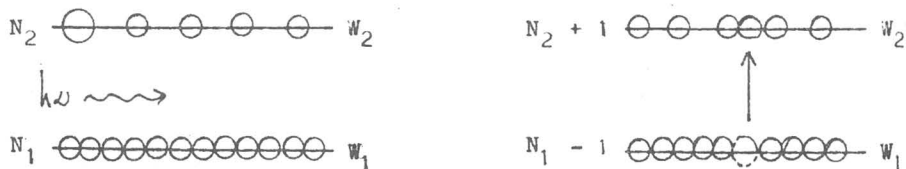


Fig. 2.3

Prin dezexcitare, fiecare atom va reveni pe nivelul W_1 , fie cedînd energia $W_2 - W_1$ atomilor vecini - tranziție neradia-

tivă - ceea ce duce la încălzirea corpului, fie generînd un foton - tranziție radiativă - .Acest foton poate ieși din corpul iradiat sau poate fi din nou absorbit într-un alt proces de excitație. Drept urmare numărul fotonilor emergenți va fi totdeauna mai mic decît numărul celor incidenți. Adică radiația incidentă va fi totdeauna slăbită la trecerea ei prin substanța ai cărei atomi au o distribuție boltzmanniană.

Acest fenomen de amplificare a radiației electromagnetice prin emisie stimulată poartă numele de efect LASER. In mod analog se obțin efectul MASER, respectiv efectul IRASER.

2.2 Bilanțul puterilor în mediul activ laser

Dacă notăm cu I_{ω} numărul fotonilor incidenți în unitatea de timp, fiecare foton avînd energia $h\omega$, atunci puterea radiației incidente este:

$$P_{inc} = I_{\omega} \cdot h\omega \quad (2.6)$$

O parte din acești fotoni va fi absorbită de atomii aflați pe nivelul inferior W_1 provocînd excitația acestora pe nivelul superior W_2 . Numărul acestor tranziții în unitatea de timp va fi proporțional cu numărul fotonilor incidenți I_{ω} și cu numărul N_1 de atomi în starea W_1 . Puterea absorbită de atomi pentru excitația lor va fi:

$$P_{excit} = B_{12} \cdot I_{\omega} \cdot N_1 \cdot h\omega \quad (2.7)$$

Din atomii excitați pe nivelul cuantic W_2 o parte va reveni spontan pe nivelul W_1 . Numărul tranzițiilor spontane în unitatea de timp va fi proporțional cu numărul N_2 al atomilor aflați în starea W_2 și nu va depinde de intensitatea radiației incidente I_{ω} , energia unui foton obținut în acest proces fiind tot $h\omega$.

In acest caz puterea emisă de corp prin dezexcitare spontană va fi :

$$P_{spont} = A_{21} \cdot N_2 \cdot h\omega \quad (2.8)$$

O altă parte din atomii aflați pe nivelul W_2 vor suferi dezexcitații stimulate de fotonii incidenți și vor da o emisie stimulată. Numărul acestor dezexcitații va depinde de N_2 , dar și de intensitatea I_{ω} . In acest caz puterea radiației stimulate va fi:

$$P_{stim} = B_{21} \cdot I_{\nu} \cdot N_2 \cdot h\nu \quad (2.9)$$

Coeficienții A_{21}, B_{12}, B_{21} se numesc coeficienții lui Einstein. Se demonstrează că pentru două nivele energetice date coeficientul emisiei stimulate B_{21} este egal cu coeficientul absorției B_{12} :

$$B_{21} = B_{12} = B \quad (2.10)$$

Radiația emisă este deci alcătuită din:

- fotoni care părăsesc mediul fără să fi produs excitări ale atomilor, puterea lor fiind : $P_{inc} - P_{excit}$;

- fotoni obținuți prin dezexcitare spontană, puterea lor fiind : P_{spont} ;

- fotoni obținuți prin dezexcitare stimulată de putere: P_{stim} ;

În această situație puterea radiației emise de mediul activ este:

$$P_{emis} = P_{inc} - P_{excit} + P_{spont} + P_{stim} \quad (2.11)$$

Datorită pierderilor de putere în mediul respectiv, în special prin încălzire, puterea radiată, adică $P_{spont} + P_{stim}$, este mai mică decât puterea consumată pentru excitare, P_{excit} , de aceea totdeauna $P_{emis} < P_{inc}$, adică orice radiație monocromatică care pătrunde într-o substanță va ieși atenuată din ea.

Tinând cont de relațiile (2.5) - (2.10), pentru relația (2.11) obținem:

$$P_{emis} = P_{inc} + A_{21} \cdot N_2 \cdot h\nu + B \cdot I_{\nu} \cdot (N_2 - N_1) \cdot h\nu \quad (2.12)$$

Această relație pune în evidență necesitatea îndeplinirii a două condiții pentru realizarea practică a unui dispozitiv laser:

- în primul rînd cerința ca puterea emisă să fie mai mare decât cea incidentă impune condiția obținerii inversiunii de populație, $N_2 > N_1$; într-adevăr în acest caz toți termenii din dreapta sunt pozitivi și deci $P_{emis} > P_{inc}$;

- în al doilea rînd, pentru ca fasciculul emergent să conțină cu preponderență radiații provenite din emisii stimulate este necesar ca termenul :

$$B \cdot I_{\nu} \cdot (N_2 - N_1) \cdot h\nu$$

datorat emisiei stimulate să fie mult mai mare decât termenul:

$$A_{21} \cdot N_2 \cdot h\nu$$

datorat emisiei spontane. Aceasta impune ca intensitatea I_{ν} a radiației de pompaj să fie destul de mare; să depășească o anumită valoare numită intensitate de prag.

2.3 Proprietățile radiației laser

Aplicarea practică a emisiei laser este facilitată de proprietățile specifice acestei radiații:

- coerența,
- monocromaticitatea,
- direcționalitatea,
- intensitatea.

2.3.1 Coerența ; explicitarea acestei proprietăți se poate face dacă se ia în considerare fenomenul de interferență. Astfel, considerând două unde, provenite din puncte diferite ale spațiului, dacă între acestea se produce fenomenul de interferență, obținându-se franje de interferență, cele două unde sunt coerente.

Folosind două fante plesate în calea fasciculului laser se obțin franje de interferență, franje care pot indica mărimea coerenței între fasciculele de lumină a celor două fante, ceea ce se poate exprima prin vizibilitatea V :

$$V = \frac{I_{\max} - I_{\min}}{I_{\max} + I_{\min}} \quad (2.13)$$

unde I_{\max} , I_{\min} reprezintă intensitatea maximelor și minimelor vecine din regiunea de interferență. Pentru $V = 1$, adică $I_{\min} = 0$, coerența este perfectă (totală) iar pentru $V = 0$, adică $I_{\max} = I_{\min}$, înseamnă incoerență.

2.3.2 Monocromaticitatea ; este una din proprietățile importante ale radiației laser, fiind determinată de procesul de emisie stimulată, lărgimea spectrală fiind:

$$\nu_0 \pm \Delta \nu_0$$

unde : $\nu_0 \sim 10^{15}$ Hz , iar $\Delta \nu_0 = 10^9$ Hz

2.3.3 Direcționalitatea; spre deosebire de sursele obișnuite de lumină care au un unghi de divergență foarte mare, fas-

ciculul laser se caracterizează printr-un unghi de divergență foarte mic. Astfel, pentru un laser cu mediu solid, unghiul de divergență are valori de ordinul $0,1 \div 1^\circ$, iar laserii cu mediu gazos au unghiul de divergență sub $1'$, ceea ce înseamnă că direcționalitatea emisiei laser este foarte bună, ea depinzând, la rândul ei, de felul de obținere a radiației laser.

Conform criteriului lui Rayleigh, divergența minimă a unui fascicul de lumină coerentă este dată de relația:

$$\Theta_{\min} = \frac{1,22 \cdot \lambda}{R} \quad (2.14)$$

unde λ - lungimea de undă a radiației folosite, iar R - raza fasciculului. Deci divergența unghiulară a emisiei laser este cu atât mai mare cu cât lungimea de undă este mai mică.

Mărimea spotului luminos focalizat depinde de divergența unghiulară și de distanța focală a lentilei de focalizare;

$$d = f \cdot \Theta \quad (2.15)$$

Astfel, dacă se folosește o lentilă cu distanța focală $f = 0,05$ m și un unghi de divergență $\Theta = 10^{-4}$ rad, se obține un spot cu diametrul $d = 5 \mu\text{m}$.

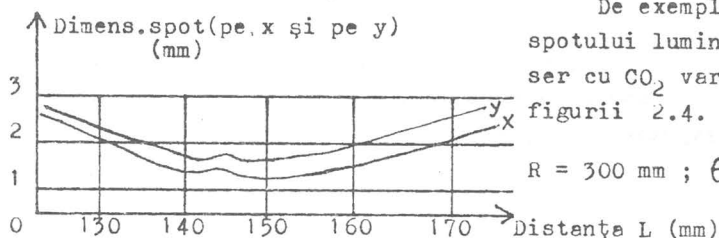


Fig. 2.4

De exemplu, mărimea spotului luminos la un laser cu CO_2 variază conform figurii 2.4.

$R = 300$ mm ; $\Theta = 8^\circ$



2.3.4 Intensitatea radiației laser; aceasta atinge valori foarte mari, aceasta ca o consecință a direcționalității și a coerenței fasciculului.

Pentru comparație; dacă considerăm puterea emisă de un corp negru aflat la temperatura de 6000 K (de exemplu Soarele) pe o arie de $0,2 \text{ cm}^2$ și lungime de undă $\lambda = 0,07 \text{ \AA}$, care este de $2 \cdot 10^{-7}$ W, o sursă laser cu rubin care emite pe aceeași lungime de undă și suprafață are o putere de 1 kW. Reultă deci că emisia unui laser cu rubin este de aproximativ $5 \cdot 10^9$ ori mai puternică decât aria echivalentă a suprafeței solare. Același raport

este și mai mare decât se consideră un laser cu gaz al cărui fascicul este mai direcționat și mai monocromatic.

2.4 Laserul cu gaz He - Ne

De la realizarea primului laser și pînă în prezent s-au produs diverse tipuri de lasere ale căror medii active laser utilizate sunt de natură solidă, gazoasă și lichidă.

Mediile gazoase s-au prezentat încă de la început ca deosebit de promițătoare în realizarea unor medii active laser căci, datorită interacțiunii mai reduse dintre atomii sau moleculele constituente, atît nivelele energetice constituente cît și condițiile de excitare erau mult mai bine cunoscute decît în cazul mediilor solide sau lichide.

Mediile gazoase au permis obținerea a peste cîteva mii de tranziții laser de înaltă coerență, laserii cu gaz devenind cei mai utilizați.

Atomii sau moleculele dintr-un mediu gazos, spre deosebire de mediile solide sau lichide, se găsesc într-o izolare relativă astfel că liniile de emisie și absorbție caracteristice acestora se prezintă în general foarte îngustă.

Pompaajul optic (inversiunea de populație) cel mai eficient în cazul mediilor gazoase se obține prin realizarea unei descărcări electrice într-un câmp electric continuu sau de radio-frecvență, care se concretizează în două mecanisme importante ce se cunosc sub denumirile de ciocniri de prima și a doua speță.

Ciocnirile de prima speță implică interacția unui electron energetic (e^*) cu un atom (moleculă), (A), ce se află în starea energetică fundamentală. În schimbul de energie dintre electron și atom are loc procesul excitării atomului (A^*) pe un nivel energetic superior:



Ciocnirile de speța a doua sunt procese ce apar între atomii sau moleculele excitate pe stări metastabile cu alte specii atomice (A') sau moleculare aflate în atarea energetică fundamentală. Si în acest caz, într-un mod similar, energia transferată între speciile aflate în ciocnire conduce la excitarea atomilor (A') aflați în starea fundamentală și la dezexcitarea atomilor aflați în starea metastabilă (A^*):

$$A^* + A' \longrightarrow A'^* + A \quad (2.16)$$

Numărul mare al tranzițiilor laser puse în evidență în medii gazoase, implică o subclasificare a laserilor cu gaz, realizată uzual, prin împărțirea laserilor cu gaz în: laseri ionici, atomici și moleculari.

Laserii atomici sunt reprezentați de laserul cu He - Ne, laserii ionici de laserii cu argon ionizat, kripton ionizat și Helium - Cadmiu ionizat, iar laserii moleculari de laserul cu CO₂ și laserul cu azot.

Dintre aceștia, laserul cu He - Ne este cel mai important reprezentant. Așa cum a fost construit pentru prima dată în 1960 de Ali Javan, Benett și Herriot, el este alcătuit dintr-un amestec de He și Ne în proporție de 85 - 90 % He, respectiv 15 - 10 % Ne. Diagrama nivelelor energetice ale atomilor de He și Ne este prezentată în figura 2.5.

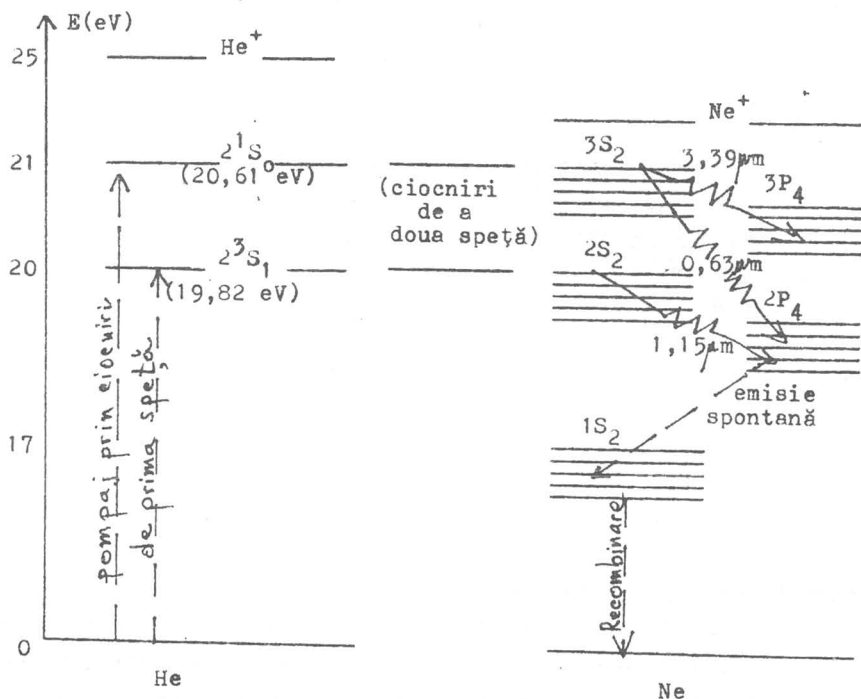


Fig. 2.5

Observație. Un nivel energetic se notează de obicei cu un simbol de forma $n^X X_j$, numit și termen spectral, în care X co-

respunde numărului cuantic orbital (azimutal), l , (s, p, d, f, \dots pentru $l = 0, 1, 2, 3, \dots$), - numărul orientărilor posibile ale spinului, numit multiplicitate; $X = 2s + 1$, s fiind numărul cuantic de spin (pentru $s = 0, 1, 2, \dots$ nivelele respective se numesc de singleti, de dubleți, de tripleți, etc.), n - numărul cuantic principal, iar j - numărul cuantic intern; $j = 1 + s, 1 + s - \dots, 1 - s$. Astfel simbolul :

$$3^2D_{3/2}$$

reprezintă nivelul energetic cu $n = 3, l = 2, s = 1/2, j = 3/2$, simbolul:

$$2^1S_0$$

reprezintă nivelul energetic cu $n = 2, l = 0, s = 0, j = 0$, iar simbolul:

$$2^3S_1$$

reprezintă nivelul energetic cu $n = 2, l = 0, s = 1, j = 1$.

Acțiunea laser apare între grupurile de nivele energetice excitate $3S$ și $2S$ ale neonului și nivelele $3P$ și $2P$, cele mai importante linii spectrale fiind între:

$$- 3S_2 \text{ și } 3P_4 \text{ cu } = 3,39 \mu\text{m (infraroșu intermediar)}$$

$$- 2S_2 \text{ și } 2P_4 \text{ cu } = 1,15 \mu\text{m (infraroșu apropiat)}$$

$$- 3S_2 \text{ și } 2P_4 \text{ cu } = 0,6328 \mu\text{m (roșu - spectru vizibil)}$$

Inversia de populație între nivelele S și P ale neonului este rezultatul ciocnirilor de prima și a doua speță ce apar în procesul de descărcare inițiat în tubul laser prin aplicarea unui câmp electric continuu sau de radiofrecvență.

Prin ciocniri de speța întâi, atomii de heliu aflați în stare fundamentală sunt excitați pe nivelele metastabile :

$$2^3S_1 \quad \text{și} \quad 2^1S_0$$

procesul putând fi exprimat conform relației (2.15) ce:



Aceste nivele metastabile ce se caracterizează prin energii de 19,82 eV și respectiv 20,61 eV se găsesc în imediata vecinătate a nivelelor $2S$ (19,82 eV) și $3S$ (20,66 eV) astfel că prin ciocniri de speța a doua de forma, conform relației (2.16):



se obține excitarea atomilor de neon pe nivelele 2S și 3S ce constituie nivele laser.

Laserul construit de Ali Javan a pus în evidență tranzițiile 2S - 2P, cea mai intensă radiație obținută fiind cea de 1,1523 m care corespunde nivelelor 2S₂ - 2P₄.

Ulterior au fost puse în evidență și tranzițiile 3S - 3P și 3S - 2P dintre care tranziția 3S₂ - 2P₄ obținută experimental de White Rigden în iulie 1962 care corespunde radiației roșii din spectrul vizibil, sub care laserii cu He - Ne moderni sunt cei mai des întâlniți. Radiația corespunzătoare tranziției 3S₂ - 3P₄ (3,39 m) este o radiație cu un câștig ridicat.

În figura 2.6 se prezintă o schemă constructivă tipică a unui laser He - Ne cu oglinzi externe ce emite pe lungimea de undă de 0,6328 μm.

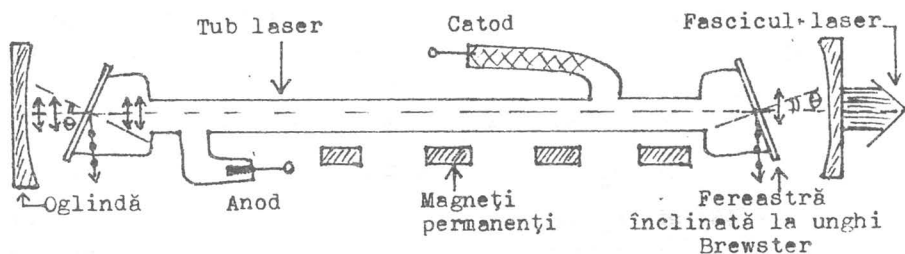


Fig. 2.6

Suprimarea radiațiilor infraroșii este realizată prin plasarea în lungul tubului a unor magneti permanenți.

Realizarea puterii este dată de ferestrele ce închid tubul laser și de oglinzile cu multistraturi dielectrice. Ferestrele sunt plasate sub unghi Brewster :

$$\text{tg } \theta = \frac{n_2}{n_1} \quad (2.19)$$

unde n_2 și n_1 sunt indicii de refracție asociați mediului optic al ferestrei și mediului optic exterior acesteia.

Pentru a evita depopularea nivelelor 3S și 2S prin ciocniri de speța întâi și a permite ocuparea acestora pe calea cioc-

nirilor de speța a doua, proporția heliului în amestec este aleasă mult mai mare decât a neonului. Practic, amestecul optim este obținut prin presiunile parțiale de 1 Torr pentru heliu și 0,1 Torr pentru neon.

Intre catodul și anodul tubului de descărcare se aplică o tensiune ce variază în funcție de lungimea tubului și diametrul acestuia, de la câțiva kV la zeci de kV, iar curentul ce apare este în general de ordinul a 5—20 mA.

Randamentul energetic al laserelor cu He - Ne este de 0,1 %, dar pentru puterile uzuale emise de aceștia, ce se situează între câteva sute de μ W și zeci de mW nu prezintă un dezavantaj semnificativ.

Interesul față de radiațiile emise de laserii He - Ne și în special a radiației vizibile de 0,6328 μ m se datorează în principal:

- stabilității radiației emise,
- direcționalității,
- puterii spectrale ridicate

ce-i asigură o coerență excepțională.

Cap. III ANALIZA FOURIER A SEMNALELOR

3.0 Dezvoltarea în serie Fourier

Orice funcție periodică sau neperiodică poate fi dezvoltată în serie Fourier după funcțiile ortogonale sinus și cosinus. Această dezvoltare, la procesele fizice, constituie ea însăși un fenomen natural care se pune în evidență cu ajutorul unor aparate numite analizoare armonice - rezonatori Helmholtz, analizoare electroacustice - sau analizoare spectrale și care se prezintă prin linii sau benzi spectrale înguste, /24/3/15/.

Conform analizei Fourier, o funcție periodică $f(t)$ de perioadă T se poate exprima printr-o serie Fourier:

$$f(t) = \frac{A_0}{2} + \sum_{k=1}^{\infty} (A_k \cdot \cos \omega_1 k t + B_k \cdot \sin \omega_1 k t) \quad (3.1)$$

unde $\omega_1 = 2\pi/T$ reprezintă pulsația (frecvența) fundamentală, iar $\omega_k = \omega_1 \cdot k$

armonicele. Coeficienții A_0, A_k, B_k se numesc coeficienți Fourier.

O reprezentare echivalentă a funcției $f(t)$ cu relația (3.1) se prezintă în următoarea formă:

$$f(t) = \frac{A_0}{2} + \sum_{k=1}^{\infty} F_k \cdot \cos(\omega_1 k t + \varphi_k) \quad (3.2)$$

unde :

$$F_k = \sqrt{A_k^2 + B_k^2} \quad (3.3)$$

iar :

$$\varphi_k = \arctg \frac{-B_k}{A_k} \quad (3.4)$$

reprezintă modulul, respectiv faza armonicii de ordinul k .

Semnalele periodice se pot reprezenta folosind modulul F_k și frecvența $\omega_k = \omega_1 \cdot k$, prin funcția spectru Fourier $F(\omega)$. De exemplu, pentru un semnal ce caracterizează un oscilator armonic, reprezentarea grafică este dată în figura 3.1, a, iar pentru un semnal oarecare reprezentarea grafică este dată în figura 3.1, b.

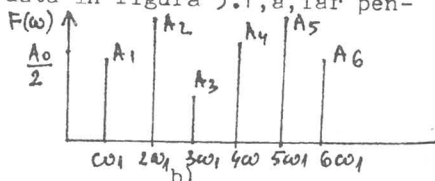
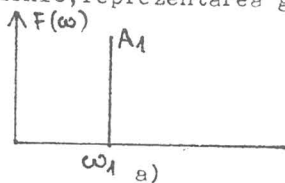


Fig. 3.1

tru un semnal oarecare reprezentarea grafică este dată în figura 3.1, b.

Se observă că funcția spectru este discretă, că semnalele armonice prezintă o singură linie spectrală iar cele periodice oarecare o infinitate de linii spectrale echidistante. Distanța dintre două linii spectrale exprimă finițea spectrului și cantitativ ea este caracterizată prin rezoluția spectrului:

$$\Delta \omega = \omega_{k+1} - \omega_k = (k+1) \cdot \omega_1 - k \cdot \omega_1 = \omega_1 \quad (3.5)$$

adică rezoluția unui spectru produs de un semnal periodic oarecare este dată de frecvența fundamentală.

Formulele de calcul ale coeficienților Fourier sunt:

$$A_k = \frac{1}{\pi} \cdot \int_0^{2\pi} f(t) \cdot \cos kt \cdot dt \quad (3.6)$$

respectiv,

$$B_k = \frac{1}{\pi} \cdot \int_0^{2\pi} f(t) \cdot \sin kt \cdot dt \quad (3.7)$$

unde : $k = 1, 2, \dots$ In plus :

$$A_0 = \frac{1}{2 \cdot \pi} \cdot \int_0^{2\pi} f(t) \cdot dt \quad (3.8)$$

Privitor la modul în care au fost obținuți acești coeficienți precum și alte detalii referitoare la acest capitol se recomandă cartea lui R.D.Stuart -Introducere în analiza Fourier cu aplicații în tehnică.Ed.Tehnică,București,1971.

3.1 Transformata Fourier

Cînd analiza Fourier se aplică unei funcții a cărei perioadă este infinită atunci funcția spectru Fourier $F(\omega)$ este dată de relația :

$$F(\omega) = \int_{-\infty}^{+\infty} f(t) \cdot e^{-i\omega t} \cdot dt \quad (3.9)$$

relație cunoscută și sub numele de transformata Fourier directă.

Această relație arată că dacă se cunoaște funcția semnal $f(t)$ se determină în mod univoc funcția specifică $F(\omega)$ complexă care, la rîndul ei, se poate scrie:

$$F(\omega) = |F(\omega)| \cdot e^{i \cdot \phi(\omega)} \quad (3.10)$$

unde:

$|F(\omega)|$ - reprezintă spectrul de amplitudine,
respectiv $\phi(\omega)$ - reprezintă spectrul de fază

al spectrului Fourier complex $F(\omega)$.

În cadrul aceleiași demonstrații se poate realiza și operația inversă; cunoscând spectrul complex $F(\omega)$ se poate determina funcția semnal $f(t)$:

$$f(t) = \int_{-\infty}^{+\infty} F(\omega) \cdot e^{i\omega t} \cdot d\omega \quad (3.11)$$

relație cunoscută și sub numele de transformata Fourier inversă.

În plus se spune că aceste două funcții, $f(t)$ și $F(\omega)$, constituie o pereche Fourier și drept urmare se notează:

$$f(t) \xrightarrow{F} F(\omega) \quad (3.12)$$

Dacă în locul funcției semnal monodimensională (1D) se folosește o funcție o funcție bidimensională (2D), $f(x,y)$, atunci spectrul Fourier (2D) complex, în mod analog, va fi dat de relația:

$$F(u,v) = \iint_{-\infty}^{+\infty} f(x,y) \cdot e^{-i \cdot (ux + vy)} \cdot dx \cdot dy \quad (3.13)$$

unde u, v reprezintă coordonatele în domeniul spectral.

Transformata Fourier inversă bidimensională corespunzătoare relației (3.13) este:

$$f(x,y) = \iint_{-\infty}^{+\infty} F(u,v) \cdot e^{i \cdot (ux + vy)} \cdot du \cdot dv \quad (3.14)$$

Analog relației (3.10), funcția spectrală $F(u,v)$ se descompune:

$$F(u,v) = |F(u,v)| \cdot e^{i \cdot \phi(u,v)} \quad (3.15)$$

unde :

$|F(u,v)|$ - reprezintă spectrul de amplitudine bidimensional al funcției semnal $f(x,y)$, respectiv:

$\phi(u,v)$ - reprezintă spectrul de fază bidimensional al aceleiași funcții semnal.

3.2 Proprietățile transformatei Fourier 2D, /30/

Pe baza unor calcule elementare diferențiale și integrale se pot deduce următoarele proprietăți ale transformatei Fourier 2D:

$$1) f(ax, by) \xrightarrow{F} \frac{1}{|a \cdot b|} \cdot F\left(\frac{u}{a}, \frac{v}{b}\right) \quad (3.16)$$

$$2) f(x-x', y-y') \xrightarrow{F} F(u,v) \cdot e^{-i(ux'+vy')} \quad (3.17)$$

$$3) f(x,y) \cdot e^{i(ax+by)} \xrightarrow{F} F(u-a, v-b) \quad (3.18)$$

$$4) \frac{\partial f(x,y)}{\partial x} \xrightarrow{F} i.u.F(u,v) \quad (3.19)$$

$$5) \int_{-\infty}^x f(x,y).dx \xrightarrow{F} \frac{1}{i.u} \cdot F(u,v) \quad (3.20)$$

$$6) -i.u.f(x,y) \xrightarrow{F} \frac{\partial F(u,v)}{\partial u} \quad (3.21)$$

$$7) \frac{\partial^2 f}{\partial x^2} + \frac{\partial^2 f}{\partial y^2} \xrightarrow{F} -(u^2 + v^2).F(u,v) \quad (3.22)$$

3.2.1 Teorema convoluției; convoluția reprezintă procesul prin care două funcții semnal $f_1(x,y)$ și $f_2(x,y)$, în decursul propagării lor, se suprapun încît funcția semnal rezultantă are spectrul dat de produsul spectrelor funcțiilor semnal inițiale. În acest caz se spune că cele două funcții semnal convoluiează iar operația de convoluție se notează cu semnul : $*$, deci:

$$f_1(x,y) * f_2(x,y) \xrightarrow{F} F_1(u,v) \cdot F_2(u,v) \quad (3.23)$$

Teorema convoluției se enunță astfel: dacă este dată perechea de funcții semnal:

$$f_1(x,y) * f_2(x,y) \xrightarrow{F} F_1(u,v) \cdot F_2(u,v) \quad (3.24)$$

atunci există și perechea :

$$f_1(x,y) \cdot f_2(x,y) \xrightarrow{F} F_1(u,v) * F_2(u,v) \quad (3.25)$$

Demonstrarea acestei teoreme ca și următoarele teoreme; a lui Parseval și a corelației se pot găsi în lucrarea: Prelucrarea optică a informației, Ed. Academiei, București, 1976, autori un colectiv de la I.F.A. condus de Valentin Vlad.

3.2.2 Teorema corelației; corelația reprezintă procesul prin care două funcții semnal $f_1(x,y)$ și $f_2(x,y)$ se suprapun încît funcția semnal rezultantă are spectrul Fourier dat de produsul dintre $F_1(u,v)$ și $F_2^*(u,v)$, unde $F_2^*(u,v)$ reprezintă complex conjugata lui $F_2(u,v)$. În acest caz se spune că între cele două funcții s-a stabilit operația de corelație, notată cu simbolul \otimes , deci:

$$f_1(x,y) \otimes f_2(x,y) \xrightarrow{F} F_1(u,v) \cdot F_2^*(u,v) \quad (3.26)$$

Teorema corelației se enunță astfel; dacă :

$$f_1(x,y) \otimes f_2(x,y) \xrightarrow{F} F_1(u,v) \cdot F_2^*(u,v) \quad (3.27)$$

atunci și :

$$\iint_{-\infty}^{+\infty} f_1(x,y) \cdot f_2(x+a,y+b) \cdot da \cdot db \xrightarrow{F} F_1(u,v) \cdot F_2^*(u,v) \quad (3.28)$$

Un caz particular îl reprezintă autocorelația, adică corelația unei funcții cu ea însăși:

$$f(x,y) \otimes f(x,y) \xrightarrow{F} |F(u,v)|^2 \quad (3.29)$$

Referitor la această ultimă operație o remarcă care se impune este faptul că:

$$\iint |F(u,v)|^2 \cdot du \cdot dv = W \quad (3.30)$$

reprezintă energia totală transportată de semnal, de aici posibilitatea de a estima pe această cale această energie.

3.2.3 Formula lui Parseval se demonstrează că două funcții semnal satisfac următoarea relație:

$$\iint_{-\infty}^{+\infty} f_1(x,y) \cdot f_2(x,y) \cdot dx \cdot dy = \frac{1}{4\pi^2} \cdot \iint_{-\infty}^{+\infty} F_1(-u,-v) \cdot F_2(u,v) \cdot du \cdot dv \quad (3.31)$$

de unde, în caz particular:

$$\iint_{-\infty}^{+\infty} |f(x,y)|^2 \cdot dx \cdot dy = \frac{1}{4\pi^2} \cdot \iint_{-\infty}^{+\infty} |F(u,v)|^2 \cdot du \cdot dv \quad (3.32)$$

adică posibilitatea de a determina energia transportată de un semnal este facilitată atât de expresia matematică a funcției semnal cât și de cea a funcției spectru corespunzătoare funcției semnal respective.

3.3 Transformata Fresnel

Sunt situații în care o funcție semnal își modifică expresia matematică printr-un factor de fază atunci când semnalul respectiv, în propagarea lui, este afectat de elemente perturbatoare; de exemplu apariția factorului pătratic de fază:

$$e^{i \frac{x^2+y^2}{2z^2}} \quad (3.33)$$

în fenomenul de difracție Fresnel. În acest caz funcția semnal devine :

$$f_z(x,y) = f(x,y) \cdot e^{i \frac{x^2+y^2}{2z^2}} \quad (3.34)$$

iar transformata Fourier capătă forma :

$$F_z(u,v) = \iint f(x,y) \cdot e^{i \frac{x^2+y^2}{2z^2}} \cdot dx \cdot dy \quad (3.35)$$

relație cunoscută sub numele de transformata Fresnel a funcției semnal $f(x,y)$ la distanța z de elementul difractant.

Se observă că putem scrie:

$$F_z(u,v) \stackrel{F}{=} e^{i \frac{x^2+y^2}{2z^2}} \cdot f(x,y) \quad (3.36)$$

adică transformata Fresnel este transformata Fourier a funcției semnal afectată de factorul pătratic de fază.

La distanțe mari de observare, comparabile cu dimensiunea elementului difractant, factorul de fază devine neglijabil și atunci:

$$F_z(u,v) = F(u,v)$$

Aceste ultime precizări devin eficiente îndeosebi în operațiile de simulare a fenomenelor de difracție Fresnel și Fraunhofer pe calculator, la realizarea algoritmilor de programare care să permită programe numerice care se derulează pe calculator în timpi cât mai mici

Cap IV STUDIUL OPERATIONAL AL DIFRACTIEI

4.1 Difracția luminii

Acest fenomen are un rol deosebit în domeniul fizicii și tehnicii ce se ocupă cu studiul propagării undelor.

Studiul operațional al difracției contribuie la o înțelegere completă a problemelor de prelucrare optică a informației, putându-se face o apreciere a limitărilor impuse de difracție sistemelor optice.

Dacă fenomenul de difracție este observat în următoarele ipoteze:

- dimensiunile obiectului difractant sunt mari în comparație cu lungimea de undă a radiației folosite;
 - câmpul luminos difractat este observat la o distanță suficient de mare de obiectul difractant,
- atunci tratarea difracției se poate dezvolta numai scalar considerând lumina un fenomen ondulatoriu, /30/.

4.2 Ecuatia Helmholtz

O funcție semnal luminosă monocromatică într-un punct oarecare $\vec{r}(x, y, z)$, la un moment dat, poate fi descrisă explicit prin funcția scalară $f(\vec{r}, t)$:

$$f(\vec{r}, t) = f_0(\vec{r}) \cdot e^{i(\omega \cdot t - \varphi(\vec{r}))} = f(\vec{r}) \cdot e^{i\omega \cdot t} \quad (4.1)$$

unde:

$$f(\vec{r}) = f_0(\vec{r}) \cdot e^{-i\varphi(\vec{r})} \quad (4.2)$$

reprezintă fazorul luminos, iar f_0 și φ amplitudinea, respectiv faza undei, în timp ce ω reprezintă pulsația optică.

Studiul difracției este scalar deoarece se reține în calcule numai componenta câmp electric, \vec{E} , a undei electromagnetice difractate. Tratarea vectorială a propagării undelor electromagnetice ține cont de ambele componente, \vec{E} și \vec{B} , legate între ele prin ecuațiile lui Maxwell.

Funcția semnal $f(\vec{r}, t)$ satisface ecuație de propagare a undelor:

$$\Delta f - \frac{1}{c^2} \cdot \frac{\partial^2 f}{\partial t^2} = 0 \quad (4.3)$$

însă numai $f(\vec{r})$ servește la descrierea propagării undei luminoase deoarece dependența temporală:

$$e^{i\omega t}$$

este apriori cunoscută. Atunci, înlocuind pe (4.1) în (4.3) se obține ecuația :

$$(\Delta + k^2) f = 0 \quad (4.4)$$

cunoscută sub numele de ecuația atemporală Helmholtz, unde :

$$k = \frac{\omega}{c} \quad (4.5)$$

reprezintă numărul de undă.

Pentru a calcula pe $f(\vec{r})$ într-un punct oarecare din spațiu să aplicăm, pentru început, teorema lui Green al cărei enunț este: fie două funcții complexe oarecare de poziție, $f(\vec{r})$ și $g(\vec{r})$ și fie S suprafața ce închide volumul V . Dacă $f(r)$ și $g(r)$ precum și derivatele lor parțiale de ordinul I și II sunt bine definite și continue în V și pe S , atunci

$$\int_V (f \cdot \Delta g - g \cdot \Delta f) \cdot dv = \int_S (f \cdot \frac{\partial g}{\partial n} - g \cdot \frac{\partial f}{\partial n}) \cdot ds \quad (4.6)$$

unde $\frac{\partial}{\partial n}$ reprezintă derivata parțială în raport cu normala exterioară a suprafeței S .

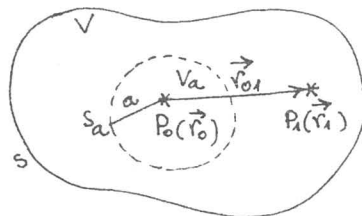
Această teoremă reprezintă baza teoriei scalare a difracției. Problema care se pune în continuare, pentru a determina funcția semnal $f(\vec{r})$, este alegerea funcției g , numită funcție Green.

Prima abordare în acest sens a fost făcută de Kirchoff. Ea poate aproxima foarte bine fenomenul fizic cu toate că din punct de vedere matematic întreaga teorie făcută de Kirchoff era inconsistentă. Ulterior, câțiva ani mai târziu, Sommerfeld a pus pe un plan matematic riguros teoria lui Kirchoff / /.

4.3 Teorema integrală Helmholtz - Kirchoff

Kirchoff prezintă problema difracției în următorul mod: să se determine soluția ecuației undelor (omogene) într-un punct arbitrar în interiorul unei suprafețe închise. Problema fusese

anterior abordată de H. von Helmholtz în acustică.



Fie $P_0(\vec{r}_0)$ punctul de observație și S suprafața închisă ce înconjură acest punct, figura 4.1.

Kirchoff a ales funcția Green g sub forma unei unde sferice

Fig. 4.1

de amplitudine unitate expandată în jurul punctului $P_0(\vec{r}_0)$, adică:

$$g(r_{01}) = \frac{1}{r_{01}} \cdot e^{i \cdot k \cdot r_{01}} \quad (4.7)$$

unde r_{01} este modulul vectorului ce pleacă din $P_0(\vec{r}_0)$ și ajunge într-un alt punct $P_1(\vec{r}_1)$ care este un punct arbitrar în volumul V .

Funcția Green astfel definită se observă că are o discontinuitate în punctul pentru care $\vec{r}_1 = \vec{r}_0$ adică $r_{01} = 0$, ceea ce face nefolositoare această funcție în teorema lui Green.

Kirchoff a eliminat această discontinuitate construind în jurul lui $P_0(\vec{r}_0)$ o sferă de rază a și suprafață S_a . Teorema lui Green, în această situație, se consideră în volumul :

$$V' = V - V_a$$

de suprafață : $S' = S + S_a$

Ulterior luînd pe a oricît de mic, ca un proces la limită, se ajunge la posibilitatea aplicării teoremei Green prin oclicarea discontinuității funcției Green.

Se observă că și funcția Green satisface ecuația atemporală Helmholtz:

$$(\Delta + k^2) g = 0 \quad (4.8)$$

Tinînd cont de cele două ecuații atemporale Helmholtz, (4.4) și (4.8), se observă că:

$$\int_{V'} (f \cdot \Delta g - g \cdot \Delta f) \cdot dv = 0 \quad (4.9)$$

Atunci conform teoremei Green și:

$$\int_{S'} \left(f \cdot \frac{\partial g}{\partial n} - g \cdot \frac{\partial f}{\partial n} \right) \cdot ds = 0 \quad (4.10)$$

sau:

$$\begin{aligned} & - \int_{S_a} \left(f \cdot \frac{\partial g}{\partial n} - g \cdot \frac{\partial f}{\partial n} \right) \cdot ds = \\ & = \int_S \left(f \cdot \frac{\partial g}{\partial n} - g \cdot \frac{\partial f}{\partial n} \right) \cdot ds \end{aligned} \quad (4.11)$$

Dacă $P_1(\vec{r}_1)$ se află pe S' , atunci :

$$\frac{\partial \mathcal{E}(r_{01})}{\partial n} = \frac{\partial \mathcal{E}}{\partial r_{01}} \cdot \frac{\partial r_{01}}{\partial n} = (i.k - \frac{1}{r_{01}}) \cdot \frac{e^{ikr_{01}}}{r_{01}} \cdot \cos(\vec{n}, \vec{r}_{01}) \quad (4.12)$$

iar în cazul particular când $P_1(\vec{r}_1)$ se află pe S_a (de rază a) atunci:

$$\mathcal{E}(r_{01})_{r_{01}=a} = \frac{e^{ika}}{a} = \mathcal{E}(a) ; \quad \frac{\partial \mathcal{E}}{\partial n} = (\frac{1}{a} - ik) \cdot \mathcal{E}(a) \quad (4.13)$$

unde $\cos(\vec{n}, \vec{r}_{01}) = -1$. Atunci găsim :

$$\lim_{\epsilon \rightarrow 0} \int_{S_a} (f \cdot \frac{\partial \mathcal{E}}{\partial n} - \mathcal{E} \cdot \frac{\partial f}{\partial n}) \cdot ds = 4 \cdot \pi \cdot f(\vec{r}_0) \quad (4.14)$$

și relația (4.11) devine :

$$f(\vec{r}_0) = \frac{1}{4 \cdot \pi} \cdot \int_S \left[\frac{\partial f}{\partial n} \cdot \frac{e^{ikr_{01}}}{r_{01}} - f \cdot \frac{\partial}{\partial n} \left(\frac{e^{ikr_{01}}}{r_{01}} \right) \right] \cdot ds \quad (4.15)$$

care este cunoscută sub numele de teorema integrală Helmholtz-Kirchoff. Ea prezintă un instrument puternic în dezvoltarea teoriei difracției.

4.4 Formula de difracție Fresnel - Kirchoff

Să aplicăm această teoremă într-un caz concret: să presupunem că razele luminoase incid pe o deschidere (apertură) Σ situată într-un plan opac infinit.

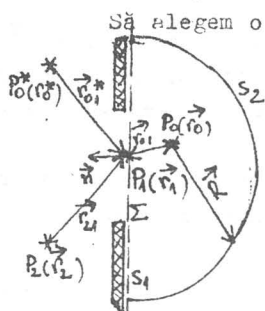


Fig. 4.2

Să alegem o suprafață S_2 sub forma unei calote sferice centrată în $P_0(\vec{r}_0)$, raza calotei fiind R . Ne propunem să calculăm câmpul luminos difractat de Σ într-un punct de pe S_2 . Mai considerăm în imediata vecinătate a aperturii și o suprafață S_1 plană, figura 4.2.

În acest caz integralele date de relația (4.15) se calculează pe suprafațe închise $S_1 + S_2$, unde funcția g pe suprafața S_2 capătă expresia :

$$\mathcal{E} = \frac{e^{ikR}}{R} \quad (4.16)$$

iar :

$$\frac{\partial E}{\partial n} = (ik - \frac{1}{R}) \cdot g \approx ikg \quad (4.17)$$

deoarece, pentru R suficient de mare : $\frac{1}{R} \ll k$.

Numai pe suprafața S_2 , avem :

$$\int_{S_2} (g \cdot \frac{\partial f}{\partial n} - f \cdot \frac{\partial g}{\partial n}) \cdot ds = \int_{\Omega_2} g \cdot (\frac{\partial f}{\partial n} - ikf) \cdot R^2 \cdot d\Omega \quad (4.18)$$

unde am ținut cont și de teorema lui Gauss-Ostrogradski, mărimea Ω_2 fiind unghiul solid sub care se vede suprafața S_2 când este privită din $P_0(\vec{r}_0)$, iar $d\Omega$ este elementul de unghi solid din acest spațiu.

Cum $g \sim \frac{1}{R}$, pentru ca integrale să tindă la zero pentru $R \rightarrow \infty$ se impune condiția de radiație Sommerfeld :

$$\lim_{R \rightarrow \infty} R \cdot (\frac{\partial f}{\partial n} - ikf) = 0 \quad (4.19)$$

Anularea acestei integrale se datorește faptului că dorim o contribuție însemnată în $P_0(\vec{r}_0)$ provenind din dreptul aperturii Σ (sau S_1), fizic ușor de intuit.

În această situație expresia lui $f(\vec{r}_0)$, dată de relația (4.15), se calculează numai pe suprafața S_1 :

$$f(\vec{r}_0) = \frac{1}{4\pi} \cdot \int_{S_1} (g \cdot \frac{\partial f}{\partial n} - f \cdot \frac{\partial g}{\partial n}) \cdot ds \quad (4.20)$$

Această relație sugerează faptul că în punctul $P_0(\vec{r}_0)$ câmpul luminos provine de la punctele localizate pe S_1 în dreptul aperturii Σ . Drept urmare pot fi presupuse următoarele ipoteze :

- în dreptul aperturii Σ distribuția câmpului, f și derivata sa normală, $\frac{\partial f}{\partial n}$ sunt aceleași ca și în absența planului opac de deschidere ;

- pe suprafața S_1 ce se află în umbra geometrică a planului este satisfăcută relația : $f \equiv \frac{\partial f}{\partial n} \equiv 0$.

Aceste două condiții, condițiile la limită Kirchoff, idealizează situația fizică reală deoarece prezența unui obstacol în drumul razelor va avea un efect perturbator de o anumită intensitate asupra câmpului f iar umbra în imediata vecinătate a aper

turii niciodată nu va fi bine definită. Cu toate acestea eroarea pe care o facem, considerînd că aceste două ipoteze sunt valabile, este mică dacă nu uităm că lucrăm sub cele două condiții impuse la început în prezentarea fenomenului de difracție. În acest sens subzistă următoarea relație :

$$k \gg \frac{1}{r_{01}} \quad (4.21)$$

Atunci putem face următoarea aproximație:

$$\frac{\partial g}{\partial n} = \cos(\vec{n}, \vec{r}_{01}) \cdot \left(ik - \frac{1}{r_{01}} \right) \cdot g(r_{01}) \simeq ik \cdot \cos(\vec{n}, \vec{r}_{01}) \cdot g(r_{01}) \quad (4.22)$$

Deci :

$$f(\vec{r}_0) = \frac{1}{4 \cdot \pi} \cdot \int_{\Sigma} \frac{e^{ikr_{01}}}{r_{01}} \cdot \left[\frac{\partial f}{\partial n} - ikf \cdot \cos(\vec{n}, \vec{r}_{01}) \right] \cdot ds \quad (4.23)$$

Acest rezultat este cunoscut sub numele de formule de difracție Fresnel - Kirchoff.

Presupunînd că apertura este iluminată cu o singură sursă sferică plasată într-un punct $P_2(\vec{r}_2)$, deci la o distanță r_{21} de $P_1(\vec{r}_1)$ care se află pe S_1 , se poate scrie imediat:

$$f(\vec{r}_0) = \frac{A}{i \cdot \lambda} \cdot \int_{\Sigma} \frac{e^{ik \cdot (r_{21} + r_{01})}}{r_{21} \cdot r_{01}} \cdot \frac{\cos(\vec{n}, \vec{r}_{21}) - \cos(\vec{n}, \vec{r}_{01})}{2} \cdot ds \quad (4.24)$$

unde am considerat că expresia unei sfere ajunsă în $P_1(\vec{r}_1)$ din $P_2(\vec{r}_2)$ este de forma :

$$f(r_{21}) = A \cdot \frac{e^{ikr_{21}}}{r_{21}} \quad (4.25)$$

Se observă că ecuația (4.24) are proprietatea de simetrie față de punctele $P_0(\vec{r}_0)$ și $P_2(\vec{r}_2)$, în sensul că plasînd sursa în locul punctului de observație $P_0(\vec{r}_0)$, vom obține același efect în $P_2(\vec{r}_2)$. În plus, această formulă rescrisă în următorul mod:

$$f(\vec{r}_0) = \int_{\Sigma} f'(r_{21}) \cdot \frac{e^{ikr_{01}}}{r_{01}} \cdot ds \quad (4.26)$$

unde :

$$f'(r_{21}) = \frac{1}{i \cdot \lambda} \cdot A \cdot \frac{e^{ikr_{21}}}{r_{21}} \cdot \frac{\cos(\vec{n}, \vec{r}_{21}) - \cos(\vec{n}, \vec{r}_{01})}{2} \quad (4.27)$$

Ea sugerează următorul fapt: câmpul în $P_0(\vec{r}_0)$ provine

dintr-o infinitate de surse fictive secundare (punctiforme) localizate în apertură. Amplitudinea surselor f' este proporțională cu amplitudinea unei incidente în $P_1(\vec{r}_1)$:

$$A. \frac{e^{ikr_{21}}}{r_{21}}$$

și diferă prin :

- factorul λ^{-1} ,
- factorul de oblicitate :

$$\frac{\cos(\vec{n}, \vec{r}_{21}) - \cos(\vec{n}, \vec{r}_{01})}{2}$$

cuprins între 0 și 1 care dă o indicație asupra anizotropiei fenomenului,

- defazarea unei incidente cu 90° ($\frac{1}{2}$).

4.5 Formula de difracție Rayleigh - Sommerfeld

Sommerfeld are meritul de a fi eliminat ipoteza lui Kirchhoff, pre puternică, aceea ca f și $\frac{\partial f}{\partial n}$ să se anuleze simultan în umbra geometrică a ecranului.

El a găsit o altă funcție Green, generată de o sursă localizată în $P_0(\vec{r}_0)$, dar și de o a doua localizată în $P_0^*(\vec{r}_0^*)$, care este imaginea lui $P_0(\vec{r}_0)$, de aceeași lungime de undă și defazată cu 180° față de prima :

$$g_- = \frac{e^{ik_{01}}}{r_{01}} - \frac{e^{ik_{01}^*}}{r_{01}^*} \quad (4.28)$$

Dacă cele două surse punctuale oscilează în fază atunci funcția lui Green devine:

$$g_+ = \frac{e^{ik_{01}}}{r_{01}} + \frac{e^{ik_{01}^*}}{r_{01}^*} \quad (4.29)$$

Dacă punctul $P_1(\vec{r}_1)$ aparține suprafeței S_1 , atunci : $r_{01} = r_{01}^*$ și :

$$g_- = 0 ; \quad \frac{\partial g_-}{\partial n} = 2 \cdot \cos(\vec{n}, \vec{r}_{01}) \cdot \left(ik - \frac{1}{r_{01}} \right) \cdot \frac{e^{ikr_{01}}}{r_{01}} \approx \approx 2 \cdot \cos(\vec{n}, \vec{r}_{01}) \cdot ik \cdot \frac{e^{ikr_{01}}}{r_{01}} \quad (4.30)$$

respectiv :

$$g_+ = 2 \cdot \frac{e^{ikr_{01}}}{r_{01}} ; \quad \frac{\partial g_+}{\partial n} = 0 \quad (4.31)$$

Deci în umbra geometrică a planului nu este impusă simultaneitatea anulării atât a funcției cât și a derivatei ei.

Reluând problema determinării lui $f(\vec{r}_0)$:

$$f(\vec{r}_0) = \frac{1}{4 \cdot \pi} \cdot \int_{\Sigma} (g_- \cdot \frac{\partial f}{\partial n} - f \cdot \frac{\partial g_-}{\partial n}) \cdot ds \quad (4.32)$$

se obține:

$$f(\vec{r}_0) = \frac{1}{i \cdot \lambda} \cdot \int_{\Sigma} f \cdot \frac{e^{ikr_{01}}}{r_{01}} \cdot \cos(\vec{n}, \vec{r}_{01}) \cdot ds \quad (4.33)$$

ecuație cunoscută sub numele de formula de difracție Rayleigh-Sommerfeld

Considerînd că iarăși apertura este iluminată de o sursă sferică plasată în $P_2(\vec{r}_2)$, atunci :

$$f(\vec{r}_{21}) = A \cdot \frac{e^{ikr_{21}}}{r_{21}}$$

și :

$$f(\vec{r}_0) = \frac{A}{i \cdot \lambda} \cdot \int_{\Sigma} \frac{e^{ik(r_{21} + r_{01})}}{r_{21} \cdot r_{01}} \cdot \cos(\vec{n}, \vec{r}_{01}) \cdot ds \quad (4.34)$$

Formula de difracție Rayleigh-Sommerfeld diferă de formula de difracție Fresnel-Kirchoff prin factorul de oblicitate. În plus această nouă relație poate fi privită și ca o integrală de superpoziție de forma :

$$f(\vec{r}_0) = \int_{\Sigma} h(\vec{r}_0, \vec{r}_1) \cdot f(\vec{r}_1) \cdot ds \quad (4.35)$$

unde funcția ce acționează asupra lui $f(\vec{r}_1)$, numită funcție pondere $h(\vec{r}_0, \vec{r}_1)$, este :

$$h(\vec{r}_0, \vec{r}_1) = \frac{1}{i \cdot \lambda} \cdot \frac{e^{ikr_{01}}}{r_{01}} \cdot \cos(\vec{n}, \vec{r}_{01}) \quad (4.36)$$

Se observă că fenomenul de difracție are proprietăți de liniaritate în sensul că iluminarea aperturii Σ poate fi considerată ca provenind dintr-o corelație de surse punctuale ce pot fi tratate separat, deoarece ecuația de undă este liniară.

4.6 Difracția luminii în aproximațiile Fresnel și Fraunhofer.

Această teorie a difracției pentru considerații practice poate fi prezentată folosind expresii matematice simplificate.

Să presupunem o apertură Σ aflată într-un plan (x_1, y_1) , iar observarea se face în planul (x_0, y_0) paralel cu (x_1, y_1) și aflat la distanța z de acesta, figura 4.3.

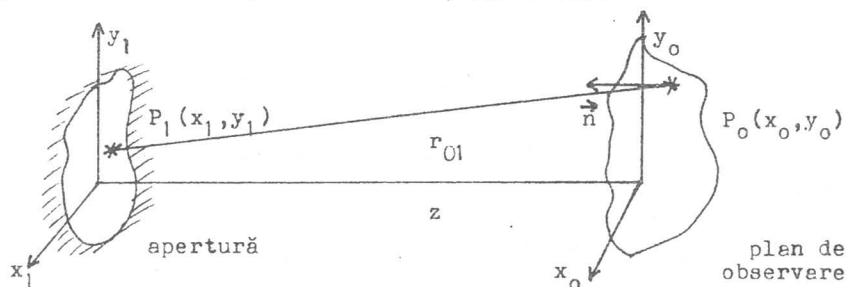


Fig. 4.3

Expresia câmpului în planul (x_0, y_0) este :

$$f(x_0, y_0) = \int_{\Sigma} h(x_0, y_0, x_1, y_1) \cdot f(x_1, y_1) \cdot dx_1 \cdot dy_1 \quad (4.37)$$

unde :

$$h(x_0, y_0, x_1, y_1) = \frac{1}{i \cdot \lambda} \cdot \frac{e^{i k r_{01}}}{r_{01}} \cdot \cos(\vec{n}, \vec{r}_{01}) \quad (4.38)$$

Pentru o apertură și un plan de observare ale căror dimensiuni sunt mult mai mici decât distanța z , se poate scrie :

$$\cos(\vec{n}, \vec{r}_{01}) \approx 1 \quad (4.39)$$

cu o eroare de aproximativ 5 % dacă unghiul nu depășește 18° , eroare satisfăcătoare; în acest caz se poate observa că funcția pondere devine :

$$h(x_0, y_0, x_1, y_1) = \frac{e^{i k r_{01}}}{i \cdot \lambda \cdot z} \quad (4.40)$$

deoarece : $r_{01} \approx z$, dar numai la numitorul funcției pondere; aproximația nu poate fi făcută și la exponent deoarece variații mici ale exponentului afectează puternic faza. Pentru aceasta să

observăm că :

$$r_{01} = \sqrt{z^2 + (x_0 - x_1)^2 + (y_0 - y_1)^2} = \quad (4.41)$$

$$= z \cdot \sqrt{1 + \left(\frac{x_0 - x_1}{z}\right)^2 + \left(\frac{y_0 - y_1}{z}\right)^2}$$

Deoarece z este mare, putem dezvolta în serie pe r_{01} și reținem primii doi termeni :

$$r_{01} \approx z \cdot \left[1 + \frac{1}{2} \cdot \left(\frac{x_0 - x_1}{z}\right)^2 + \frac{1}{2} \cdot \left(\frac{y_0 - y_1}{z}\right)^2 \right] \quad (4.42)$$

Această relație reprezintă aproximația Fresnel. În acest caz funcția pondere devine:

$$h = \frac{e^{ikz}}{i \cdot \lambda \cdot z} \cdot e^{i \frac{k}{2z} \cdot [(x_0 - x_1)^2 + (y_0 - y_1)^2]} \quad (4.43)$$

ier expresia câmpului :

$$f(x_0, y_0) = \frac{e^{ikz}}{i \cdot \lambda \cdot z} \cdot \int_{\Sigma} f(x_1, y_1) \cdot e^{i \frac{k}{2z} \cdot [(x_0 - x_1)^2 + (y_0 - y_1)^2]} dx_1, dy_1 \quad (4.44)$$

sau:

$$f(x_0, y_0) = \frac{e^{ikz}}{i \cdot \lambda \cdot z} \cdot e^{i \frac{k}{2z} \cdot (x_0^2 + y_0^2)} \cdot \int_{\Sigma} f(x_1, y_1) \cdot e^{i \frac{k}{2z} \cdot (x_1^2 + y_1^2)} \cdot e^{-i \frac{k}{z} \cdot (x_0 x_1 + y_0 y_1)} dx_1, dy_1 \quad (4.45)$$

care poate fi privită ca o transformată Fourier a lui:

$$f(x_1, y_1) \cdot e^{i \frac{k}{2z} \cdot (x_1^2 + y_1^2)} \quad (4.46)$$

evaluată la frecvențele :

$$u = \frac{x_0}{\lambda \cdot z} \quad ; \quad v = \frac{y_0}{\lambda \cdot z} \quad (4.47)$$

Termenul din fața integralei este multiplicativ, independent de coordonatele planului (x_1, y_1) . Adică relația (4.45) reprezintă de fapt transformata Fresnel a lui $f(x_1, y_1)$, afectată de factorul pătratic de fază :

$$e^{i \frac{k}{2z} \cdot (x_1^2 + y_1^2)} \quad (4.48)$$

Dacă se impune în plus ca :

$$z \gg \left. \frac{(x_1^2 + y_1^2)}{2} \right|_{\max} \quad (4.49)$$

condiție cunoscută sub numele de aproximația Fraunhofer, atunci termenul pătratic de sub integrală devine aproximativ egal cu unitatea, drept urmare :

$$f(x_0, y_0) = \frac{e^{ikz}}{i \cdot \lambda \cdot z} \cdot e^{i \frac{k}{2z} \cdot (x_0^2 + y_0^2)} \cdot \int_{-\infty}^{+\infty} f(x_1, y_1) \cdot e^{-i \frac{2\pi}{\lambda \cdot z} \cdot (x_0 x_1 + y_0 y_1)} dx_1 \cdot dy_1 \quad (4.50)$$

adică distribuția câmpului luminos în regiunea de difracție Fraunhofer, care aproximează transformata Fourier.

Aproximația Fraunhofer devine pentru frecvențele optice destul de severă; de exemplu pentru $\lambda = 6 \cdot 10^{-7}$ m, lărgimea aperturii $\sim 2,5$ cm, aproximația Fraunhofer devine realizabilă pentru $z \gg 1600$ m ceea ce pentru sistemele optice convenționale reprezintă o condiție de nerealizat decât nu ar exista posibilitatea folosirii unei lentile convergente pentru a reduce această distanță.

4.7 Transformata Fourier în optică, /12, 16, 30/

Folosind o lentilă convergentă, distribuția câmpului luminos în planul focal imagine al unui obiect difractant plasat în fața lentilei este dată de formula de difracție Fresnel în care $z = f'$, unde f' reprezintă distanța focală a lentilei:

$$f(x_{f'}, y_{f'}) = \frac{e^{i \frac{k}{2f'} \cdot (x_{f'}^2 + y_{f'}^2)}}{i \cdot \lambda \cdot f'} \cdot \int_{-\infty}^{+\infty} f(x, y) \cdot e^{i \frac{k}{2f'} \cdot (x^2 + y^2)} \cdot e^{-i \frac{2\pi}{\lambda f'} \cdot (xx_{f'} + yy_{f'})} dx \cdot dy \quad (4.51)$$

unde coordonatele x, y sunt coordonatele planului în care este plasat obiectul difractant iluminat de un fascicul paralel monocromatic și coerent cu lungimea de undă λ , iar coordonatele $x_{f'}, y_{f'}$ sunt coordonatele planului focal imagine unde se înregistrează distribuția câmpului luminos.

Dacă obiectul este suficient de mic față de deschiderea lentilei atunci termenul pătratic de sub integrală poate fi neglijat și atunci obținem expresia câmpului difractant dată de

formula de difracție Fraunhofer, adică transformata Fourier a funcției $f(x, y)$ evaluată la frecvențele $u = x_f / \lambda \cdot f'$; $v = y_f / \lambda \cdot f'$:

$$f(x_f, y_f) = \frac{e^{i \frac{k}{2f'} \cdot (x_f^2 + y_f^2)}}{i \cdot \lambda \cdot f'} \cdot \int_{-\infty}^{+\infty} f(x, y) \cdot e^{-i \frac{2\pi}{\lambda f'} \cdot (xx_f + yy_f)} \cdot dx \cdot dy \quad (4.52)$$

Aceste două forme ale formulărilor de difracție Fresnel, respectiv Fraunhofer sunt valabile în cazul în care obiectul difractant este plasat în fața lentilei în imediata ei vecinătate. Inșă, dacă acesta se află poziționat la o distanță d în fața lentilei atunci termenul pătratic de fază din fața celor două integrale devine:

$$e^{i \frac{k}{2f'} \cdot (1 - \frac{d}{f'}) \cdot (x_f^2 + y_f^2)} \quad (4.53)$$

În cazul în care $d = f'$, adică obiectul difractant se plasează în planul focal obiect al lentilei, atunci termenul pătratic de fază devine egal cu unitatea obținându-se transformata Fourier exactă a lui $f(x, y)$ evaluată la aceleași frecvențe:

$$f(x_f, y_f) = \int_{-\infty}^{+\infty} f(x, y) \cdot e^{-i \frac{2\pi}{\lambda f'} \cdot (xx_f + yy_f)} \cdot dx \cdot dy \quad (4.54)$$

Afectarea cîmpului luminos de către dimensiunea finită a lentilei, cunoscută sub numele de efect de vigneta poate fi minimă dacă obiectul este plasat aproape de lentilă sau dacă deschiderea lentilei este mult mai mare decât extinderea acestuia.

Cap.V BAZELE HOLOGRAFIEI

5.1 Conceptul de holografie

Deși descoperită cu aproape un secol în urmă și în ciuda rafinamentelor tehnicilor fotografice și a descoperirilor de noi materiale fotosensibile,progresele fotografiei sunt încă mici în comparație cu cele ale noii metode-holografia-care,descoperită abia în jurul anului 1949,a căpătat o dezvoltare de-a dreptul senzațională cu multiple implicații în diversele aplicații științifice și tehnice.

Preocupat de îmbunătățirea rezoluției microscopului electronic,în anul 1949 Dennis Gabor propune o nouă metodă de formare a imaginilor optice în două etape :

- înregistrarea frontului de undă provenit de la obiectul studiat,

- reconstituirea sa ulterioară cu toate caracteristicile ce-i aparțin-amplitudine și fază-noua metodă fiind numită, din acest motiv,holografie,/7, 9, 14, 23, 29, 30/.

Gabor obține această nouă metodă pornind de la ideea că faza undei difractate de obiect poate fi determinată prin comparație cu faza unei unde de referință.

Adăugînd astfel undei provenite de la obiect o undă puternică și coerentă cu prima se obține un cîmp.de interferență care constituie ceea ce se numește holograma obiectului studiat ce poate fi înregistrată într-un mediu convenabil(fotografic).

Reconstituirea undei obiect se face prin iluminarea hologramei cu o undă coerentă cu cea folosită la înregistrare, chiar identică cu aceasta.

În primele experiențe-așa cum au fost realizate de Gabor-cele două unde erau constituite ca părți ale aceluiaș fascicul;o parte se difracta pe obiectul difractant,constituind fasciculul obiect,iar cealaltă parte din fasciculul incident constituia fondul coerent nediffractat numit și fascicul de referință, ambele fascicule propagîndu-se pe aceeași direcție și în același sens,metoda astfel obținută fiind cunoscută sub numele de metoda holografică on - axis,figura 5.1:

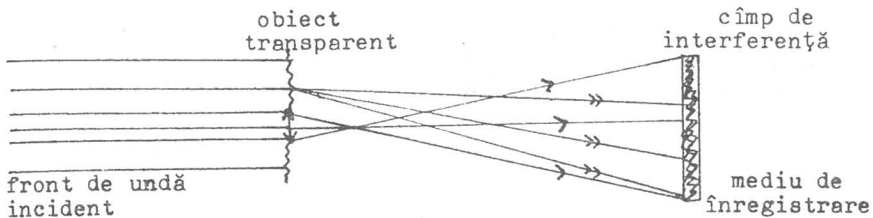


Fig. 5.1

Această metodă, simplă și elegantă din punct de vedere teoretic, a întâmpinat dificultăți experimentale mari la aceea vreme, odată cu apariția lipsei unor surse de radiații coerente, dar mai ales suprafețelor imaginilor obținute în aceeași direcție, figura 5.2, la reconstituire, ceea ce a făcut ca metoda să rămână în umbră timp de peste un deceniu.

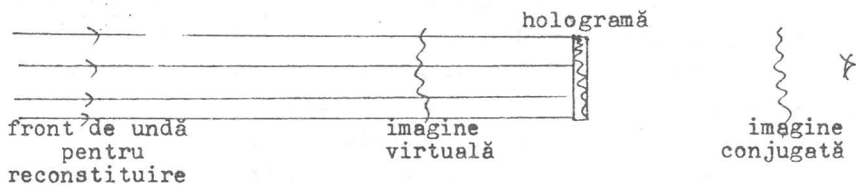


Fig. 5.2

După descoperirea laserului, sursă de radiații coerente și intensitate ridicată, E.N. Leith și J. Upatnieks, în 1962, au inițiat holografia off-axis, figura 5.3, care elimină suprapunerea

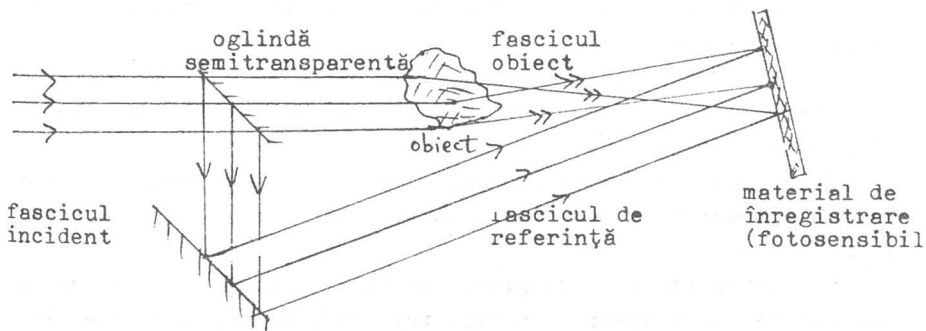


Fig. 5.3

imaginilor prin înclinarea fascicului de referință față de fasciculul obiect. La reconstituire, figura 5.4, fasciculul folosit plasat în aceeași poziție ca cel de referință permite obținerea imaginilor simetric față de hologramă, /19,20/.

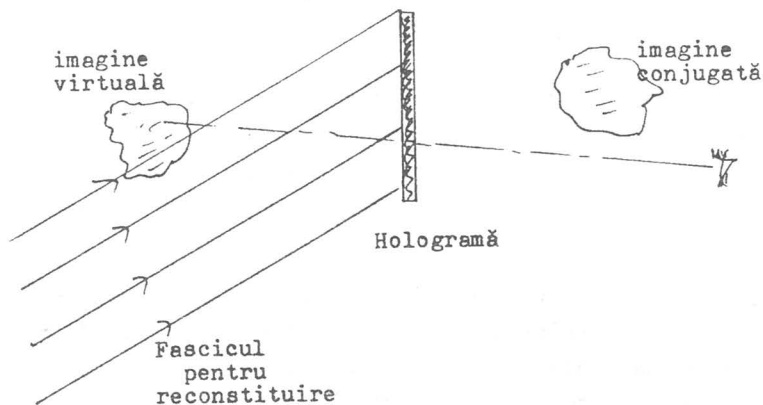


Fig. 5.4

Tot ei au introdus conceptul de holografie difuză și au demonstrat posibilitatea obținerii hologramelor color. În același timp Denisiuk pune bazele holografiei în volum în special prin orientarea undei de referință din sens opus undei obiect ceea ce permite citirea hologramei prin reflexie.

Ulterior a fost inițiată holografia Fourier de către G. W. Stroke apoi holografia rapidă care utilizează laserii cu rubin care funcționează în impulsuri gigantice.

5.2 Ecuția de bază a holografiei plane

După cum am arătat, procesul holografic constă din următoarele două etape :

- înregistrarea hologramei constituită din tabloul de interferență format prin combinarea undei difractată de obiect cu o undă de referință;

- reconstituirea frontului de undă obiect prin iluminarea hologramei cu o undă având calitățile undelor utilizate la înregistrare.

Înregistrarea hologramei se face în anumite medii de înregistrare ca de exemplu emulsii fotografice. Dacă distanța dintre franjele hologramei este mai mare decât grosimea materialului fotosensibil vorbim de holografia plană, iar dacă această distanță este mai mică avem de-a face cu holografia în volum.

Să considerăm primul caz cel al holografiei plane și să presupunem că lumina provine de la un laser cu funcționare con-

tinuă,obiectul și întreaga instalație fiind imobile.

Pentru deducerea ecuației de bază a holografiei vom scrie distribuția de amplitudine și fază(complexă)a unei obiect în planul hologramei sub forma :

$$O(x,y) = A_o(x,y) \cdot e^{i \cdot \varphi_o(x,y)} \quad (5.1)$$

iar distribuția complexă a unei de referință în același plan sub forma:

$$R(x,y) = A_r(x,y) \cdot e^{i \cdot \varphi_r(x,y)} \quad (5.2)$$

Fiind vorba de mediu de înregistrare subțire(plan),coordonata z nu apare.In plus amplitudinile obiect, A_o ,și de referință, A_r ,precum și fazele φ_o și φ_r sunt reale.

Cîmpul total la hologramă va fi atunci:

$$H(x,y) = A_o(x,y) \cdot e^{i \cdot \varphi_o(x,y)} + A_r(x,y) \cdot e^{i \cdot \varphi_r(x,y)} \quad (5.3)$$

După dezvoltare,transmitanța în amplitudine a hologramei este direct proporțională cu $|H(x,y)|^2$:

$$t(x,y) = \alpha \cdot |H(x,y)|^2 \quad (5.4)$$

adică :

$$t(x,y) = \alpha \cdot \left[A_o^2 + A_r^2 + A_o A_r \cdot e^{i \cdot (\varphi_o - \varphi_r)} + A_o A_r \cdot e^{i \cdot (\varphi_r - \varphi_o)} \right] \quad (5.5)$$

Iluminînd o astfel de hologramă cu o undă de forma:

$$C(x,y) = A_c(x,y) \cdot e^{i \cdot \varphi_c(x,y)} \quad (5.6)$$

unda transmisă va fi :

$$I(x,y) = C(x,y) \cdot t(x,y) = \alpha \cdot \left[(A_c A_o^2 + A_c A_r^2) \cdot e^{i \cdot \varphi_c} + A_c A_o A_r \cdot e^{i \cdot (\varphi_c + \varphi_o - \varphi_r)} + A_c A_o A_r \cdot e^{i \cdot (\varphi_c - \varphi_o + \varphi_r)} \right] \quad (5.7)$$

Această expresie constituie ecuația de bază a holografiei plane.

Primii doi termeni ai acestei ecuații generează unda transmisă direct prin hologramă,fără să contribuie la formarea de imagini,în timp ce ultimii doi termeni reprezintă undele difractate de hologramă,primul generînd imaginea primară(virtuală),iar al doilea imaginea,imaginea conjugată(reală) ,ale obiectului.Aceste denumiri au fost date celor două imagini în concor-

danță cu faptul că primul termen conține funcția de fază φ_0 ca și unda obiect, relația (5.1), în timp ce al doilea conține funcția de fază $-\varphi_0$, conjugată cu prima.

Dacă unda obiect folosită la înregistrare este rezultatul unei difracții Fresnel vorbim de holografia Fresnel; dacă unda difractată de obiect este de tip Fraunhofer-Fourier, vorbim de holografia Fraunhofer-Fourier

5.3 Holografia Fresnel

Considerăm, pentru simplitate, undele obiect și de referință emise de câte un punct luminos; atunci acestea vor fi sferice ca unde sferice :

$$O(x,y) = A_0 \cdot e^{i \cdot \varphi_0(x,y)} = A_0 \cdot \frac{e^{ikr}}{r} \quad (5.8)$$

$$R(x,y) = A_R \cdot e^{i \cdot \varphi_R(x,y)} = A_R \cdot \frac{e^{iks}}{s} \quad (5.9)$$

unde r și s sunt distanțele de la punctele obiect, respectiv de

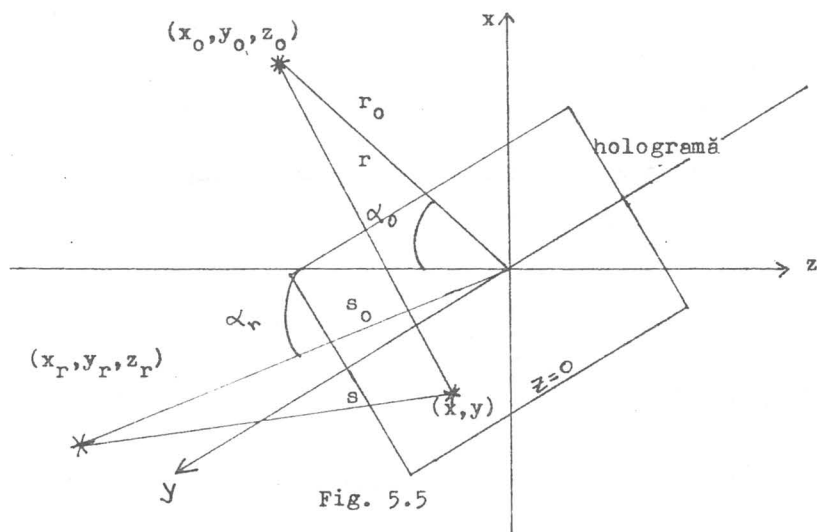


Fig. 5.5

referință pînă la un punct curent curent (x,y) din planul hologramei, figura 5.5, iar k reprezintă numărul de undă.

Se observă că transmitanța hologramei scrisă sub forma (5.5) mai poate fi pusă și sub forma următoare:

$$t(x,y) = \alpha \cdot \left[A_0^2 + A_R^2 + 2 \cdot A_0 A_R \cdot \cos(\varphi_0 - \varphi_R) \right] \quad (5.10)$$

relație care arată că transmitanța prezintă o variație periodică. Într-adevăr, dacă diferența de fază dintre cele două unde a-junse la hologramă este un număr par de :

$$\Delta\varphi = \varphi_o(x,y) - \varphi_r(x,y) = 2.m.\pi \quad (5.11)$$

pe hologramă vor fi generate maxime de interferență.

Conform figurii 5.5, distanța r se poate scrie sub forma :

$$r = \sqrt{(x_o - x)^2 + (y_o - y)^2 + z_o^2} \quad (5.12)$$

iar distanța r_o :

$$r_o = \sqrt{x_o^2 + y_o^2 + z_o^2} \quad (5.13)$$

de unde, prin dezvoltare binomială și reținînd primii doi termeni, deoarece în aproximația Fresnel z_o este mare în raport cu dimensiunea hologramei, funcția de fază a unei obiect în punctul (x,y) față de origine, se poate scrie:

$$\begin{aligned} \varphi_o(x,y) &= \frac{2.\pi}{\lambda} \cdot (r - r_o) = \frac{2.\pi}{\lambda} \cdot \left[z_o + \frac{(x - x_o)^2}{2.z_o} + \frac{(y - y_o)^2}{2.z_o} - \right. \\ &\quad \left. - z_o - \frac{x_o^2}{2z_o} - \frac{y_o^2}{2z_o} \right] = \frac{2.\pi}{\lambda} \cdot \frac{1}{2z_o} \cdot (x^2 + y^2 - 2xx_o - 2yy_o) \end{aligned} \quad (5.14)$$

Analog pentru unda de referință se obține :

$$\varphi_r(x,y) = \frac{2.\pi}{\lambda} \cdot (s - s_o) = \frac{2.\pi}{\lambda} \cdot \frac{1}{2z_r} \cdot (x^2 + y^2 - 2xx_r - 2yy_r) \quad (5.15)$$

Dacă, în plus, considerăm punctele obiect și de referință situate la aceeași distanță în raport cu holograma și în același plan xz , atunci : $z_o = z_r$ și $y_o = y_r = 0$, iar relația (5.11) devine :

$$\begin{aligned} \frac{2.\pi}{\lambda} \cdot \frac{1}{2.z_o} \cdot (x^2 + y^2 - 2xx_o - 2yy_o) - \frac{2.\pi}{\lambda} \cdot \frac{1}{2.z_r} \cdot (x^2 + y^2 - 2xx_r - 2yy_r) = \\ = 2.m.\pi \end{aligned} \quad (5.16)$$

adică:

$$x \cdot \left(\frac{x_r}{z_r} - \frac{x_o}{z_o} \right) = m \cdot \lambda \quad (5.17)$$

$$\text{sau : } x \cdot (\sin \alpha_r - \sin \alpha_o) = m \cdot \lambda \quad (5.18)$$

De unde poziția franjei în lungul axei ox este :

$$x_f = \frac{m \cdot \lambda}{\sin \alpha_r - \sin \alpha_o} \quad (5.19)$$

iar interfranja :

$$\Delta x_f = \frac{\lambda}{\sin \alpha_r - \sin \alpha_o} \quad (5.20)$$

respectiv frecvența spațială :

$$\nu_f = \frac{1}{\Delta x_f} = \frac{\sin \alpha_r - \sin \alpha_o}{\lambda} \quad (5.21)$$

Considerînd și pentru φ_c o expresie asemănătoare :

$$\varphi_c(x,y) = \frac{2 \cdot \pi}{\lambda} \cdot \frac{1}{2z_c} \cdot (x^2 + y^2 - 2xx_c - 2yy_c) \quad (5.22)$$

atunci funcția de fază din termenul al treilea al ecuației de bază a holografiei, relația (5.7), care generează unda primară este:

$$\begin{aligned} \phi_p = \varphi_o - \varphi_r + \varphi_c = \frac{\pi}{\lambda} \cdot \left[(x^2 + y^2) \cdot \left(\frac{1}{z_o} - \frac{1}{z_r} + \frac{1}{z_c} \right) - 2x \cdot \right. \\ \left. \cdot \left(\frac{x_o}{z_o} - \frac{x_r}{z_r} + \frac{x_c}{z_c} \right) - 2y \cdot \left(\frac{y_o}{z_o} - \frac{y_r}{z_r} + \frac{y_c}{z_c} \right) \right] \end{aligned} \quad (5.23)$$

care poate fi pusă sub o formă asemănătoare relațiilor (5.14), (5.15) :

$$\phi_p = \frac{2 \cdot \pi}{\lambda} \cdot \frac{1}{2Z_p} \cdot (x^2 + y^2 - 2xX_p - 2yY_p) \quad (5.24)$$

unde Z_p este raza, iar X_p și Y_p coordonatele centrului undei sferice respective.

Din compararea acestor două expresii se vede că, dacă unda de reconstituire $C(x,y)$ este identică cu unda de referință $R(x,y)$ atunci :

$$X_p = x_o \quad ; \quad Y_p = y_o \quad (5.25)$$

adică unda reconstituită corespunde undei obiect originale.

Considerații asemănătoare pentru termenul al patrulea al ecuației (5.7) permit obținerea coordonatelor undei conjugate: X_q, Y_q, Z_q , iar dacă, de asemenea, unda de citire este identică cu cea de referință, aceste coordonate sunt:

$$X_q = \frac{2x_r z_o - x_o z_r}{2z_o - z_r} \quad ; \quad Y_q = \frac{2y_r z_o - y_o z_r}{2z_o - z_r} \quad ; \quad Z_q = -z_o \quad (5.26)$$

ceea ce arată că această undă formează o imagine de partea opusă obiectului în raport cu holograma, fără a fi însă simetrică cu acesta; $X_q \neq x_o$, $Y_q \neq y_o$.

În figura 5.6 sunt indicate undele generate prin reconstituire de toți termenii ecuației de bază, imaginile primară și conjugată fiind notate cu O_p și O_q .

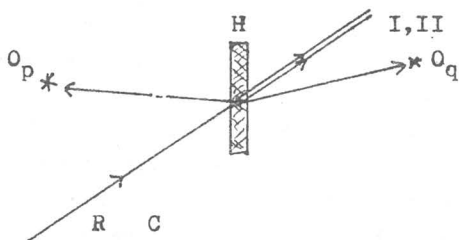


Fig. 5.6

Un montaj experimental, tipic pentru holografia Fresnel este prezentat în figura 5.7.

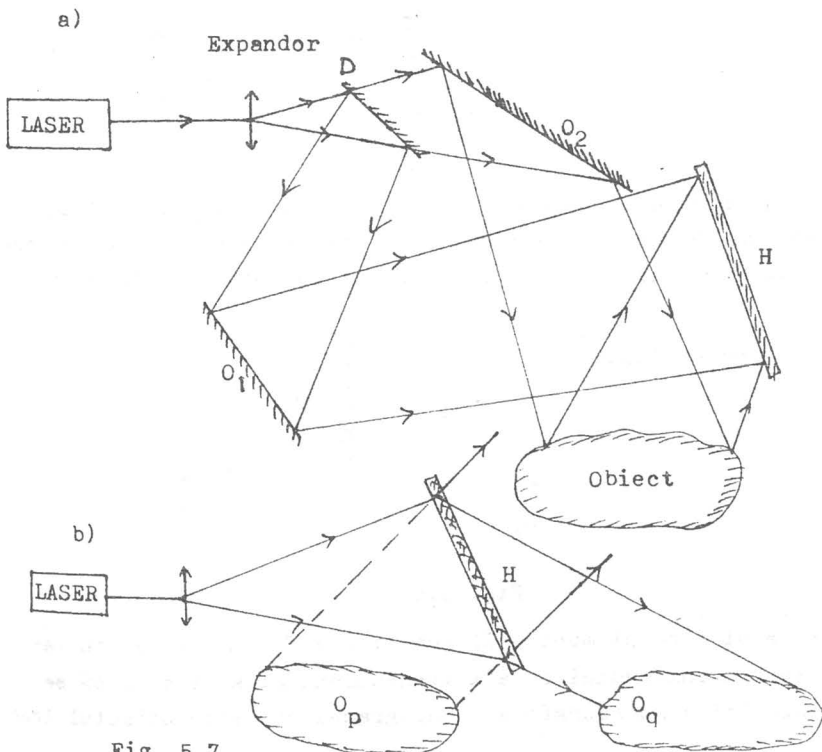


Fig. 5.7

În cazul înregistrării, fig. 5.7, a), unda laser, inițial expandată, este divizată în două componente cu ajutorul unui divizor de fascicul, D, pentru a forma unda obiect, respectiv cea de referință. Holograma obținută în mediul H prin interferența acestor două unde este de cea mai calitate în cazul realizării egalității drumurilor optice.

Pentru reconstituire poate fi utilizată aceeași instalație, în care însă unda obiect este eliminată, figura 5.7, b).

Nu este necesară întreaga suprafață a hologramei pentru reconstituire, fiecare punct al acestui tip de înregistrare optică, spre deosebire de fotografie, conține practic informații despre întreg obiectul care a difractat unda obiect spre hologramă. Însă cu cât suprafața folosită la reconstituire este mai mică cu atât rezoluția imaginilor obținute este mai mică.

În cazul unui obiect transparent, schema instalației de înregistrare a hologramei poate fi concepută astfel, figura 5.8.

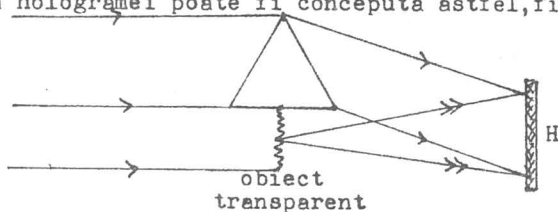


Fig. 5.8

În mod corespunzător, pentru înregistrare, folosind un fascicul de reconstituire identic cu cel de referință, se vor obține cele două imagini, figura 5.9, simetric față de hologramă;

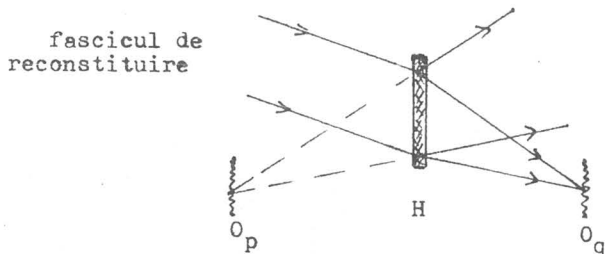


Fig. 5.9

dezavantajul acestui montaj îl constituie faptul că pentru reconstituirea întregului obiect transparent este necesar să se utilizeze întreaga suprafață a hologramei deoarece obiectul transp

parent nu difuzează practic lumina. Lumina de la un punct al obiectului ajunge numai într-un punct al hologramei situat pe drumul razei respective.

5.4 Holografia Fraunhofer - Fourier

Vorbim de holografie Fraunhofer - Fourier în cazul distanțelor mari dintre obiect și planul hologramei; în acest caz $z_0 \rightarrow \infty$, iar perturbația în planul hologramei cauzată de obiect este :

$$O(x,y) = \frac{e^{ikz_0}}{i \cdot \lambda \cdot z_0} \cdot e^{\frac{ik}{2z_0} \cdot (x^2+y^2)} \cdot \int_{\Sigma} F(x_0, y_0) \cdot e^{-i \frac{2\pi}{\lambda z_0} \cdot (xx_0 + yy_0)} \cdot dx_0 \cdot dy_0 \quad (5.27)$$

unde, fiind vorba de holograme plane, coordonata z nu intervine, iar $F(x_0, y_0)$ reprezintă distribuția de amplitudine la obiect.

Cazul limită $z_0 \rightarrow \infty$ putînd fi înlocuit și cu situația în care o lentilă bine corectată este plasată la distanța sa focală f față de obiect, planul hologramei aflîndu-se în celălalt focar, în expresia (5.27) se pot neglija termenii de ordin doi în x și y și $z_0 = f$; drept urmare :

$$O(x,y) = C \cdot \int_{\Sigma} F(x_0, y_0) \cdot e^{-i \frac{2\pi}{\lambda f} \cdot (xx_0 + yy_0)} \cdot dx_0 \cdot dy_0 \quad (5.28)$$

adică, distribuția de amplitudine în planul hologramei care pînă la constanta C reprezintă transformata Fourier bidimensională, subiect dezvoltat pe larg în capitolul anterior, a distribuției de amplitudine de la obiect. De aceea aceste holograme se numesc Fraunhofer-Fourier, unda de referință folosită fiind o undă plană.

Ecuția de bază a holografiei poate fi scrisă presupunînd și în acest caz obiectul constituit dintr-un singur punct $x = a$, figura 5.10. Atunci distribuția de amplitudine în planul

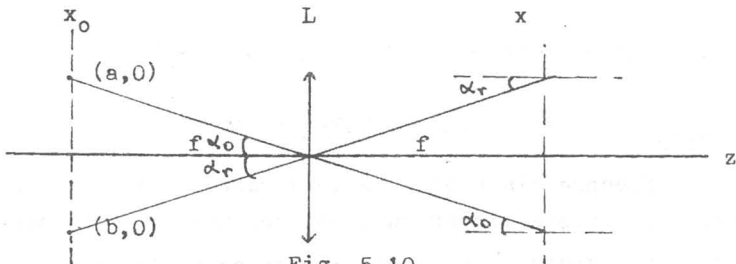


Fig. 5.10

hologramei devine :

$$O(x) = A_0 \cdot e^{-i \cdot \frac{k}{f} \cdot ax} = A_0 \cdot e^{-i \cdot kx \cdot \sin \alpha_0} \quad (5.29)$$

expresie care reprezintă o undă plană, incidentă pe hologramă sub unghiul :

$$\alpha_0 = \arcsin \frac{a}{f} \quad (5.30)$$

Dacă unda de referință este de asemenea plană, incidentă pe hologramă sub unghiul α_r :

$$R(x) = A_r \cdot e^{-i \cdot kx \cdot \sin \alpha_r} \quad (5.31)$$

atunci câmpul total în planul hologramei va fi :

$$H(x) = A_0(x) \cdot e^{-i \cdot kx \cdot \sin \alpha_0} + A_r(x) \cdot e^{-i \cdot kx \cdot \sin \alpha_r} \quad (5.34)$$

iar transmitanța :

$$t(x) = \beta \cdot \left[A_0^2 + A_r^2 + 2A_0 A_r \cdot \cos kx(\sin \alpha_0 - \sin \alpha_r) \right] \quad (5.35)$$

Ca și în cazul holografiei Fresnel, transmitanța variază periodic cu interfranja :

$$\Delta x_f = \frac{\lambda}{\sin \alpha_0 - \sin \alpha_r} \quad (5.36)$$

și frecvența spațială :

$$\mathcal{U}_f = \frac{1}{\Delta x_f} = \frac{\sin \alpha_0 - \sin \alpha_r}{\lambda} \quad (5.37)$$

Iluminînd holograma cu o undă plană :

$$C(x) = A_c(x) \cdot e^{-i \cdot kx \cdot \sin \alpha_c} \quad (5.38)$$

ecuația de bază a holografiei, pentru holografia Fourier, devine:

$$\begin{aligned} I(x) &= (A_c A_0^2 + A_c A_r^2) \cdot e^{-ikx \cdot \sin \alpha_c} + \\ &+ A_c A_0 A_r \cdot e^{-ikx \cdot (\sin \alpha_0 - \sin \alpha_r + \sin \alpha_c)} + \\ &+ A_c A_0 A_r \cdot e^{-ikx \cdot (\sin \alpha_r - \sin \alpha_0 + \sin \alpha_c)} \end{aligned} \quad (5.39)$$

Fiecare din acești termeni reprezintă o undă plană deoarece faza crește liniar cu x . La reconstituire termenii III și IV care corespund celor două imagini se regăsesc simetric față

fasciculul ce corespunde termenilor I și II, figura 5.11, care se transmite direct prin hologramă.

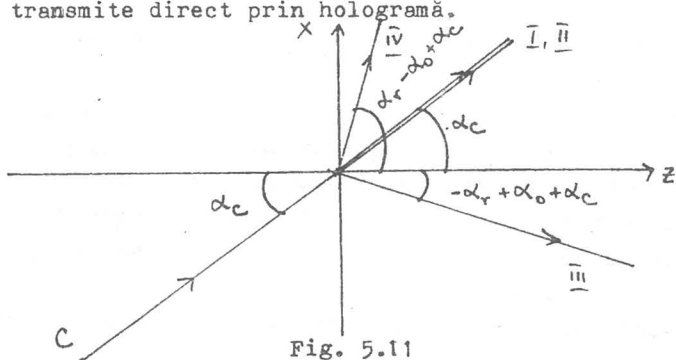


Fig. 5.11

Extinderea la un număr mare de puncte obiect este simplă; fiecare punct furnizează câte o rețea de difracție, totalitatea rețelelor suprapuse coerent vor constitui holograma obiectului.

Cap. VI PRELUCRAREA INFORMATIEI IN LUMINA COERENTA

6.1 Analiza și filtrarea datelor seismice folosind sistemul optic LASER - SCAN

În anul 1965 este lansat pe piață sistemul optic LASER-SCAN care la început a fost perfecționat pentru analiza și filtrarea datelor seismice. Utilizarea acestui sistem a oferit geofizicianului o nouă modalitate de analiză a informației înregistrată seismic. Două caracteristici se reliefează la acest sistem organizat ca un instrument analitic:

- prezentarea directă a informației de frecvență în transformate optice uni și bi - dimensionale;
- controlul pe loc, realizabil prin televiziunea cu circuit închis sau camera polaroid care sunt încorporate în sistem.

Acest sistem folosește un laser He-Ne ca sursă de iluminare monocromatică coerentă. Lumina emisă de acesta, după ce a fost expandată, traversează o peliculă fotografică pe care au fost înregistrate informațiile care urmează a fi analizate. O lentilă convergentă situată la o distanță egală cu distanța ei focală realizează în planul focal imagine transformata Fourier sau spectrul de putere al informației conținută pe pelicula fotografică.

Dacă scopul operației de prelucrare este limitat la analiza frecvențelor datelor atunci nu este nevoie decât să se fotografieze transformata sau să fie examinată printr-un microscop sau pe un ecran al unui monitor TV.

Dacă scopul este obținerea unei imagini filtrate se plasează în planul transformatei filtrul adecvat iar radiația luminoasă astfel modificată este trecută prin o a doua lentilă care o transformă în imaginea filtrată dorită, plasată în planul imagini.

Înlocuirea lentilelor sferice cu lentile cilindrice, realizată de Jackson în același an, /23/, dă o transformată care prezintă spectrul de frecvență pentru fiecare canal al secțiunii (pentru fiecare funcție semnal); acest spectru este cunoscut ca transformata Fourier unidimensională multicanal.

După realizarea acestui dispozitiv de Dobrin, Ingalls, Long, /11/, a apărut și un dispozitiv francez FO 100, în anul următor, au-

tor anonim, apoi peste un alt an, în 1967, și un dispozitiv sovietic, autori: O.A. Potapov, V.A. Lihterman de la Institutul de mine din Leningrad.

În țara noastră, cu colaborarea Institutului de Fizică Atomică, sistemul LASER - SCAN a fost introdus în anii 1968 - 1969 în prelucrarea datelor geofizice.

Avantajele care au determinat introducerea acestui sistem au fost:

- prelucrarea simultană a unui volum foarte mare de date; se pot prelucra pînă la 1000 canale (funcții semnal) simultan;
- efectuarea de filtrări rapide; apariția spectrului de frecvențe pe ecranul unui monitor TV permite ca într-un timp scurt să se poată încerca mai multe variante de filtrare, reținându-se fotografic, dacă este cazul, rezultatul filtrării. În acest fel rezultă un contact vizual nemijlocit și ușor de păstrat cu problema ce urmează a fi rezolvată: prelucrarea optică a setului de funcții semnal.

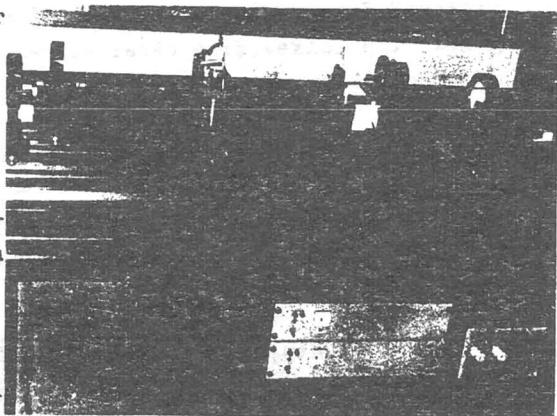
Dezavantajele care se întîlnesc, față de prelucrarea similară cu calculatorul electronic, sunt:

- dinamica limitată la cca. 30 db, ca urmare a contrastului de înnegrire ce se poate realiza pe suportul fotografic;
- "zgomotul optic" provocat de defecte interioare sau exterioare ale lentilelor, cum ar fi mici bule de aer, particule de praf, etc. acestea provoacă perturbații pe imaginea filtrată de aceea se impune o curățenie exigentă a sistemelor optice, a întregii activități de laborator

Fig. 6.1

Primul sistem de acest tip a fost realizat în centrul de calcul al Întreprinderii de Prospekțiuni Geologice și Geofizice București, figura 6.1, /3/, care,

inițial, a servit numai pentru operații de filtrare bidimensională; se făceau teste de filtrare pentru stabilirea operatori-



lor de filtrare necesari fluxului de prelucrare electronică.

Ulterior, în timp ce mai bine de 10 ani, posibilitățile de folosire ale sistemului au fost extinse, astfel, /1,10/, :

- după construirea instalației și punerea la punct a algoritmului optic de filtrare bidimensională folosind filtre mecanice, obturatoare optice de tipul celor folosite în sistemul de bază, a fost introdusă filtrarea monodimensională multicanal folosind o oglindă concavă în locul lentilei cilindrice;

- a fost pusă la punct filtrarea complexă, în amplitudine și fază, folosind filtre spațiale holografice, acestea permițând realizarea operațiilor de : convoluție, deconvoluție, corelație, autocorelație, transformată Hilbert, înmulțire de matrici, integrală, derivată, etc;

- montajul de filtrare complexă a fost completat cu filtre holografice generate pe calculator;

- a fost realizat și un proces de codare color înlocuind sursa Laser cu o sursă de lumină policromatică parțial coerentă.

6.2 Prelucrarea optică prin filtrare bidimensională a spectrului de frecvență Fourier

Spectrul de frecvențe Fourier obținut în planul focal imagine al unei lentile convergente, în frecvențele spațiale:

$$u = x_f / \lambda \cdot f \quad ; \quad v = y_f / \lambda \cdot f \quad (6.1)$$

care corespunde obiectului difractant $O(x,y)$, înregistrat pe o peliculă fotografică (avînd dimensiunea unei imagini de film fotografic tip Leika), și a cărei expresie matematică este transformata Fourier:

$$F(u,v) = \int_0 \quad O(x,y) \cdot e^{-2\pi i \cdot (xu + vy)} dx \cdot dy \quad (6.2)$$

se poate modifica plasînd în planul focal respectiv un filtru cu transmitanța $t(x,y)$, căruia îi corespunde funcția de transfer $H(u,v)$:

$$H(u,v) = \int_T \quad t(x,y) \cdot e^{-2\pi i \cdot (xu + vy)} dx \cdot dy \quad (6.3)$$

La ieșirea din planul Fourier repartiția spațială va fi de forma :

$$F'(u,v) = F(u,v) \cdot H(u,v) \quad (6.4)$$

care va conduce, prin plasarea în continuare a unei alte lentile, la obținerea în planul focal imagine al acesteia din urmă, a repartiției funcției filtrate:

$$I(x',y') = \int_F F'(u,v) \cdot e^{2\pi i \cdot (x'u + y'v)} du \cdot dv \quad (6.5)$$

adică transformata Fourier inversă a lui $F'(u,v)$.

Configurația de filtrare spațială bidimensională folosită este prezentată în figura 6.2:

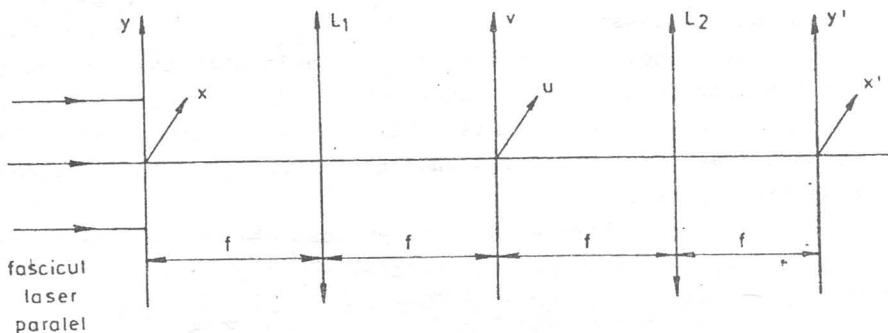


Fig. 6.2

iar schema de principiu a instalației folosite este prezentată în figura 6.3:

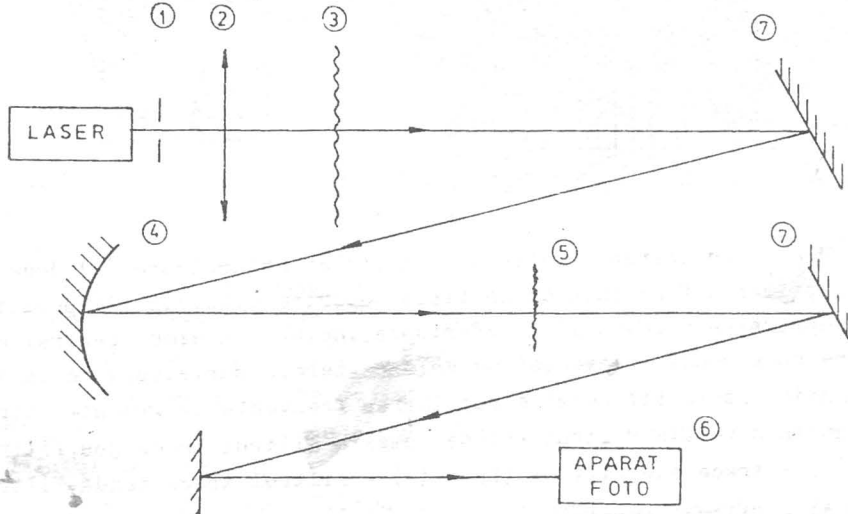


Fig. 6.3

Fasciculus monocromatic, $\lambda = 6328 \text{ \AA}$, emis de o sursă laser He-Ne cu puterea de cca.40 mW, este expandat de o microdiafragmă circulară (1) care apoi este colimat de un colimator (2) cu distanța focală $f = 40 \text{ cm}$ încât pe rețeaua de difracție (3) cade un fasciculus paralel. Ca operator Fourier este folosită o oglindă concavă (4), efectul optic fiind același fiind eliminate aberațiile de sfericitate ale lentilei. În planul focal al acesteia, $f = 1100 \text{ mm}$, se plasează filtrul optic (5). Aparatul fotografic (6) înregistrează imaginea filtrată sau chiar spectrul Fourier dacă aparatul se plasează în locul filtrului optic. Oglindile plane (7) au rolul de a schimba direcția de propagare a radiației luminoase.

Din punct de vedere geometric instalația poate asigura între obiect și imagine un raport unitar dacă obiectul ca și imaginea se află la o distanță dublă față de distanța focală; în acest fel se evită folosirea unei a doua lentile pentru reconstituirea imaginii.

Inițial filtrele folosite au fost obturatoare mecanice, figura 6.4, plasate în planul Fourier.

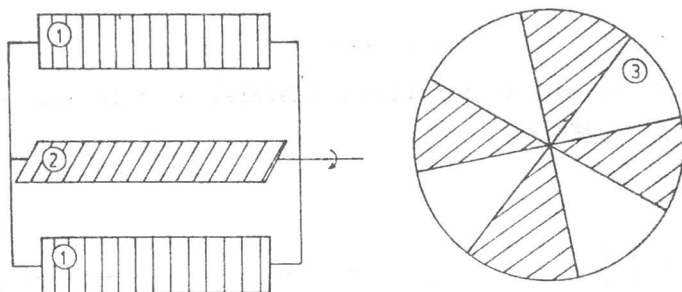


Fig. 6.4

Folosirea simultană a lamelor obturatoare (1) duce la suprimarea frecvențelor spațiale superioare; lamela (2) permite suprimarea frecvențelor inferioare, inclusiv maximum central care corespunde frecvenței de valoare zero, nepurtătoare de informație. Lamela (3) permite suprimarea frecvențelor grupate într-o anumite direcție. Filtrul (1) se numește filtrul trece jos, filtrul (2) - trece sus, filtrul (1) + (2) - filtrul trece bandă, filtrul (3) - filtrul evantai.

Se observă la toate aceste tipuri de filtre forma lor simetrică aceasta deoarece spectrul de frecvențe are o structură simetrică față de maximum central.

Utilizînd un film standard, 24/36 mm, pe care se pot înregistra cca. 600 funcții semnal cu durată de înscriere de 5 sec. este posibilă prelucrarea simultană a acestor funcții. De exemplu, o înregistrare geofizică, numită tablou de unde, figura 6.5, care

conține un număr de 550 funcții semnal cu lungimea de 3 sec. copiat pe film standard, după ce în prealabil a fost organizat pe un calculator, are transformata Fourier, realizată optic în planul focal al oglinzii concave, grupată pe două direcții principale; una în lungul axei frecvență, cealaltă orientată la 45°, figura 6.6.

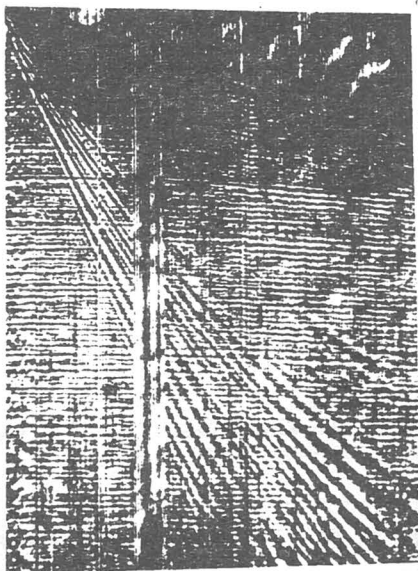


Fig. 6.5

Primul grup de frecvențe corespunde funcțiilor, semnal utile dispuse orizontal pe cînd al doilea grup este determinat de undele superficiale (zgomote), dispuse pe imaginea inițială la 45°.

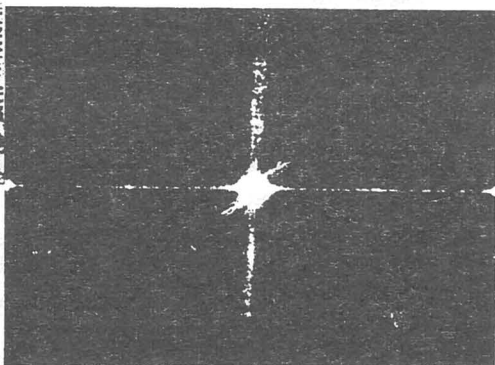


Fig. 6.6

Determinînd cu exactitate aceste două domenii a fost posibil, pentru activitatea de teren, să se stabilească elementele necesare poziționării sondelor de foraj, de mare adîncime, pe zăcămintul de țigăi, /10/.

Aplicarea unui filtru în evantai, astfel plasat încît să

obtineze frecvențele spațiale corespunzătoare undelor superficiale, permite obținerea unei imagini care conține numai undele considerate utile, figura 6.7.

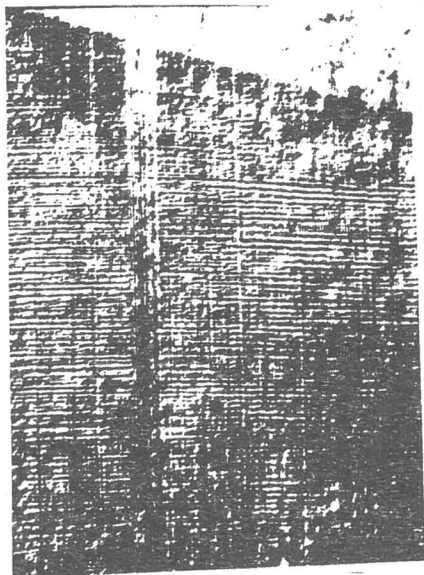


Fig. 6.7

6.3 Prelucrarea optică prin filtrare monodimensională multicanal, /b/

Dacă lentila convergentă permite obținerea în planul focal imagine a spectrului de difracție Fourier bidimensional, care este un spectru global, pe întreg ansamblul de funcții semnal, folosirea unei lentile cilindrice ca operator Fourier permite obținerea spectrului Fourier pentru fiecare funcție semnal în parte; spectrul obținut este un spectru unidimensional multicanal.

Configurația optică de filtrare folosită în acest sens

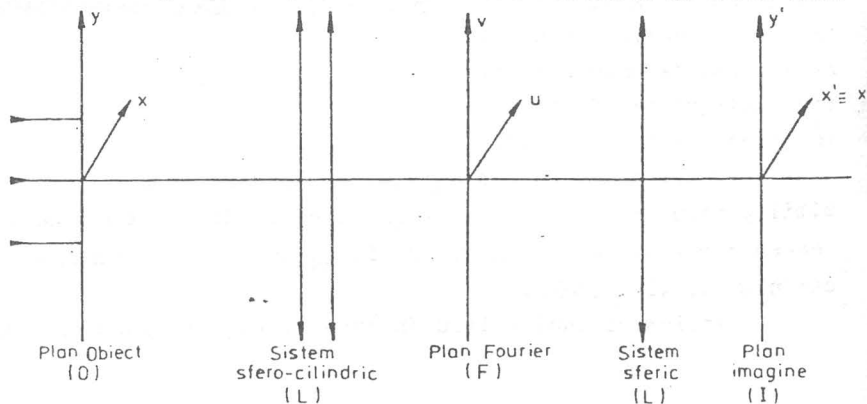


Fig.6.8

figura 6.8, permite obținerea în planul Fourier a transformatei numai pe o singură direcție, perpendiculară pe generatoarea lentilei cilindrice:

$$F(u, y) = \int_0 \quad O(x, y) \cdot e^{-2\pi i \cdot (ux)} dx \quad (6.6)$$

De unde, în mod corespunzător, imaginea obținută în planul imagine este caracterizată de cîmpul:

$$I(x', y') = \int_I \quad F'(u, y) \cdot e^{+2\pi i \cdot (x'u)} du \quad (6.7)$$

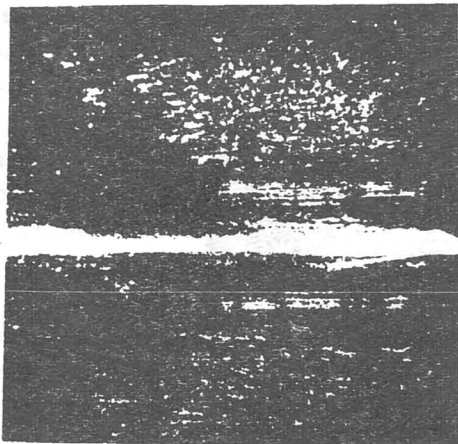
unde :

$$F'(u, y) = F(u, y) \cdot H(u, y) \quad (6.8)$$

care are aceeași semnificație fizică carelatația (6.4).

Se observă, deci, că imaginea pe direcția y se formează identic cu cea inițială; transformata Fourier monodimensională ce se obține doar pe direcția x este filtrată cu un filtru adecvat acestui tip de filtrare, adică un filtru cu funcția de transfer doar pe direcția x; H(u, y).

Efectuînd transformata Fourier monodimensională a tablo-



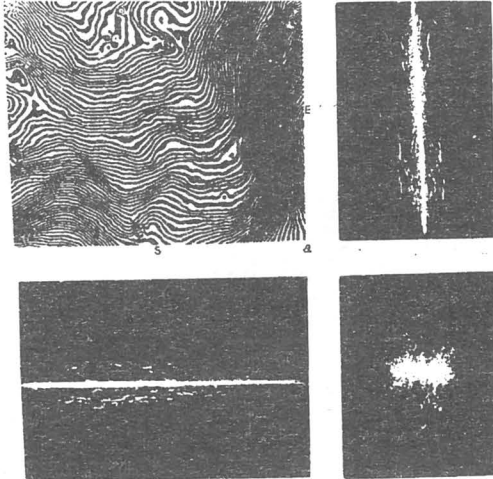
ului de undă considerat, figura 6.5, se observă de-a lungul axei de simetrie, figura 6.9, spectrul de frecvențe corespunzător undelor utile în banda 10 - 60 Hz, iar sub 10 Hz spectrul frecvențelor corespunzătoare undelor superficiale.

Geologul interpretator avînd la dispoziție și această imagine despre zona de studiu va observa modificarea spectrală, deci geologia, de la un canal la altul.

Fig. 6.9

Transformata unidimensională este ideală pentru redarea unor modificări geologice radicale, de exemplu o falie (ruptură). La trecerea bruscă de la o latură a faliei la cealaltă, transformata arată efectul acestei treceri prin discontinuități evidente în domeniul frecvență.

Dacă se aplică transformata Fourier monodimensională multicanal unei hărți gravimetrice (fiecare linie a acestei hărți, numită și izolinie, unește puncte de pe suprafața pământului de egală valoare a accelerației gravitaționale) pe două direcții date, E-V, N-S, figura 6.10, pe fiecare direcție se obține un spec-



tru monodimensional multicanal care arată evoluția frecvențelor spațiale pe direcția respectivă. Împreună cu transformata Fourier bidimensională se obțin rezultate remarcabile în ceea ce privește interpretarea acestei hărți de către geologul interpretator.

Fig. 6.10

Efectuînd o filtrare bidimensională trece bandă, imaginea

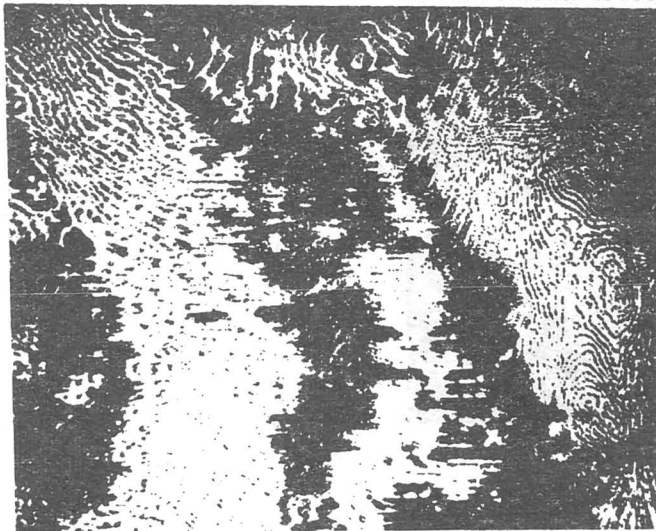


Fig. 6.11

obținută, figura 6.11, permite obținerea unor rezultate în care se pun în evidență gradientii ai accelerației gravitaționale; zonele luminoase corespund valorilor ridicate ale accelerației. Detaliile circulare, neobserva-

bile pe harta inițială, permit, printr-o etalonare inițială, stabilirea valorilor gradientului accelerației gravitaționale.

6.4 Prelucrarea optică prin filtrare spațială complexă

Filtrarea spațială complexă presupune folosirea, în locul obturatorilor mecanice de filtre realizate prin procedee holografice. Funcția filtru având transmitanța $t(x,y)$ este înregistrată pe un suport fotografic după care este introdusă într-un montaj holografic de tip Fraunhofer-Fourier, figura 5.10.

Holograma astfel obținută, având funcția complexă (amplitudine și fază) de transfer $H(u,v) = H(u,v) \cdot \exp(i\phi_H(u,v))$, devine filtru pentru sistemul optic de prelucrare de tip LASER-SCAN. Imaginea obținută suferă o filtrare atât în amplitudine cât și în fază, spre deosebire de filtrarea clasică care realizează numai o filtrare în amplitudine, /27, 28/.

O altă modalitate de a realiza filtrul complex este de a proiecta pe calculator. Un program numeric simulează întreg procesul de obținere a hologramei de tip Fraunhofer-Fourier: introducerea datelor referitoare la filtru, subrutină de realizare a transformatei Fourier mono- și bi-dimensională, codarea rezultatelor pentru a fi transpuse, prin intermediul unui inscriptor, pe hârtie sau direct pe film, o reducere fotografică dacă este cazul încât holograma astfel obținută, în final să aibă dimensiunea standard (tip Leika). O schemă logică a unui astfel de program este dată în figura 6.12.

Subrutina FFTR permite realizarea rapidă a transformatei Fourier; în general realizarea transformatei Fourier necesită timp de calculator mari.

Folosind un astfel de filtru complex, optic sau realizat numeric, se poate obține operația de deconvoluție, de exemplu, operație specifică îndeosebi sistemelor numerice de calcul. În figura 6.13 este prezentat un filtru pentru realizarea operației de deconvoluție obținut cu ajutorul unui program numeric a cărui schemă logică este dată în figura 6.12. Pentru a fi efectiv folosit în instalația optică de prelucrare el necesită o micșorare de cca. 5 ori.

Procedeul optic de realizare a deconvoluției unor funcții semnal nu concurează procedeul similar numeric. Inșă poate contribui la stabilirea filtrelor numerice prin teste de deconvoluție realizate optic, obținându-se în acest fel economii la timpul de calculator.

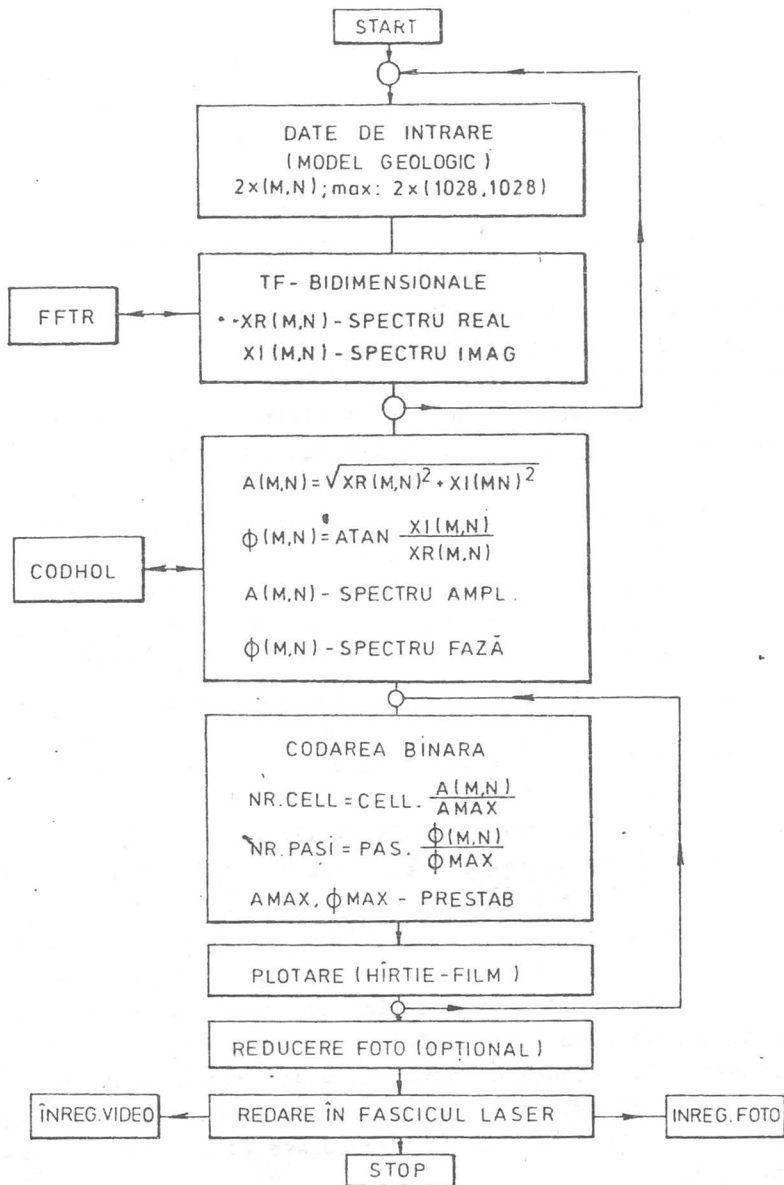


Fig. 6.12

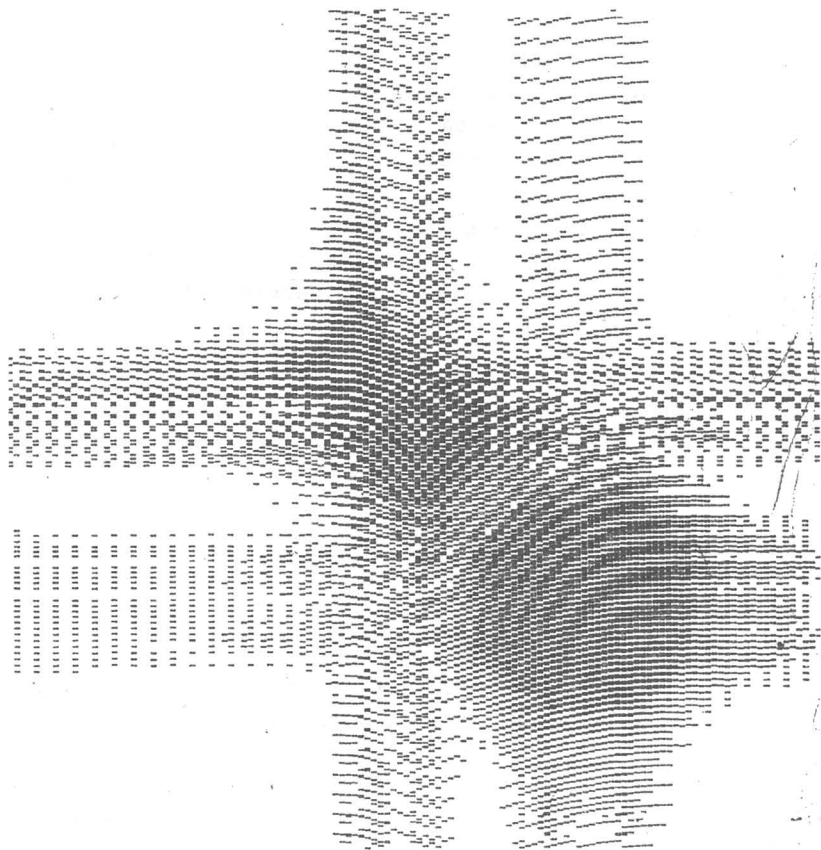


Fig. 6.13

6.5 Prelucrarea optică prin filtrare bidimensională
în lumină albă(codarea color)

În toate prelucrările de tip neholografic de la sursa laser a fost necesară numai coerența spațială ridicată, condiție esențială pentru obținerea unor imagini cu o rezoluție ridicată.

Cum coerența spațială depinde de dimensiunea sursei, ea fiind definită ca o măsură a gradului de corelație între fazele fronturilor de undă de la două puncte ale sursei la un moment dat, se întrevide posibilitatea realizării unui sistem de prelucrare a cărui sursă de lumină să fie albă, /1 / .

Se poate folosi un bec halogen, cu puterea de cca 24 W, care este caracterizat printr-un spectru cromatic foarte larg. Plasat într-un montaj optic, prin focalizare și diafragmare, se poate

obține o sursă cu dimensiunea de $\sim 0,2$ mm.

Prelucrarea în lumină albă se efectuează pentru selectarea unor culori din spectrul vizibil și atribuirea acestora unor componente spectrale ale obiectului difractant supus prelucrării.

Pentru a ilustra principiile care stau la baza acestui tip de prelucrare, să considerăm o rețea de difracție pe care o vom ilumina, pentru început, cu un fascicul paralel de radiație monocromatică, figura 6.14.

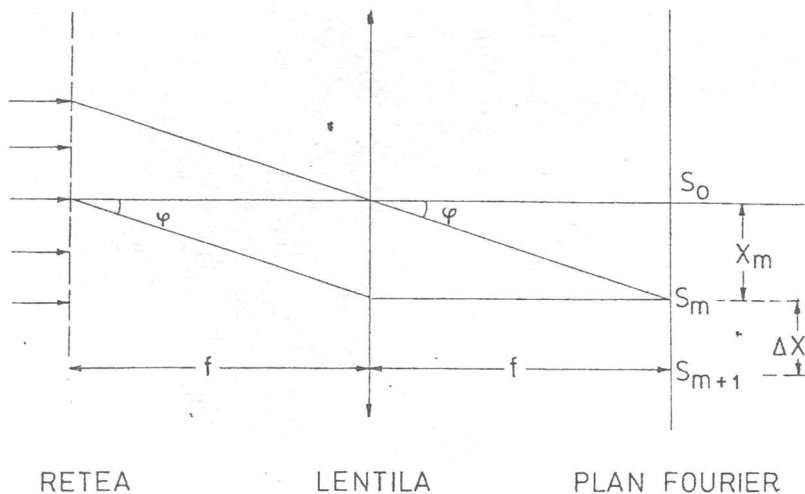


Fig. 6.14

Maximul de ordinul m se va forma la distanța :

$$x_m = m \cdot \lambda \cdot f \cdot \frac{1}{p} \quad (6.9)$$

de maximul central, unde:

- λ - lungimea de undă a radiației folosite,
- f - distanța focală a lentilei,
- p - constanta rețelei de difracție.

Pentru o rețea de difracție sinusoidală valorile pe care le ia m sunt :

$$m = \pm 1 \quad (6.10)$$

Plasînd în locul rețelei sinusoidale monofrecvență (p - unic), o rețea sinusoidală multifrecvență (p - variabil), fiecare frecvență spațială din planul Fourier este determinată de inversul constantei rețelei respective.

Prin operațiile de filtrare prezentate se îndepărtează componentele spectrale nedorite.

Iluminând acum aceeași rețea sinusoidală cu un fascicul paralel de lumină albă, $\lambda = 400 - 800 \text{ nm}$, se va obține un maxim central alb urmat de o parte și de cealaltă de maxime secundare de ordinul 1 colorate, începând cu roșu și terminând cu violet, figura 6.15

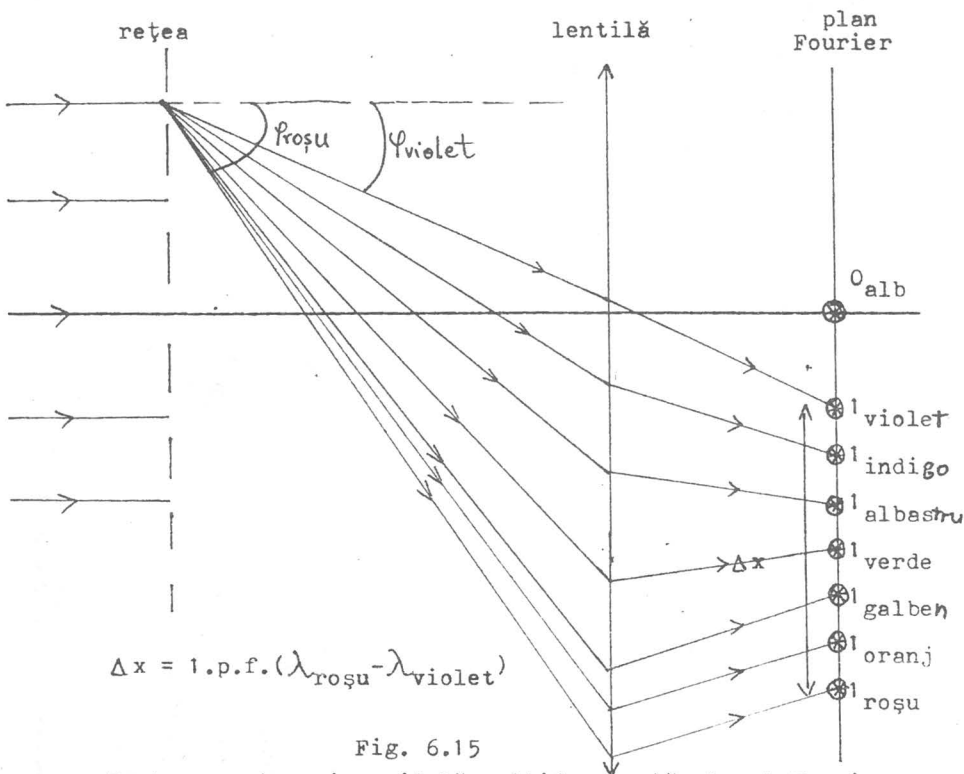


Fig. 6.15

Pentru o rețea sinusoidală multifrecvență planul Fourier va conține o distribuție de amplitudini luminoase determinată de o suită de transformate Fourier obținute de la fiecare radiație existentă în spectrul sursei folosite.

Obținerea unor componente cromatice în planul Fourier duce la obținerea unei imagini colorate cu ajutorul componentelor spectrale cromatice neobținute.

Folosind un filtru în evantai asociat cu un filtru trece bandă se poate obține o imagine colorată a hărții gravimetrice prezentată în figura 6.10.



Fig. 6.16

Imaginea colorată obținută, figura 6.16, permite stabilirea unei corespondențe între culoare și frecvență a izoliniilor. Zonele de gradient ridicat, purtătoare de informații de natură geologică, sunt colorate în culori deschise dictate de sistemul optic .

Cap. VII HOLOGRAME GENERATE PE CALCULATOR;
STUDIUL HOLOGRAMELOR FRESNEL SI FRAUNHOFER
GENERATE PE CALCULATOR

7.1 Generarea hologramelor pe calculator prin metoda
Brown - Lohmann

Necesitatea generării de holograme numerice a apărut din dorința realizării unor operații matematice complexe pe cale optică care solicitau filtre spațiale dificil de realizat optic. Acestea au putut fi realizate relativ ușor sub formă de holograme numerice.

Brown și Lohmann, în 1960, au sintetizat primele holograme cu ajutorul calculatorului, /6/. Ulterior alți cercetători au dezvoltat diferite metode de generare a hologramelor cu ajutorul calculatoarelor numerice cu importante aplicații în prelucrarea optică a informației.

Hologramele înregistrate optic conțin informația de amplitudine și de fază a obiectelor prin variația continuă a transparenței materialului fotosensibil (holograme de amplitudine) sau prin variații continue ale drumului optic (holograme de fază). Inșă datorită caracteristicii neliniare de înregistrare a materialului fotosensibil, apar distorsiuni care la hologramele numerice se elimină prin folosirea unei transparențe binare a materialului de înregistrare. De aici necesitatea folosirii materialului fotosensibil la contrast maxim, nu în porțiunile în care acesta are neliniaritățile cele mai mari.

Generarea pe calculator de holograme ale unor obiecte care nu există fizic apare necesară în situația afișării unui obiect descris analitic.

Procedeul de generare a hologramelor numerice, descris în câteva rânduri și în capitolul anterior, implică în general trei mari etape:

- se calculează pe calculator distribuția amplitudinii complexe în planul hologramei ținând cont de distribuția obiectului și de propagarea undei de la obiect la planul hologramei;
- amplitudinile astfel calculate sunt convertite în numere reale, pozitive, pentru a fi redate, pe imprimantă (hîrtie), plotter (film sau hîrtie) sau imagine video;
- figura astfel obținută este micșorată fotografic sau

chiar cu ajutorul calculatorului dacă este posibil, pentru a căpăta caracteristicile unei rețele de difracție.

Datorită posibilității limitate de calcul numeric, calculul amplitudinii complexe din planul hologramei se face pentru un număr limitat de puncte (eșantioane) ale obiectului. Modul de alegere a punctelor obiectului se face conform teoremei eșantionării, lucru care și optic se petrece datorită rezoluției finite a materialului fotosensibil. Fiecare punct al obiectului considerat dă în planul hologramei o distribuție de amplitudine complexă, de tip Fresnel sau Fraunhofer, după cum obiectul este la distanță mică sau mare față de planul hologramei.

Conform teoremei eșantionării, /15/, spectrul Fourier al unei funcții eșantionate $f_s(x)$ reprezintă o serie de transformate Fourier distanțate cu un interval de mărime :

$$a = \frac{1}{\Delta x} \quad (7.1)$$

unde Δx reprezintă rata de eșantionare, figura 6.12.

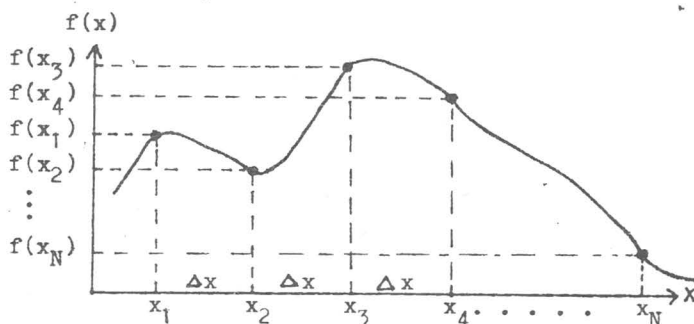


Fig. 7.1

Conform figurii 7.1, funcția eșantionată $f_s(x)$ este un șir de numere reale egal distanțate cu distanța x :

$$f_s(x) = f(x_1), f(x_2), f(x_3), \dots, f(x_N) \quad (7.2)$$

Dacă funcția $f(x)$ este de bandă limitată înseamnă că transformata Fourier $F(u)$ are valori semnificative numai într-un anumit domeniu:

$$-\frac{u_{\max}}{2} \leq u \leq \frac{u_{\max}}{2} \quad (7.3)$$

unde u_{\max} este frecvența spațială maximă a spectrului. Suprapu-

nerea seriilor de transformate Fourier ale lui $f_s(x)$, conform teoremei eșantionării, este înlăturată dacă :

$$\frac{1}{\Delta x} \gg u_{\max} \quad \text{sau} : \Delta x \leq \frac{1}{u_{\max}} \quad (7.4)$$

În acest caz se poate obține, la reconstrucție, din transformata Fourier a funcției eșantionate $f_s(x)$, funcția continuă $f(x)$.

Redarea grafică a hologramelor numerice se poate efectua în mai multe feluri:

- similar fenomenului optic, după ce se calculează interferența holografică, se afișează rezultatul pe un periferic: imprimantă, plotter sau ecran video. Folosirea semitonurilor la redare duce la introducerea suplimentară a unor distorsiuni față de cele introduse prin eșantionare, datorită neliniarității materialului fotosensibil;

- prin codarea amplitudinii complexe în elemente de transitanță binară, fante, se poate evita reprezentarea hologramelor prin trepte de intensitate. Hologramele astfel sintetizate numeric devin insensibile la neliniaritățile materialului de înregistrare; în plus ele produc mai puțin zgomot decât cele cu tonuri continue. Aceasta duce la obținerea unei imagini mai luminoase.

Privind hologramele binare, potrivit teoriei comunicațiilor, le putem considera echivalente din punct de vedere spațial cu o modulație în impulsuri; codarea fazei este analoagă modulației în poziție a impulsurilor, în timp ce codarea amplitudinii este similară cu modulația în durată a lor.

La generarea hologramelor pe calculator, problema care se pune este găsirea unui obiect difractant a cărui figură de difracție să fie tocmai imaginea care se urmărește să se obțină; figura 7.2 ilustrează această problemă.

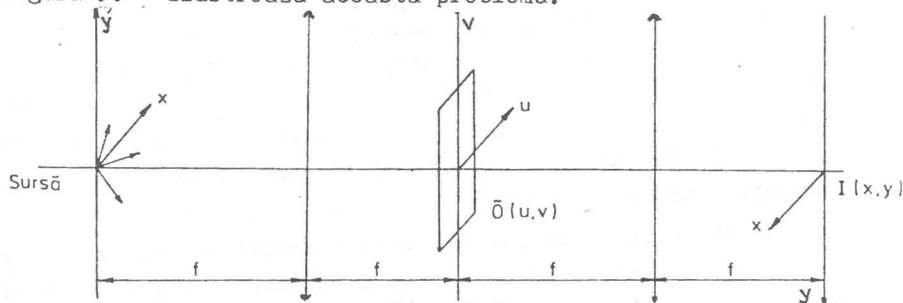


Fig. 7.2

Programul numeric, care poate fi realizat după schema logică prezentată în capitolul anterior, calculează amplitudinea complexă din planul hologramei sub forma a două matrici bidimensionale; matricea de amplitudine $A(m,n)$, respectiv matricea de fază $\Phi(m,n)$, unde m și n reprezintă numărul de eșantioane ale obiectului difractant eșantionat, $f_s(x,y)$.

Sintetizarea hologramei, adică redarea fizică pe un suport, hîrtie sau film, s-a generalizat pornind de la principiul deturului de fază: orice abatere dintr-o rețea regulată de difracție este echivalentă cu un factor de fază care depinde de mărirea abaterii.

În spiritul acestei idei Brown și Lohmann, /3, 18/, au codificat perechile $A(m,n)$, $\Phi(m,n)$ prin trasarea de fante de arie proporțională cu valoarea $A(m,n)$ și deplasate cu un drum proporțional cu $\Phi(m,n)$. Această metodă este cunoscută sub numele de tehnica măștilor binare.

Prima hologramă numerică generată de Brown și Lohmann conținea 1600 aperturi determinate de o matrice complexă de 128 x 128 eșantioane. Calculul a fost efectuat pe un calculator IBM system 360 model 50. Timpul de calcul a fost de cca. 8 minute, iar rezultatul (holograma numerică) a fost afișat cu un plotter tip Calcomp 565 într-un pătrat de 70 cm² în trei etape succesive deoarece hîrtia avea lățimea de 25 cm. Apoi a fost efectuată o reducere fotografică de 150 ori pe un film Kodak 649 F.S-a obținut o rețea de difracție sub forma unui pătrat cu latura de 4 mm.

Un exemplu de program, a cărui schemă logică a fost prezentată în figura 6.12, care permite obținerea pe calculator a hologramelor de tip Fresnel și Fraunhofer este prezentat în paginile următoare. Prima parte de program permite obținerea transformatei Fourier folosind un subprogram rapid de realizare a transformatei Fourier monodimensionale numit COOLEY - TUKEY, /8/, FFTR (Fast Fourier Transform) existente în biblioteca de programe a calculatorului folosit. Partea a doua a programului redă pe hîrtie, folosind un plotter al sistemului, holograma realizată prin tehnica măștilor binare Brown - Lohmann.

Subprograme auxiliare permit operații de intrare și ieșire folosind unități de bandă și de discuri magnetice pentru stocarea finală, respectiv intermediară a datelor aflate în me-

moria calculatorului pe care le prelucrează programul.

Intreg programul este executat în limbajul Fortran, /10/.

Un model de hologramă realizat cu acest program, care este determinată de o matrice complexă de 1024×1024 eşantioane este prezentat în figura 7.3.

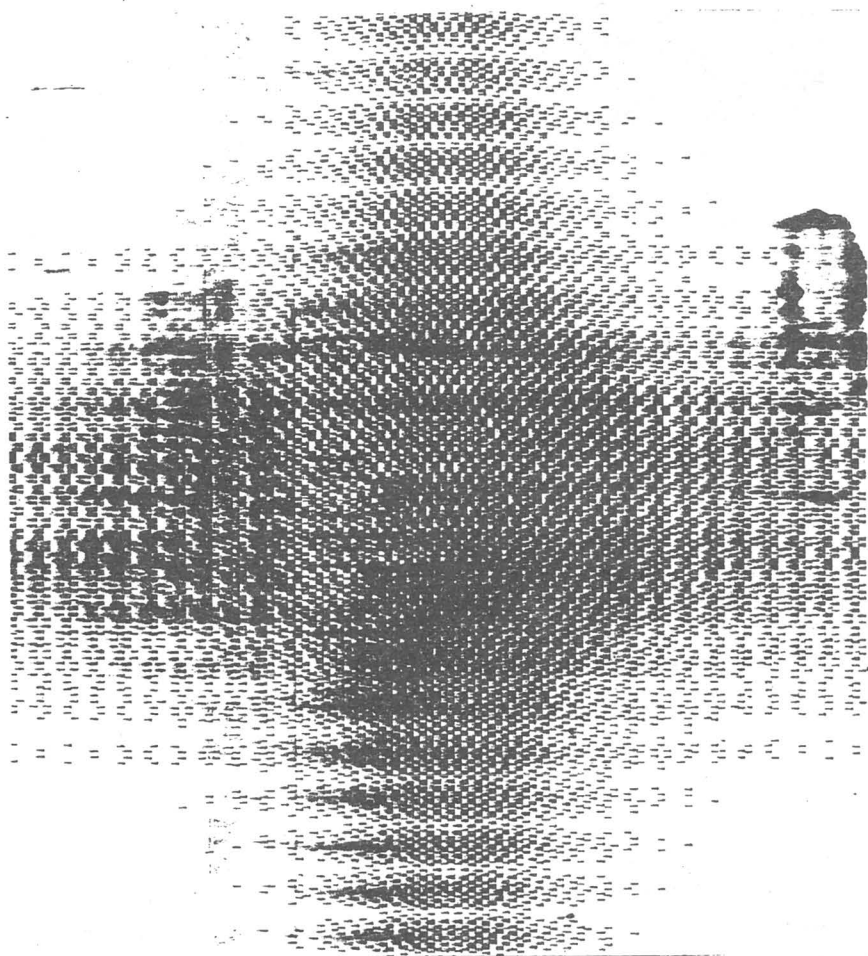


Fig. 7.3

Este o hologramă Fraunhofer care, după ce a fost redusă fotografic de 50 ori și înregistrată astfel pe o placă holografică, a fost plasată într-un fascicul Laser paralel; imaginea obținută concordă într-adevăr cu modelul obiectului la care s-a gî-

dit programatorul, figura 7.4; el reprezintă, după cum se observă în imagine, o literă E.

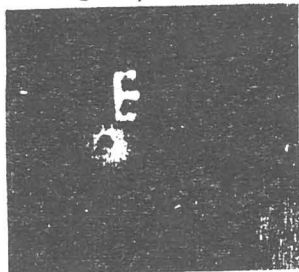


Fig.7.4

Radiația împrăștiată coerent de hologramă este captată de o lentilă convergentă. În planul focal imagine al acesteia, de-o parte și de cealaltă a focarului principal, se obțin câte două, patru, opt, ș.a.m.d. după cum rata de eșantionare din planul hologramei este egală cu cea a obiectului sau multiplu al acesteia.

În aceeași manieră se realizează filtrele holografice, funcția care caracterizează transmitanța filtrului, $t(x,y)$, fiind folosită de program pentru a realiza holograma caracterizată prin funcția de transfer $H(u,v)$, figura 6.13.

Vizualizarea și măsurarea parametrilor unei holograme numerice se face într-un montaj dezvoltat pe structura unui analizor de spectru optoelectronic înzestrat cu un sistem TV și un procesor digital de imagine, figura 7.5.

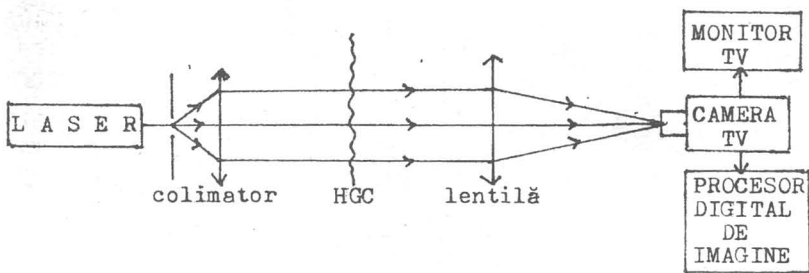


Fig. 7.5

Folosind un calculator PC 486 SX/25, întreg programul realizat în Fortran l-am rescris și optimizat în limbajul Basic realizat de firma Microsoft. Astfel s-a obținut un timp de rulare considerabil micșorat, în primul rând datorită noii generații de calculatoare din seria PC, iar în al doilea rând datorită noului tip de limbaj ale cărui instrucțiuni permit o reducere atât a efectuării operațiilor matematice cât și a duratei de stocare în fișierele la care timpul de acces este mult redus iar ca-

pacitatea de stocare mult mărită față de sistemele de calcul din generațiile anterioare.

În prima parte a programului este simulat obiectul a cărui hologramă se dorește a fi efectuată (fantă pătratică, dreptunghiulară, circulară, combinații de litere, etc.).

Subrutina TFR efectuează transformata Fourier bidimensională (pe linii și pe coloane) care se identifică cu figura de difracție Fraunhofer sau Fresnel (dacă inițial s-a realizat corecția figurii de difracție cu factorul pătratic de fază Fresnel). Efectuarea transformatei se face cu ajutorul folosirii a două fișiere inițial declarate pe discul de sistem. Pe acestea sunt depozitate atât rezultatele operațiilor intermediare cât și rezultatele finale concretizate în spectrul de amplitudine, respectiv spectrul de fază al figurii de difracție calculate.

Ultima parte a programului permite obținerea numai pe ecranul monitorului (pentru moment, datorită lipsei unui inscripător) a hologramei realizată prin codarea spectrului de amplitudine și cel de fază în puncte luminoase organizate în celule luminoase, folosind tehnica măștilor binare prezentată mai înainte.

Pentru obținerea unei rezoluții ridicate a redării imaginii înregistrată în hologramă am utilizat întreaga capacitate de redare grafică a ecranului monitorului: 680 x 240 pixeli. Acesta a fost împărțit în celule dreptunghiulare cu dimensiunile: 20 x 10 pixeli. Pentru fiecare pereche de numere (amplitudine $A_{mn} \leq A_{max}$ și fază $\phi_{mn} = 0 \div 2\pi$) conținute în cele două matrici spectrale dimensionează o asemenea celulă. Aceasta se umple cu alb proporțională umplerea cu amplitudinea și deplasată cu o distanță (în interiorul celulei) proporțională cu faza.

Dacă obiectul difractant este simulat în matricea obiect cu dimensiunea 32 x 32 atunci se observă, printr-un calcul simplu, că holograma obținută acoperă întreg câmpul ecranului monitorului, figura 7.6.

Dacă, însă obiectul difractant este descris într-o matrice obiect cu dimensiunea 64 x 64 atunci se observă că holograma, conform programului, va fi redată în patru cadre succesive, fiecare

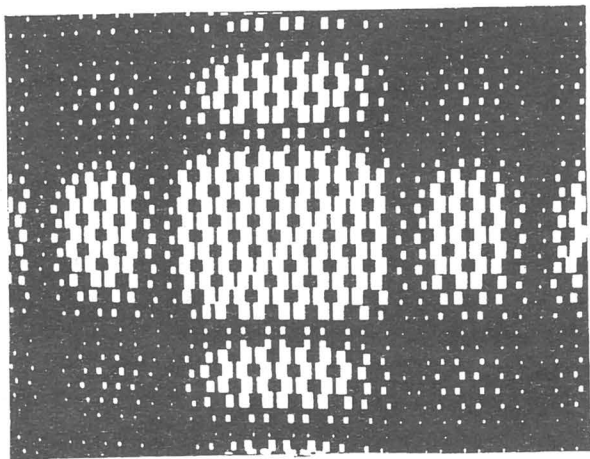


Fig. 7.6

cadru reprezentând câte un sfert din hologramă. Dacă sistemul de calcul ar fi dispus de un inscriptor (plotter) atunci această problemă (a divizării hologramei) ar fi fost eliminată. Înregistrarea fotografică a celor patru imagini de monitor și copierea lor pe hârtie fotografică permite ^{obținerea} (desigur un procedeu cam incomod) prin atașare și lipire, a întregii imagini holografice, figura 7.7.

Dacă obiectul difractant este descris într-o matrice obiect cu dimensiunea 128×128 atunci holograma se va obține pe 16 cadre de monitor. Desigur operațiile fotografice și cele tehnice ulterioare se îngreunează. Însă principial procedeu merge.

Pornind de la această tehnică de codare a amplitudinilor și fazelor figurii de difracție, propusă de Brown și Lohmann, prin celule dreptunghiulare de arie proporțională cu amplitudinea și deplasată cu o distanță proporțională cu faza (în baza teoriei deturului de fază), propunem o codare folosind măști binare nu dreptunghiulare ci circulare. Fiecărei perechi amplitudine, fază i se asociază pe ecranul monitorului o suprafață circulară de arie direct proporțională cu amplitudinea și deplasată (spre stânga) cu o distanță direct proporțională cu faza.

Considerăm că această tehnică de codare este mai aproape de situația reală în care, conform principiului lui Huygens-Fresnel,

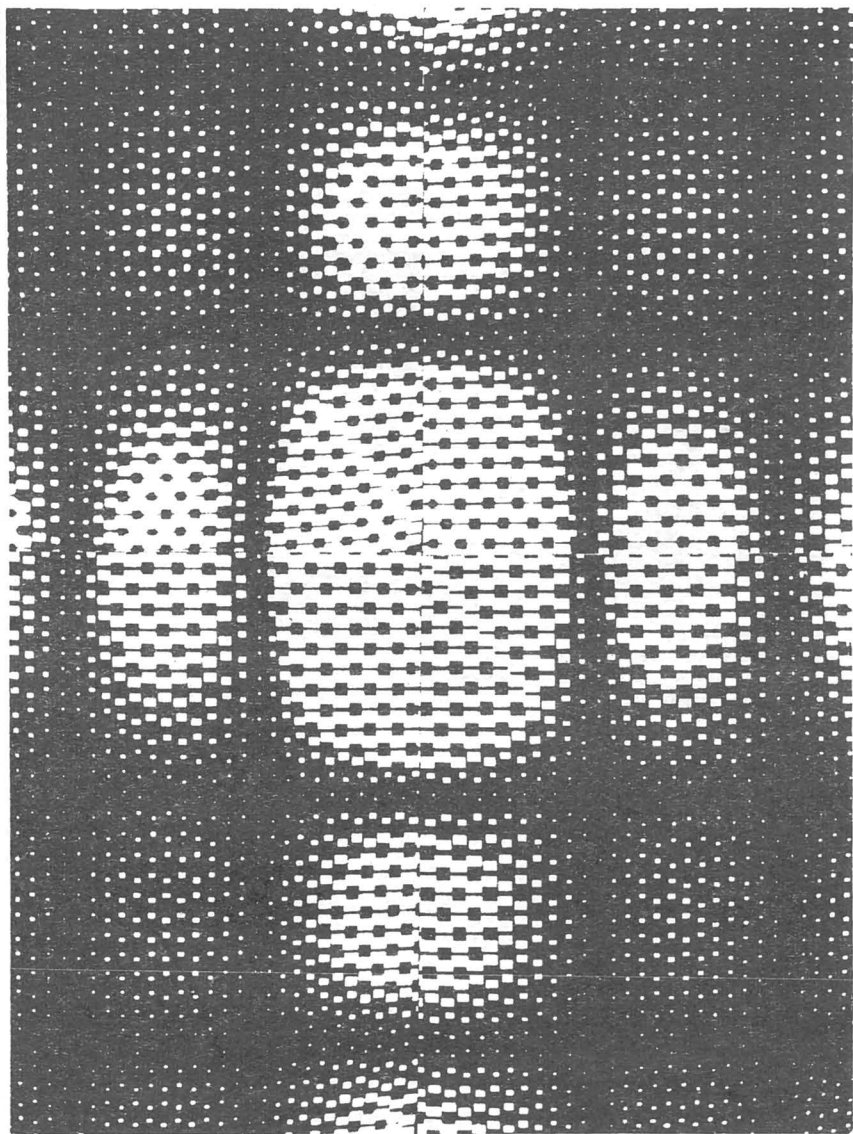


Fig. 7.7

suprafețele de undă sunt constituite din puncte luminoase care devin surse secundare de la care propagarea se continuă.

Pentru un obiect difractant codat într-o matrice cu dimensiunea 32 x 32, holograma obținută prin această tehnică de codare binară cu celule circulare se prezintă în figura 7.8:

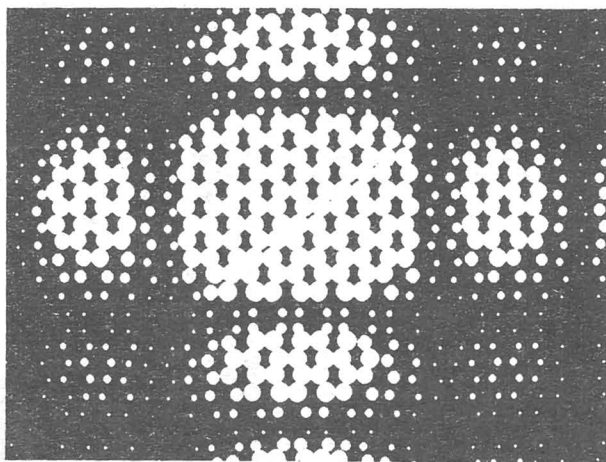
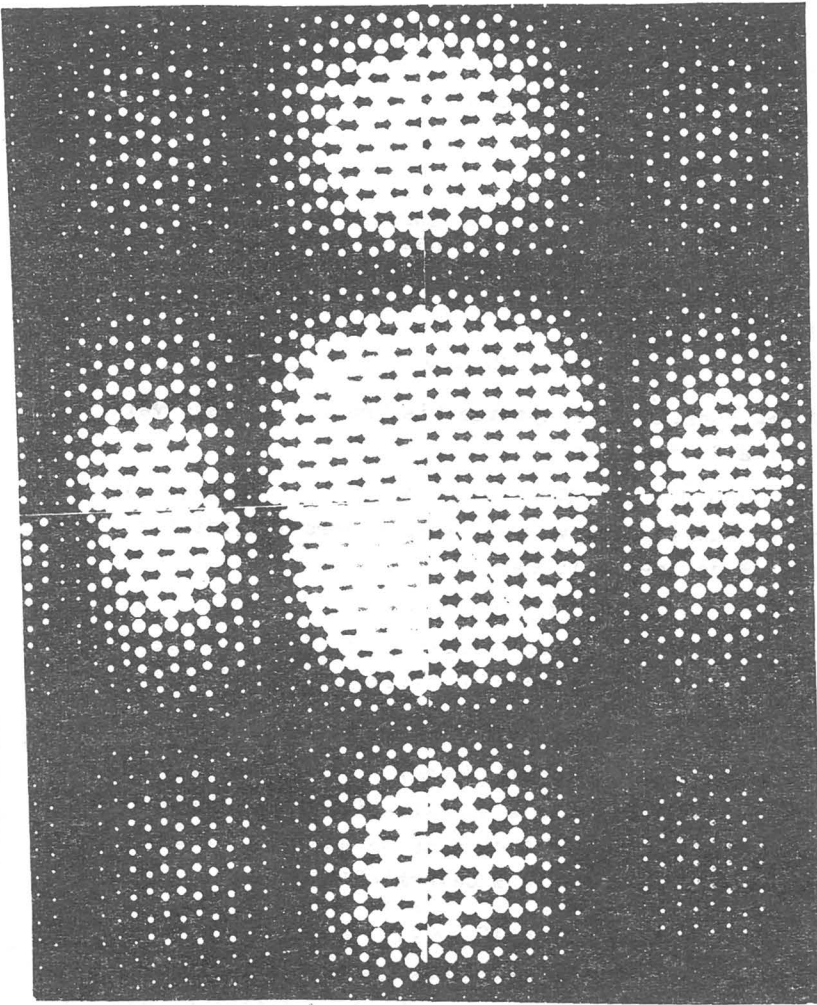


Fig. 7.8

iar dacă același obiect difractant (care în toate cazurile prezentate este o fantă pătratică) este descris într-o matrice obiect cu dimensiunea 64 x 64, atunci, folosind aceleași procedee tehnice descrise mai înainte (fotografiere, lipire) se obține o hologramă prezentată în figura 7.9.

Următorul pas și ultimul este o reducere fotografică de un număr de ori (cca. 50 ori) încât imaginea astfel înregistrată pe film fotografic de rezoluție ridicată (cca. 15 DIN) să se comporte ca figură de interferență, care plasată într-un fascicul de lumină paralelă, monocromatică și coerentă (fascicul laser; $\lambda = 6328 \text{ \AA}$) permite observarea în planul focal al lentilei convergente, plasată în spatele hologramei (cu $f = 1000 \text{ mm}$), a imaginilor redată de holograma generată numeric.



- Fig. 7.9

7.2 Zonele de aproximație Fresnel și Fraunhofer pentru hologramele generate pe calculator(HGC)

Dezvoltarea teoretică și implementarea numerică a hologramelor de tip Fresnel și Fraunhofer au determinat unele observații noi despre condițiile de valabilitate ale acestor tipuri de holograme, *40*, generate numeric.

Prima observație se referă la domeniul de valabilitate al transformatei Fresnel; literatura precizează: aproape de planul de observare. Un studiu mai exact a permis existența a două

zone Fresnel, figura 7.6.

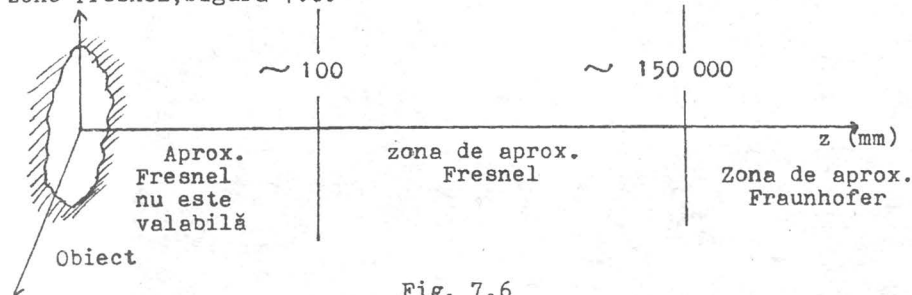


Fig. 7.6

Prima zonă, în care aproximația Fresnel nu este valabilă este stabilită de condiția :

$$400 \cdot \lambda \leq z \leq \pi \cdot (\Delta x)^2 / \lambda \quad (7.5)$$

iar cea de-a doua zonă, de valabilitate a aproximației Fresnel, este stabilită de inegalitatea:

$$z \geq \pi \cdot (\Delta x)^2 / \lambda \quad (7.6)$$

unde Δx reprezintă dimensiunea obiectului $f(x, y)$. De exemplu, pentru un obiect cu dimensiunea de câțiva milimetri și $\lambda = 5 \cdot 10^{-4}$ mm, inegalitatea (7.5) arată că :

$$\text{unități} < z < \text{mii (mm)} \quad (7.7)$$

Zona de valabilitate a aproximației Fresnel este delimitată în regiunea superioară de zona de aproximație Fraunhofer; aceasta din urmă începe de la z determinat de condiția :

$$z > 100 \cdot \pi \cdot (\Delta x)^2 / \lambda \quad (7.8)$$

O a doua observație se referă la schimbarea lungimii de undă a radiației folosită la redare, λ_1 , care diferă de radiația folosită la înregistrare, λ ; pentru ca intensitatea în noul câmp imagine să nu se modifice; adică:

$$|I(x', y', z')| = |I(x', y', z'_1)| \quad (7.9)$$

este necesar ca :

$$z_1 = \frac{\lambda \cdot z}{\lambda_1} \quad (7.10)$$

Alte observații de primă importanță pentru HGC observate sunt legate de teorema de eșantionare și de produsul:

spațiu x bandă de frecvențe spațiale.

Astfel: dacă se dau dimensiunea obiectului Δx , simetric în jurul imaginii, rezoluția (pasul de eșantionare) a obiectului, p , și nu-

mărul de elemente de rezoluție $N = \Delta x/p$, pentru hologramele Fresnel și Fraunhofer aceeași parametrii rezultă ca în tabelul de mai jos:

Holograma Parametrul	Fresnel	Fraunhofer
Dimensiunea($\Delta x'$)	$\Delta x + \frac{\lambda \cdot z}{p}$	$\frac{\lambda \cdot f}{p}$
Rezoluția(p')	$\frac{\lambda \cdot z}{\Delta x}$	$\frac{\lambda \cdot f}{\Delta x}$
Numărul de elemente de rezoluție($\Delta x'/p'$)	$\frac{(\Delta x)^2}{\lambda \cdot z} + N \approx N$	$\frac{\Delta x}{p} \approx N$

Se observă, cum era de așteptat, că numărul de elemente de rezoluție se conservă. Din această conservare, rezultă ca o consecință importantă relația între parametrii de eșantionare (rezoluție) și parametrii de observare ai HGC Fresnel. Astfel, distingem situațiile:

a) Obiect apropiat; pentru acest caz :

$$\Delta x' \sim \Delta x \quad (7.11)$$

de unde, din relația de conservare obținem :

$$\frac{\Delta x'}{p'} \sim \frac{\Delta x}{p} \implies p' = p \quad (7.12)$$

adică perioadele de eșantionare ale obiectului și transfermatei Fresnel sunt egale. Pe de altă parte:

$$p' = \frac{\lambda \cdot z}{\Delta x} \sim \frac{\lambda \cdot z}{\Delta x'} = \frac{\lambda \cdot z \cdot p}{\Delta x \cdot p'} \quad (7.13)$$

de unde:

$$z \approx \frac{N \cdot p^2}{\lambda} \quad (7.14)$$

Această relație arată că nu putem alege parametrii de eșantionare și observare ai HGC Fresnel în mod complet independent; la anumiți parametri de eșantionare ai obiectului, dicțaiți de complexitatea acestuia, rezultă în mod univoc o anumită distanță de observare.

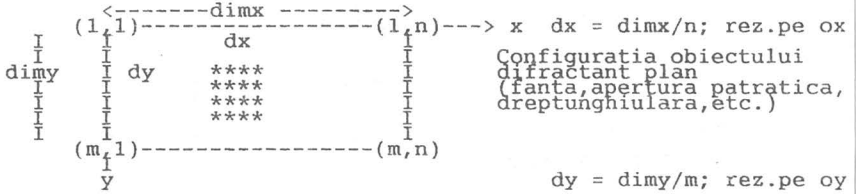
** PROGRAM FOURIER ** Este simulat procesul de obtinere a figurii de tip Fresnel, respectiv Fraunhofer, apoi, folosind tehnica mas-tilor binare dreptunghiulare (Brown-Lohmann) sau circulare (propusa de noi), se obtine holograma corespunzatoare.

Timpii de executie pentru diferite modele de obiecte difractante patratice sunt:
 32×32 : $1'50''$; 64×64 : $1'50''$; 128×128 : $8'24''$

Se obtine figura de difractie produsa de un fascicul paralel, monocromatic si coerent pe un obiect difractant plan creat in program, in acest scop se realizeaza transformata Fourier bidimensionala folosind un algoritm rapid (FFTR COOLEY - TUKEY)

Spectrul Fourier obtinut coincide practic cu figura de difractie de tip Fraunhofer. Daca, insa, functia ce caracterizeaza obiectul difractant este amplificata cu factorul patratice de faza Fresnel atunci transformata permite obtinerea figurii de difractie de tip Fresnel.

Observatie: acest algoritm permite obtinerea din figura de difractie a structurii obiectului difractant realizand transformata Fourier bidimensionala inversa.



Pentru redarea hologramei, campul difractat calculat este impartit intr-n numar de celule egal cu $m \cdot n / 32 / 32$. De exemplu pentru $m=n=64$ numarul de celule este 4 avand configuratia spatiala urmatoarea:

iar pentru $m=n=128$;

1	2	3	4
1	5	9	13
2	6	10	14
3	7	11	15
4	8	12	16

deci un numar de 16 celule. Fiecare celula de pe ecran are dimensiunea maxima 20×15 pixeli in care 10×15 corespunde umplerii acesteia proportional cu valoarea amplitudinii dupa care se deplaseaza aceasta umplere pe restul de 10 pixeli, proportional cu valoarea fazei. Deplasarea se face numai in lungul lui ox , iar umplerea se face atat pe ox (pe cel mult 10 pixeli) cat si pe oy (pe cel mult 15 pixeli).
 Daca celula de codare este circulara, in spatiul de 20×15 pixeli se umple un cerc de arie proportionala cu amplitudinea si deplasat, in interiorul celulei, cu o distanta proportionala cu faza.

```

DEFSNG A-Z: DEFINT I-N
DECLARE SUB Say (x!, y!, Mesaj$)
DECLARE SUB Generic ( )
SCREEN 1
Generic
SCREEN 9
SCREEN 11
CLS
sign = -1! ; Necesari realizarii transformatei Fourier
PRINT "Precizati dimensiunea numerica a obiectului difractant"
PRINT "(32,64 sau 128)"
INPUT m
n = m
IF m = 32 THEN mp = 5
IF n = 32 THEN np = 5
IF m = 64 THEN mp = 6
IF n = 64 THEN np = 6
IF m = 128 THEN mp = 7
IF n = 128 THEN np = 7
PRINT "Tipul de obiect difractant-model este o fanta patrat"
pi = 3.14159
wavel = 0.6 * 10 ^ -6 ; dimensiunile sunt :
dimx = .01 ; dimy = .01 ; z = 200000! ; metri
dx = dimx / n ; dy = dimy / m
PRINT "Dimensiunea liniara stabilita este 1 cm x 1 cm."
PRINT "La aceasta dimensiune, cu lungimea de unda de 0,6 micron"
PRINT "distanța de inregistrare Fraunhofer este z=200000 m"
PRINT "Sub aceasta distanta figura de difractie este Fresnel"

```

```

INPUT "Distanța de înregistrare"; z
INPUT "Factorul de scalare al hologramei(1,2,...,10)"; sc
INPUT "Tipul de celulă pentru codare(dreptunghi,cerc)"; celula
PRINT m; n; mp; np; z; sc; celula$
SLEEP 2
m2 = m / 2: m21 = m2 + 1: m22 = m2 + 2
n2 = n / 2: n21 = n2 + 1: n22 = n2 + 2
max = m: IF n > max THEN max = n
DIM xr(max), xi(max), zr(max), zi(max), lr(15)
OPEN "sirxr" FOR RANDOM AS #1 LEN = 4
OPEN "sirxi" FOR RANDOM AS #2 LEN = 4
GOSUB patrat

```

Calculul transformatei Fourier pe linii

```

FOR i = 1 TO m
FOR j = 1 TO n
GET #1, (i - 1) * n + j, zr(j)
NEXT j
FOR i = 1 TO n
GET #2, (i - 1) * n + j, zi(j)
NEXT j
mnp = np
GOSUB tfr
FOR j = 1 TO n21
jj = n2 + j - 1
xr(jj) = zr(j): xi(jj) = zi(j)
NEXT j
FOR j = n22 TO n
jj = j - n21
xr(jj) = zr(j): xi(jj) = zi(j)
NEXT j
FOR j = 1 TO n
PUT #1, (i - 1) * n + j, xr(j)
NEXT j
FOR j = 1 TO n
PUT #2, (i - 1) * n + j, xi(j)
NEXT j
NEXT i

```

Calculul transformatei Fourier pe coloane

```

FOR j = 1 TO n
FOR i = j TO (m * n) STEP n
GET #1, ij, zr(jk)
kk = jk + 1
NEXT ij
FOR i = j TO (m * n) STEP n
GET #2, ij, zi(jk)
kk = jk + 1
NEXT ij
mnp = mp
GOSUB tfr
FOR i = 1 TO m21
ii = m2 + i - 1
xr(ii) = zr(i): xi(ii) = zi(i)
NEXT i
FOR i = m22 TO m
ii = i - m21
xr(ii) = zr(i): xi(ii) = zi(i)
NEXT i
FOR ij = j TO (m * n) STEP n
PUT #1, ij, xr(jk)
kk = jk + 1
NEXT ij
FOR ij = j TO (m * n) STEP n
PUT #2, ij, xi(jk)
kk = jk + 1
NEXT ij
NEXT j

```

Calculul spectrului de amplitudine, xr si a spectrului de faza, xi

```

amax = 0
FOR i = 1 TO m
FOR j = 1 TO n
GET #1, (i - 1) * n + j, xr(j)
NEXT j
FOR i = 1 TO n
GET #2, (i - 1) * n + j, xi(j)
NEXT j
FOR j = 1 TO n
yr = xr(j): yi = xi(j)
xr(j) = SQR(yr2 + yi2)
IF amax < xr(j) THEN amax = xr(j)
IF yr > 0 AND yi > 0 THEN xi(j) = ATN(yi / yr)
IF yr > 0 AND yi < 0 THEN xi(j) = 3 * pi / 2
IF yr = 0 AND yi > 0 THEN xi(j) = pi / 2
IF yr = 0 AND yi < 0 THEN xi(j) = 0
IF yr < 0 AND yi < 0 THEN xi(j) = pi + ATN(yi / yr)
IF yr < 0 AND yi > 0 THEN xi(j) = 2 * pi + ATN(yi / yr)
NEXT j
FOR j = 1 TO n
PUT #1, (i - 1) * n + j, xr(j)
NEXT j
FOR j = 1 TO n
PUT #2, (i - 1) * n + j, xi(j)
NEXT j

```

```

NEXT j
NEXT i
amax = amax / sc
CLS
FOR jj = 1 TO n / 32
FOR ii = 1 TO m / 32
ik = i + (ii - 1) * 32 TO ii * 32
jk = j + (jj - 1) * 32 TO jj * 32
GET #1, (i - 1) * n + j, ampl
GET #2, (j - 1) * n + ii, faza
IF ampl > amax THEN ampl = amax
x1 = i + (jk - 1) * 15 / amax
y1 = j + (ik - 1) * 15 / amax
x2 = x1 + ampl * 10 / amax
y2 = y1 + ampl * 15 / amax
IF celula$ = "dreptunghi" THEN LINE (x1, y1)-(x2, y2), 7, BF
raza = (y2 - y1) / 2: xc = (x1 + x2) / 2
vc = (y1 + y2) / 2
IF celula$ = "cerc" THEN CIRCLE (xc, vc), raza, 7
IF celula$ = "cerc" THEN PAINT (xc, vc), 7
ik = jk + 1
NEXT j
ik = ik + 1
NEXT i
SLEEP
SLEEP
CLS
NEXT ii
NEXT jj
CLOSE #1: CLOSE #2
END
patrat: ' Subrutina patrat
Modelul obiect fanta patratica
CLS
LOCATE 20, 2: PRINT "MODELUL DE OBIECT DIFRACTANT"
LOCATE 20, 40
IF z < 200000 THEN PRINT "Se calculeaza holograma Fresnel"
IF z >= 200000 THEN PRINT "Se calculeaza holograma Fraunhofer"
LINE (300, 15)-(620, 478) / 7, B
LINE (300, 220)-(340, 260), 7, BF
FOR i = 1 TO n
FOR j = 1 TO m
IF i >= m2 - 2 AND i <= m22 AND j >= n2 - 2 AND j <= n22 THEN xr(j) = 1
' Calculul factorului patratic de faza (factorul Fresnel)
fact = pi / wavel / z * ((i * dx) ^ 2 + (j * dy) ^ 2)
asin = SIN(fact): acos = COS(fact)
yr = xr(j): yi = xi(j)
xr(j) = yr * acos - yi * asin
xi(j) = yr * asin + yi * acos
NEXT j
FOR i = 1 TO n
PUT #1, (i - 1) * n + j, xr(j)
NEXT j
FOR i = 1 TO n
PUT #2, (i - 1) * n + j, xi(j)
NEXT j
NEXT i
RETURN
tfr: ' Subrutina tfr realizeaza transformata Fourier rapida
monodimensionala pe baza algoritmului Cooley-Tukey
lx = 2 ^ mnp
FOR k = 1 TO mnp
lr(k) = 2 ^ (mnp - k)
NEXT k
FOR l = 1 TO mnp
nblock = 2 ^ (l - 1)
lblock = lx / nblock
lbhalf = lblock / 2
k = 0
FOR iblock = 1 TO nblock
v = sign * 2! * pi * k / lx
wkr = COS(v): wki = SIN(v)
istart = lblock * (iblock - 1)
FOR ki = 1 TO lbhalf
kj = istart + ki
jh = kj + lbhalf
qr = zr(jh) * wkr - zi(jh) * wki
qi = zi(jh) * wkr + zr(jh) * wki
zr(jh) = zr(kj) - qr
zi(jh) = zi(kj) - qi
zr(kj) = zr(kj) + qr
zi(kj) = zi(kj) + qi
NEXT ki
FOR ki = 2 TO mnp
kii = ki
IF k >= lr(ki) THEN GOTO 3
IF k < lr(ki) THEN GOTO 4

```



```

3      k = k - lr(ki)
4      NEXT ki
      k = k + lr(kii)
      NEXT iblock
      NEXT l
      k = 0
      FOR kj = 1 TO lx
      IF k < kj THEN GOTO 5
      IF k >= kj THEN GOTO 9
9      zoldr = zr(kj): zoldi = zi(kj)
      zr(kj) = zr(k + 1): zi(kj) = zi(k + 1)
      zr(k + 1) = zoldr: zi(k + 1) = zoldi
5      FOR ki = 1 TO mnp
      kii = ki
      IF k >= lr(ki) THEN GOTO 6
      IF k < lr(ki) THEN GOTO 7
6      k = k - lr(ki)
7      NEXT ki
      k = k + lr(kii)
      NEXT kj
      IF sign < 0! THEN GOTO 12
      IF sign >= 0! THEN GOTO 11
11     FOR ki = 1 TO lx
      zr(ki) = zr(ki) / jlx
      zi(ki) = zi(ki) / jlx
12     NEXT ki
      RETURN

```

DEFINT I-N

```

SUB Generic
RANDOMIZE TIMER
COLOR 4
Say 3, 30, "GENERAREA HOLOGRAMELOR PE CALCULATOR"
Say 7, 30, "Coordonator stiintific : "
Say 8, 30, "Lector dr. CONSTANTIN DANCULESCU"
Say 11, 30, "Absolventa : ROSU LORENA DIANA"
Say 12, 30, "Universitatea DIANA"
Say 13, 30, "Universitatea Bucuresti"
Say 14, 30, "Facultatea de Chimie"
Say 22, 30, "Sectia Chimie-Fizica"
SLEEP 6
FOR i = 333 TO 666 STEP 4
SOUND i, 2
CIRCLE (RND * 300, RND * 300), RND * 100, 1, , , 5
NEXT i
CLS
END SUB

```

DEFINT I-N

```

SUB Say (x, y, Mesaj$)
LOCATE x, y
PRINT Mesaj$
END SUB

```

CAP VIII SISTEMELE DE PRELUCRARE OPTICE SI ELECTRONOPTICE

8.1 Sistemul de prelucrare optică

Filtrarea în planul frecvență, mono și bidimensională, a unui obiect difractant al cărui spectru Fourier este realizat în planul focal imagine al lentilei convergente care produce acest spectru, permite obținerea unor sisteme de calcul optice care să faciliteze și alte operații matematice.

Necesitatea unor astfel de sisteme de calcul derivă din dificultățile care apar în prelucrarea numerică a datelor (analiză spectrală, transformări integrale-Fourier, Fresnel-corelații, etc.); chiar și folosirea unor algoritmi perfecționați, de exemplu algoritmul FFT, necesită capacități, timp de prelucrare și costuri mari. Pe de altă parte, în optică, transformarea Fourier și toată algebra asociată domeniului spectral ca și alte transformări integrale (Hankel, Hilbert, etc.) sunt operații care se obțin ușor și rapid.

Este clar că eficiența unui sistem optic apare superioară față de eficiența unui calculator electronic pentru operațiile menționate, aplicate unor cantități mari de date de bandă largă și care trebuie prelucrate rapid. Aceasta a determinat elaborarea unor algoritmi optici care să poată efectua o gamă largă de operații matematice, /16, 23, 30/.

Principalele operații realizate în planul Fourier într-un sistem optic sunt:

8.1.1 Convoluția și corelația; aceste două operații, de bază în sistemele optice, intervenind în realizarea majorității operațiilor matematice realizate optic, derivă din două transformări Fourier.

Configurația optică pentru obținerea convoluției și corelației, operații descrise în capitolul III, formulele (3.23), respectiv (3.27), numită și configurație $4f$, este prezentată în figura 8.1.

În planul de ieșire al lentilei L_2 se obține convoluția, respectiv corelația funcției din planul de intrare cu transformata Fourier a funcției introduse în planul spectral, respectiv cu transformata Fourier conjugată pentru obținerea corelației.

Intra-adevăr, dacă $F_1(u, v)$ este transformata Fourier a

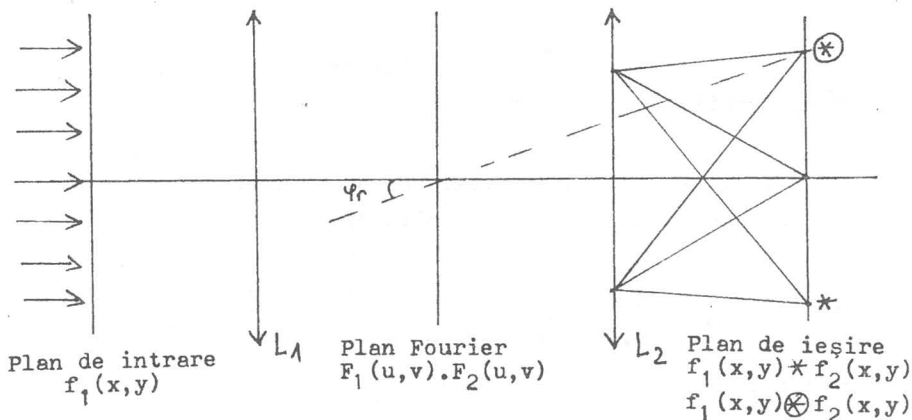


Fig. 8.1

funcției $f_1(x,y)$ obținută în planul Fourier al lentilei L_1 , iar $F_2(u,v)$ transformata Fourier a lui $f_2(x,y)$ înregistrată în prealabil într-un montaj holografic, atunci amplitudinea transmisă spre lentila L_2 este :

$$F(u,v) = F_1 + F_1 \cdot |F_2|^2 + A_r \cdot F_1 \cdot F_2 \cdot e^{-ik\varphi_r} + A_r \cdot F_1 \cdot F_2 \cdot e^{+ik\varphi_r} \quad (8.1)$$

Transformatele Fourier realizate de această lentilă permit obținerea în planul focal imagine, pentru termenii 3 și 4 din relația (8.1) a convoluției, respectiv corelației funcției $f_1(x,y)$ cu $f_2(x,y)$:

$$f_1(x,y) * f_2(x,y) = F^{-1} \left[A_r \cdot F_1 \cdot F_2 \cdot e^{-ik\varphi_r} \right] \quad (8.2)$$

$$f_1(x,y) \otimes f_2(x,y) = F^{-1} \left[A_r \cdot F_1 \cdot F_2 \cdot e^{+ik\varphi_r} \right] \quad (8.3)$$

plasate simetric față de axa de simetrie a sistemului sub unghiul φ_r sub care a fost înregistrat spectrul Fourier $F_2(u,v)$ cu ajutorul referinței:

$$A_r \cdot e^{ik\varphi_r}$$

. Operațiile autoconvoluție, respectiv autocorelație, obținute în aceeași manieră, se prezintă în planul de ieșire sub forma unor spoturi intense, localizate în aceleași poziții simetrice: $\pm \varphi_r$.

Aceste operații cu semnificații fizice importante, realizabile într-un sistem optic în timp real necesită într-un calculator numeric câteva zeci de minute de calcul.

8.1.2 Diferențierea ;necesită un filtru în planul Fourier cu funcția de transfer :

$$H(u) = i.2\pi.u \quad (8.4)$$

Realizarea acestui filtru se poate face din două componente în cascadă;un filtru de amplitudine :

$$A(u) = 2\pi u \quad (8.5)$$

și un filtru de fază :

$$\varphi(u) = \frac{\pi}{2} \cdot \text{sgn } u \quad (8.6)$$

figura 8.2 :

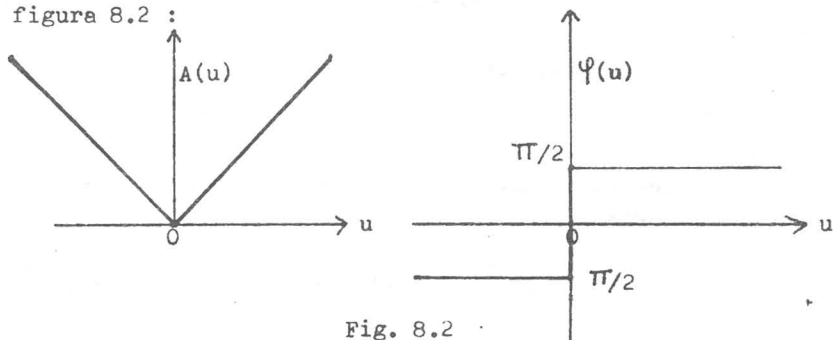


Fig. 8.2

8.1.3 Integrarea ;necesită în sistemul prezentat în figura 8.1 un filtru de forma :

$$H(u) = \frac{1}{i.2.\pi.u} \quad (8.7)$$

care se poate realiza din două componente dispuse în montajul optic;un filtru de amplitudine :

$$A(u) = \frac{1}{2.\pi.u} \quad (8.8)$$

și un filtru de fază :

$$\varphi(u) = -\frac{\pi}{2} \cdot \text{sgn } u \quad (8.9)$$

obținute ca și componentele filtrului pentru diferențiere.

8.1.4 Transformarea Hilbert ; se definește prin ecuația:

$$\hat{f}(x) = \frac{1}{\pi} \cdot \int_{-\infty}^{+\infty} \frac{f(x')}{x' - x} dx' \quad (8.10)$$

respectiv transformarea inversă :

$$f(x) = -\int_{-\infty}^{+\infty} \frac{\hat{f}(x')}{x' - x} .dx' \quad (8.11)$$

care,se observă că se poate scrie ca o convoluție :

$$\hat{f}(x) = f(x) * \frac{1}{\pi x} = f(x) * h(x) \quad (8.12)$$

unde funcția filtru :

$$h(x) = \frac{1}{\pi x} \quad (8.13)$$

are funcția de transfer :

$$H(u) = i \cdot \text{sgn } u \quad (8.14)$$

adică structura unei lame defazatoare cu un salt de fază $-\frac{\pi}{2} \rightarrow$
 $\rightarrow \frac{\pi}{2}$ de-a lungul unei axe spectrale perpendiculară pe axa transformării din domeniul spațial. Acest filtru este unidimensional și anizotrop. Funcția lui de transfer are forma de variație prezentată în figura 8.2.

8.2 Sistemul electrooptic de prelucrare

Conectarea unui sistem optic de prelucrare la un calculator numeric prin intermediul unor interfețe opto-numerice permite realizarea unui sistem hibrid care să combine posibilitățile combinatoriale și de decizie eficiente ale calculatorului numeric cu algoritmi puternici de operare în domeniul spectral al sistemului optic. Acesta din urmă funcționează ca o subrutină care este solicitată de calculatorul numeric de câte ori este nevoie să efectueze operații care îi intră în atribuție.

Structura generală a unui sistem electrooptic este prezentată în figura 8.3.

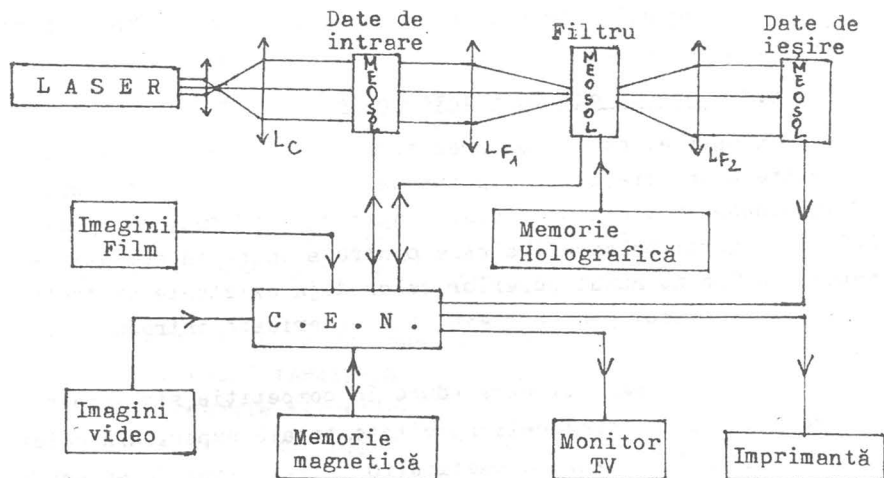


Fig. 8.3

Datele de intrare și filtrele pentru diferite operații sunt introduse cu ajutorul interfețelor de tip MEOSOL-Modulatori Electrono-Optici Spațiali On-Line, care sunt dispozitive matriceale de fotodiode, respectiv fotocelule. Săgețile de pe liniile de conexiune semnifică sensul de deplasare a datelor, de la sau dinspre calculator către sistemul optic.

Datele de intrare pot fi imagini video, imagini de film, sau pot proveni din memoria magnetică a calculatorului (discuri magnetice, benzi magnetice) ori memoria holografică a sistemului optic

Filtrele optice pot exista stocate în memoria holografică sau realizate prin program numeric de calculator.

Intreaga activitate a sistemului electronoptic se desfășoară în buclă închisă sub controlul calculatorului numeric; programe de decizie cuprinzând analiza spectrală și controlul datelor de intrare și ieșire, determină derularea prelucrării în regim interactiv.

Datele de ieșire pot fi afișate direct pe monitorul TV, sau, prin intermediul calculatorului pe hârtie fotografică (plotter) sau hârtie de imprimantă ori stocate în memorie.

Aceste sisteme electronoptice de prelucrare a informației oferă mijloace de prelucrare rapidă și de mare capacitate și cu o mare flexibilitate față de datele de intrare.

Deși evoluția lor este departe de a fi încheiată se pare că funcționează curent;

8.3 Stocarea optică a informației

În paralel cu dezvoltarea sistemului electronoptic de prelucrare a informației o importantă activitate de cercetare a fost depusă în domeniul stocării optice a informației, realizării de memorii holografice care pentru a intra în competiție trebuie să fie nu numai superior celor deja existente ci trebuie să aibă potențialul pentru o evoluție ulterioară introducerii sale.

Dintre parametrii care aduce în competiție stocarea optică se remarcă în principal: capacitate totală superioară celor mai mari unități cu benzi magnetice (10^{12} biți), timp de acces asemănător memoriilor cu ferită ($\sim 1 \mu s$) și un cost nu mai mare decât cel atribuit diferitelor tipuri de memorii magnetice.

Un tabel comparativ al diferitelor tipuri de memorii este dat în figura 8.4.

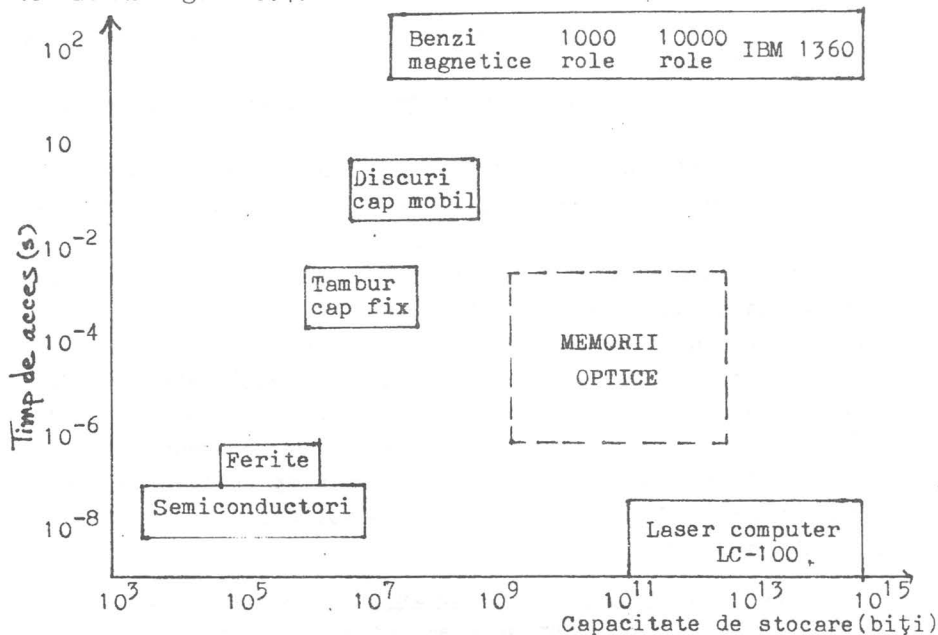


Fig. 8.4

Tinând cont de cei mai remarcabili parametrii: acces aleatoriu, redundanța (holografică), relaxarea unor toleranțe mecanice (prelucrarea paralelă) și asociativitatea (în stocarea holografică) memoriile holografice pot fi clasificate în următoarele forme:

- memorie de arhivă, fără posibilități de ștergere sau completare - memorie ROOM (read only optical memory), dar cu o capacitate foarte mare (10^{12} - 10^{13} biți) competitivă cu stocarea pe film;

- memorie de mare capacitate cu unele posibilități de ștergere sau completare (RMOM - read mostly optical memory), competitivă cu benzile magnetice;

- memorie tampon (buffer) cu acces aleatoriu, posibilități de scriere/citire și timp de acces mare (~ 1 ms): WREOM (write read erase optical memory), competitivă cu discurile și tamburii magnetici;

- memorie operativă cu acces aleatoriu, posibilități de scriere/citire și timp de acces rapid ($\sim 1 \mu s$), competitivă cu memoriile cu ferite și cu semiconductori.

In general sistemele de stocare optică a informației se clasifică în două mari grupe :

- memorii optice din care cele mai reprezentative sunt cele orientate pe bit;

- memorii holografice: digitale, analogice, asociative.

Memoriile optice (fotografice) orientate pe bit concurează benzile și discurile magnetice. La capacități mari, peste 10^6 biți/cm², apar însă probleme severe legate de toleranțe mecanice, precizia de poziționare fiind $\sim 1 \mu m$, de climatizare și de calitatea materialelor fotosensibile (absența defectelor).

Memoriile holografice oferă o redundanță mare față de defecte, praf, etc. (care micșorează totuși raportul semnal/zgomot), permit înregistrarea în volumul materialului fotosensibil (mărirea capacității), relaxează unele toleranțe mecanice și au proprietăți asociative. Îndeplinirea acestor deziderate ridică alte probleme tehnologice.

8.3.1 Memoriile optice cu laser ; sunt memoriile digitale orientate pe bit punându-se accentul pe sistemul de deflexie al fasciculului laser, acesta putând avea un acces aleatoriu rapid la orice punct de stocare.

Un tip de memorie ROOM orientată pe bit care lucrează cu un calculator poate stoca până la $7 \cdot 10^{11}$ biți pe 450 benzi de poliester metalizat, plasate pe un tambur, fiecare bandă înregistrând 11 440 de piste, /30/. Procedeu de înregistrare constă în producerea unor găuri cu diametrul de câțiva microni în pelicula metalică prin vaporizarea ei cu fasciculul laser focalizat. Aceste găuri corespund valorii logice "1". La citire, puterea laserului este redusă și datele sunt extrase prin detecție fotoelectrică a fasciculului reflectat de pelicula metalică. Densitatea care se obține prin acest procedeu este $\sim 1,5 \cdot 10^5$ biți/cm². O asemenea memorie echează un calculator ILLIAC la NASA se numește UNICON și este folosită ca arhivă de date, /30/.

O memorie de tip WREOM este discul magneto optic realizat de firma IBM Nippon Electric Co, /30/; are organizată stocarea pe piste concentrice ca în cazul discului magnetic. Materialul de

stocare este un strat de MnBi, cu grosimea de 100 nm, deșus pe sticlă și magnetizat la saturație într-o direcție normală la suprafață. Inscrisura datelor, "1", se face prin încălzirea unei zone cu diametrul de câțiva microni a materialului deasupra punctului Curie (360°C) cu un fascicul laser focalizat. După răcire, direcția de magnetizare a zonei respective este inversă, astfel încât citirea se face, la intensități mici, folosind rotirea planului de polarizare prin transmisia, efect Faraday, sau reflexia, efect Kerr magnetic, spotului luminos pe materialul magnetic în zona cu "1" logic.

Stergerea se face prin încălzirea uniformă a ariei respective deasupra punctului Curie cu fasciculul laser și magnetizarea ei la saturație cu un câmp magnetic mult mai slab decât câmpul coercitiv.

Discul magnetooptic permite un timp de acces aleatoriu mult mai rapid decât discul magnetic, datorită deflexiei optice a fascicului laser de-a lungul pistelor și radial.

Memoria optică care a stârnit un foarte mare interes este LC-100 (Laser Computer Corp.). Această memorie de masă WREOM are parametrii care depășesc orice previziuni, figura 8.4, /30/.

Mediul de stocare este un strat subțire feroelectric de niobat de litiu (LiNbO_3) dopat și deșus pe un strat de sticlă împreună cu alte șase straturi auxiliare, figura 8.5.

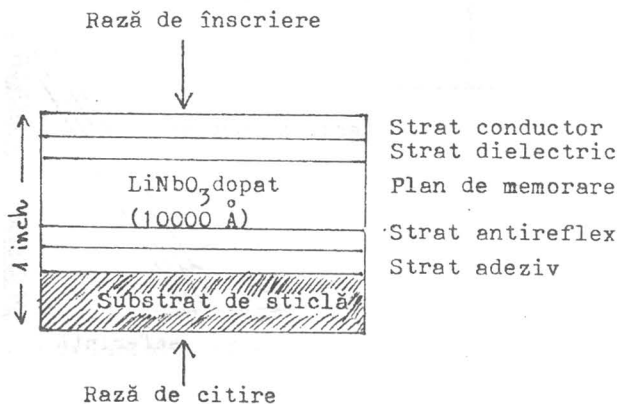


Fig. 8.5

Planul memoriei este un pătrat cu latura de 1,2 m și constă din zece panouri depuse cu niobat de litiu. Densitatea stocării este $\sim 10^7$ biți/mm² cu cel puțin două ordine de mărime mai mare decât se prevedea în proiectele anterioare; ideea a constat în înregistrarea și discriminarea pe mai multe nivele de "gri" deci nu binar, on/off, și într-o împachetare mult mai strânsă a zonelor de înregistrare.

8.3.2. Memoriile holografice digitale; acestea sunt organizate pe pagini (blocuri) de informație. Organizarea acestor pagini se poate face prin două metode:

- prin multiplexare spațială (MS), care constă în înregistrarea paginilor holografice una lângă alta;

- prin multiplexarea în frecvențe spațiale (MFS), care constă în înregistrarea paginilor în holograme în volum, formate în expuneri multiple asupra aceluiași volum al materialului de stocare și cu variația unghiului mediu între fasciculul obiect și referință.

Primul procedeu folosește înregistrări holografice cvasi-Fourier (într-un plan aproape de planul Fourier) care se obțin pe un suport fotosensibil, una lângă alta, figura 8.6, prin deplasa-

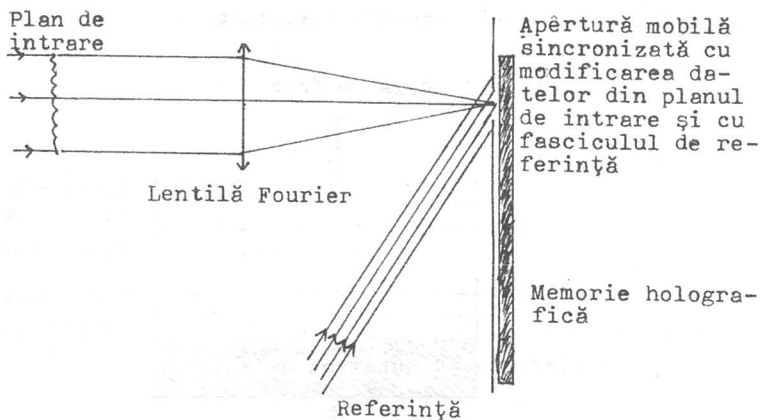


Fig. 8.6

rea unei aperturi pătratică ($\sim 1,5$ mm). În spațiul liber al acesteia se obține holograma corespunzătoare datelor plasate în planul de intrare.

Capacitatea memoriilor holografice MS este limitată principial și tehnologic la $\sim 10^8$ biți. Mărirea acestei capacități cu cel puțin trei ordine de mărime se poate obține numai prin combinarea MS - MFS.

In general toate problemele care apar pentru realizarea unei memorii holografice sunt dependente de tipul de memorie considerat: ROOM sau WREOM.

Memoriile holografice tip MFS, în afară de variația unghiului între fasciculele obiect și referință, s-ar putea realiza și prin variația lungimii de undă a laserului. Inșă prima variantă, mai precis înclinarea undeî de referință în raport cu unda obiect de direcție constantă comportă unele avnataje; acestea sunt:

- înscrierea și citirea în orice adresă nu comportă deplasări mecanice;

- unda de referință și unda obiect sunt comandate de același sistem de deflexie;

- înclinarea undeî de referință la fiecare hologramă permite înregistrarea în volumul materialului.

- /// -

B I B L I O G R A F I E

1. M. ALEXANDRESCU, C. DANCIULESCU - Procedeu de prelucrare optică a datelor geofizice; Brevet de invenție nr. 73328 din 25 dec. 1979;
2. M. ALEXANDRESCU, C. DANCIULESCU - Optical application to geophysical data processing; Rev. Roum. Geol. Geophys. et Geographie, 1980, Tome 24, no. 1, pg. 107;
3. BOURROUILH B. - New. Rev. Optique, 1973, vol. 14, pg. 369;
4. BORN M., WOLF E. - Principles of Optiques; Pergamon Press, London, 1981;
5. BRATESCU G. - Optica, Ed. Didactică și Ped., Buc. 1982;
6. BROWN B. R., LOHMANN A. W. - Applied Optics, 1966, vol. 5, pg. 967;
7. COLLIER R. J., BURCHARDT C. B., LIU L. H. - Optical Holography; Academic Press, New York, 1971;

8. COOLEY Y.W., TUKEY J.W. - Math.of Comput.,1965,vol.19,no.50, pg.197;
9. CUCUREZEANU I., CHISLEAG R., SUCIU O., BORZA D. - Aplicații ale holografiei Optice;Ed.Tehnică,București,1984;
10. DANCUIULESCU C. - Prelucrarea Optică a Informației cu Aplicații în Geofizică;Teză de Doctorat,București,1990;
11. DOBRIN M.B., INGALS A.L., LONG J.A. - Geophysics,1965,vol.30;
12. DUFFIEUX P.M. - L'integrale de Fourier et ses applications a l'optique;Masson et C-ie,Paris,1970;
13. FRANCON M. - Diffraction.Coherence en Optique;Gauthier-Villars, Paris,1964;
14. FRANCON M. - Holographie,Masson et C-ie,Paris,1969;
15. GARLASU S. - Prelucrarea în timp real a semnalelor fizice;Ed. Scrisul Românesc,Craiova,1978;
16. GOODMAN J. - Introduction to Fourier Optics;Mc.Graw-Hill,New York,1967;
17. IOVA I. - Elemente de Optică Aplicată;Ed.St.și Encicl.Buc.1977;
18. LEE WAI HON - Applied Optics,1974,vol.13,no.7,pg.1677;
19. LEITH E.N., UPATNIEKS J. - J.Opt.Soc.Am.1964,no.54,pg.1295;
20. LEVAI ST. - Generatori Cuantici și Optotehnică;Ed.Univ.Buc. 1986;
21. SOMMERFELD A. - Optics;Academic Press,New York,1964;
22. SPATARU A. - Teoria Transmisiunii Informației;vol.1,2,Ed.Tehn. 1965;
23. STROKE G.W. - An Introduction to Coherent Optics and Holography;Ed.Academic Press,New York,1970;
24. STUART R.D. - Introducere în Analiza Fourier cu Aplicații în Tehnică;Trad.Lb.engl.Ed.Tehn.București,1971;
25. TUDOR T. - Bazele Opticii Coerente;Ed.Univ.București,1992;
26. TUDOR T. - Optica Coerentă.Lucrări Practice de Laborator;Ed. Univ.București,1992;
27. VANDER LUGT A. - IEEE Trans.and Inform.Theory,1964,nr.4,pg.139;
28. VANDER LUGT A. - Applied Optics,1966,vol.5,no.11,pg.1760;
29. VLAD V. - Introducere în Holografie,Ed.Academiei,București, 1973;
30. VLAD V., ZACIU R., MAURER J., MIRON N., SPOREA D. - Prelucrarea Optică a Informației,Ed.Academiei,București,1976.

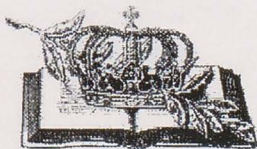


- // -



Tiparul s-a efectuat sub c-da nr. 192/1995
la Tipografia Editurii Universității București

BIBLIOTECA CENTRALA
UNIVERSITARA „CAROL I”



DE SPIRITU ET ANIMA

